

pokazivača. Za kretanje sistema kazaljki predlažu se uglavnom tri vrste pogonskih elektromehaničkih uređaja: rezonantni vibrirajući sistemi koji svoje linearno kretanje s pomoću polužice i zupčanika pretvaraju u kružno, sinhroni motori (sa zakretnim ili pulsirajućim poljem), koji svoje kružno kretanje posredstvom zupčanika prenose na kazaljke, i koračni sistemi (koračni motor, bistabilni polarizirani uređaji) koji na jedan ili drugi način pogone kazaljke. Satovi s elektro-optičkim pokazivanjem daju vrijeme u digitalnom obliku s pomoću svijetlećih brojaka (sl. 30). Brojke na brojčaniku sastoje se od tačaka što ih stvaraju svijetleće diode. Prednost je takvog pokazivanja što se sa sata vrijeme možeочitati danju i noću. Da bi jakost svijetljenja brojaka odgovarala osvjetljenosti okoline, ona se automatski regulira na pravu razinu. Brojke koje bi stalno svijetlele trošile bi previše električne energije, stoga one svijetle samo na zah-tjev: nakon pritiska na dugme pojavljuju se na ekranu brojevi koji označavaju sekunde, minute i sate. Nakon kraćeg perioda (npr. 1,25 s) gase se brojke koje označavaju minute i sate, a ostaju samo one koje označavaju sekunde, i to dok god je dugme pritisnuto. Ovakvi satovi nemaju (osim kvarca) nijedan mehanički pomični dio (sl. 31). Oni moraju umjesto mehaničkog brojača (sistema kazaljki) imati električno brojilo koje impulse dobivene iz djieloca frekvencije broji i pretvara u sekunde, minute i sate. S obzirom na veliki broj električnih sklopova, takvi satovi troše relativno mnogo električne energije, što iziskuje bateriju koja zauzima čak do 80% raspoloživog prostora. Kvarni ručni sat s frekvencijom 32 768 Hz koji je razvila američka kompanija Hamilton Watch Co. radi na tom principu. Njegova greška iznosi samo ~ 3 s u mjesec dana.

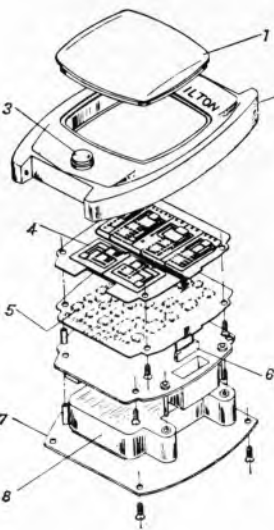
Sl. 31. Shematski prikaz ručnog kvarcnog sata s elektro-optičkim brojčanicom. 1 Filtar, 2 kućište, 3 dugme za aktiviranje brojčanika, 4 svijetleće diode, 5 integrirani sklopovi sata, 6 kvartni oscilator, 7 donji poklopac, 8 baterija

Da bi oscilator sata radio postojano, on se mora napajati iz stalnog izvora u kome je električna energija akumulirana, npr. iz električnog akumulatora ili iz električne baterije. Ako se prihvati zamisao akumulatora, treba predvidjeti i način njegovog punjenja, izvore energije iz kojih će se puniti i pogodne pretvarače energije. Za sada su razvijeni akumulatori koji mogu napajati ručni sat i do 6 mjeseci bez punjenja. Za njihovo punjenje predviđeni su posebni mrežni punjači. Od ostalih izvora energije uzimaju se u obzir: izvori mehaničke energije (micanje rukom), svjetlosne energije (sunčane baterije ugradene su u tom slučaju u brojčanik) i radioaktivni materijali. Dok se ne dode do zadovoljavajućih rješenja, upotrebljavat će se i dalje kao izvor električne energije živine baterije (1,35 V) ili baterije od srebro-okksida (1,5 V). Kad bi takva baterija zauzimala zapreminu cijelog sata, davala bi snagu od $\sim 150 \mu\text{W}$.

U Švicarskoj se radi na razvoju električnih satova (ručnih i drugih) koji se upravljaju radio-emisijom. Za razliku od ranijih takvih sistema, signal koji se emitira svake sekunde ne označava samo sekundu već sadrži kompletan podatak o trenutnom tačnom vremenu, dakle o satu, minutama i sekundama. Ako sat kroz neko vrijeme nije primao signale (u zgradbi, tunelu itd.), on će nakon primitka prvog signala sam ispraviti eventualno odstupanje. Satovi koji se za ovu svrhu primjenjuju slični su satovima s elektro-optičkim pokazivanjem.

LIT.: F. Hope-Jones, Electric clocks, London 1931. — H. W. Goetsch, Taschenbuch für Fernmeldetechniker, München 1950. — J. W. Player (ed.), E. J. Britten's watch and clockmaker's handbook, Princeton, N. J. 1955. — F. Schmidt, Elektrische Uhren, Halle 1957. — П. В. Семёнов, В. И. Нилюк, Методы кварцевой стабилизации в диапазоне частот, Киев 1961. — В. В. Григорянц, М. Е. Жаботинский, В. Ф. Золин, Квантовые стандарты частот, Москва 1968.

I. Marinček



ELEKTRIČNI SKLOPNI APARATI, aparati koji služe za uspostavljanje, održavanje i prekidanje kontinuiteta ili diskontinuiteta strujnih krugova. Vršeći ovu funkciju, koja obuhvaća uklapanje i isklapanje, pokretanje i regulaciju, zaštitu i komandu, sklopni aparati upravljaju radom uređaja za proizvodnju, transformaciju, konverziju, prenos i potrošnju električne energije. Njihovo se djelovanje, označeno zajedničkim terminom *sklapanje*, svodi u krajnjoj liniji na promjenu vlastite impedancije i dielektrične čvrstoće. To se postiže u sklopima i relajima time što se otvaraju i zatvaraju kontakti, u osiguračima time što pregaraju rastalnice, u odvodnicima prenapona time što se probijaju i gase iskrišta i što reagiraju nelinearni otpori, u regulatorima time što se stepenasto uključuju otpornici i prigušnice, u tekućinskim pokretacima time što se kontinualno uronjavaju elektrode ili mijenja vodostaj, u statickim aparatima promjenom magnetskog zasićenja transformatora ili ventilnim djelovanjem poluvodičkih elemenata.

Sklopni aparati, koji obuhvačaju širok izbor uređaja, mogu se dijeliti prema namjeni, prema njihovoj funkciji, prema nazivnom naponu i prema drugim kriterijima.

Podjela sklopnih aparata prema namjeni razlikuje ove najvažnije grupe aparata: rastavljače, sklopke, prekidače, pokretače, regulatori, osigurače, odvodnike prenapona, releje, pribor i sklopne blokove.

Rastavljači su aparati koji služe za otvaranje i zatvaranje strujnih krugova kad se time prekidaju ili uklapaju zanemarljivo male struje (npr. struje naponskih mjernih transformatora ili kapacitivne struje kratkih neopterećenih kabela) ili kad sklapanjem većih struja ne dolazi do znatnije promjene napona među stezalkama pojedinog pola (npr. u slučaju premošćenja zatvorenih kontaktata prekidača). Rastavljači mogu trajno voditi normalne pogonske struje, a trenutno i struje kratkog spoja. Između njihovih kontaktata mora postojati propisni razmak, tzv. *rastavni razmak*, čije postojanje mora u otvorenom položaju biti pouzdano vidljivo jer o njemu ovisi sigurnost postrojenja i osoblja koje na njima radi.

Sklopke mogu uklapati, trajno voditi i prekidati struje normalnog pogona i eventualnih preopterećenja, a trenutno podnose i struje kratkog spoja. Neke izvedbe mogu uklapati (ali ne prekidati) struje kratkog spoja. Sklopke koje u otvorenom položaju ostvaruju i propisni rastavni razmak, zovu se *rastavne sklopke*. S obzirom na sposobnost vođenja, uklapanja i prekidanja struje mogu se u ovu grupu ubrojiti još sklopniči (kontaktori) i motorske sklopke. Značajka je *sklopnika* da se ne pokreće ljudskom snagom, te da imaju samo jedan položaj mirovanja u koji se vraćaju njihovi pomicni kontakti kad im se pogonski mehanizam (obično elektromagnet) ne napaja energijom. Općenito su predviđeni za veliku učestalost sklapanja. *Motorske sklopke* služe za upravljanje elektromotorima. Mogu sadržavati i elemente za zaštitu od preopterećenja, a karakteristike su im prilagodene strujama zaleta i ostalih pogonskih stanja motora.

Prekidači, pored toga što mogu sklapati i voditi normalne pogonske struje, mogu uklapati i prekidati struje kratkog spoja; za automatsko prekidanje u kratkom spolu imaju posebne zaštitne organe. Ako im kontakti u otvorenom položaju stvaraju propisni rastavni razmak, nazivaju se *rastavnim prekidačima*.

Pokretači služe za pokretanje motora ili puštanje u pogon drugih trošila, te često omogućuju da pri tome odredene pogonske veličine (struja, moment vrtnje) ostanu u propisanim granicama.

Regulatori održavaju neku pogonsku veličinu (napon, struju, snagu, brzinu, temperaturu) na praktički konstantnoj vrijednosti, ili je mijenjaju na odabrani način.

Osigurači su sklopni aparati koji taljenjem posebno dimenzioniranih elemenata (*rastalnica*) automatski otvaraju strujni krug kad struja kroz određeno vrijeme prekoračuje zadanu vrijednost. Osigurači prekidaju veće struje kratkog spoja prije nego što one narastu na maksimalnu vrijednost. Proizvode se i kombinacije sklopki, odnosno prekidača, s osiguračima, u kojima osigurači služe kao pomicni kontakti ili su serijski vezani s njihovim polovima.

Odvodnici prenapona služe za zaštitu električnih postrojenja od prenaponskih valova, a priključuju se između električnih vodova i zemlje. Oni ograničavaju visinu udarnih prenapona, ali i amplitudu i trajanje tzv. popratne struje (koju generator šalje kroz od-

ELEKTRIČNI SKLOPNI APARATI

vodnik nakon prestanka odvodne struje) da bi se izbjeglo neželjeno automatsko isklapanje prekidača ili pregaranje osigurača.

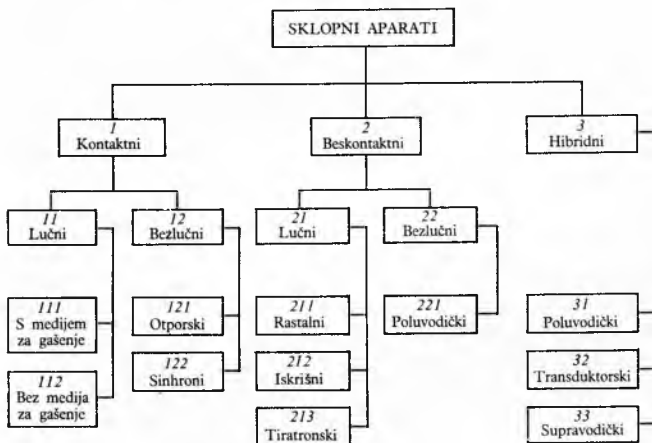
Releji su automatski aparati koji pod utjecajem neke mjerene fizikalne veličine (napona, struje, tlaka, temperature) električnim putem djeluju na druge uređaje. Tako npr. otvaranjem ili zatvaranjem svojih kontakata prekidaju napajanje elektromagneta u sklopniku, uzbudjuju svitak okidača u sklopki ili prekidaču, itd.

Okidači su upravljački organi sklopnih aparatova koji pod utjecajem kontrolirane električne veličine mehaničkim putem oslobođaju njihove zaporne elemente i time izazivaju otvaranje ili zatvaranje aparatova.

Pribor obuhvaća potporne i provodne izolatore, kabelske uvodnice, otpornike, prigušnice, kondenzatore, mjerne i signalne uređaje, stezaljke, pneumatske ventile, elektromagnete itd., koji se ugraduju u aparatove i njihove sklopove.

Sklopni blokovi (aparature) su kompleksni uređaji sastavljeni od raznovrsnih sklopnih aparatova i pribora zajedno s odgovarajućim kućištima, postoljima i unutarnjim spojevima (npr. komandni pultovi, razvodni ormari i sl.).

Podjela sklopnih aparatova prema njihovoj funkciji prikazana je na sl. 1. Podjela na kontaktne, beskontaktne, lučne i bezlučne aparatove ovisi o tome da li im je djelovanje vezano uz mehaničko kretanje kontakata i da li pri sklapanju nastaje električni luk. Bezlučnim smatraju se i aparatovi sa zanemarljivo malom energijom luka. Hibridni su aparatovi kombinacije kontaktnih i beskontaktnih. Dalja je podjela izvršena prema načinu kojim se upravlja prolazom struje ili paljenjem i gašenjem luka.



Sl. 1. Podjela sklopnih aparatova prema njihovoj funkciji

Danas se u sklopnoj tehnici jake struje gotovo isključivo primjenjuju lučni aparatovi. Grupe aparatova označene na sl. 1 brojevima 111 i 112 obuhvaćaju prvenstveno sklopke i prekidače u kojima se luk gasi posebnim medijem (plinom, tekućinom, plinotvornom čvrstom tvari) ili na nekom drugom principu. Grupe 211 i 212 odgovaraju rastalnim osiguračima i odvodnicima prenapona, gdje luk nastaje pregaranjem tankih vodiča i probojem iskrišta. Ostale su grupe još u fazi istraživanja i razvoja, ili su danas još toliko skuplje od uobičajenih rješenja da im je primjena iz ekonomskih razloga ograničena samo na specijalne slučajevje.

Kontakti otporskih prekidača (grupa 121) premošteni su u početku otvaranja malim otporom koji se naglo povećava, tako da se prije definitivnog prekida struja smanjuje na neznatan iznos. Sinhroni prekidači (grupa 122) otvaraju kontakte u prvoj prirodoj nultočki izmjenične struje nakon iskllopog impulsa. Glavni krug tiratronskega aparatova (grupa 213) sačinjavaju dva tiratrona u protuspoju. Prekidanje se vrši tako da se njihovim rešetkama, koje su u normalnom pogonu pozitivne prema katodama, dovede negativni napon i time blokira prolaz struje. Pri tome se u onoj cijevi koja tog trenutka vodi struju nastavlja njezin tok do prve nultočke (v. Elektronika). Posve je analogna funkcija beskontaktnih aparatova s poluvodičkim elementima (grupa 221), koji umjesto tiratrona sadrže upravljaće silicijumske ventile (tiristore). Primjer hibridnih poluvodičkih aparatova (grupa 31) serijska je

kombinacija dvaju brzih kontakata, sinhroniziranih s promjenom polariteta napona, od kojih je jedan premošten poluvodičkom diodom. Radi prekidanja struje, premošteni se kontakt prvi otvara u intervalu vođenja diode, a odmah zatim i drugi u intervalu blokiranja. U transduktorskim aparatima (grupa 32) kontakti su spojeni u seriju s glavnim namotom transduktora, koji u normalnom pogonu, zbog velikog zasićenja magnetske jezgre, ima zanemarljivo malu induktanciju. Kad se isključi istosmjerna uzbuda upravljačkog namota neposredno prije isklapanja, induktancija se znatno poveća, a struja u glavnom krugu smanji se na željeni iznos. Slično rade i aparatovi koji se zasnivaju na supravodljivosti (grupa 33). Dugački suprovodič u seriji s kontaktima gubi svoju supravodljivost (v. Elektrotehnika) čim njegovo vlastito magnetsko polje, ili strano polje kontrolirano upravljačkim organima, prekorači kritični iznos. Time taj vodič postaje otporom koji iskllopnu struju ograničava na željeni iznos, a na njemu nastali pad napona može se iskoristiti kao impuls za okidanje.

Podjela sklopnih aparatova prema nazivnom naponu svrstava aparatove u niskonaponske i visokonaponske. Za grubu informaciju može se kao gornja granica napona niskonaponskih aparatova izmjenične struje smatrati 1 kV a istosmjerne struje 1,2 kV. Potreba za primjenom sve viših napona u prenosnim sistemima dovele je do dalje podjele visokonaponskih aparatova, te se danas često spominju aparatovi za srednje (od 3 do 35 kV), visoke (preko 35 do 400 kV) i vrlo visoke napone (preko 400 kV).

Ostale podjele sklopnih aparatova. Moguća je i klasifikacija prema vrsti struje (aparati za istosmjernu i izmjeničnu struju), prema mjestu upotrebe (aparati za kućne instalacije, za razvodne mreže, za industriju, za rudnike, za bordanstvo, za električnu vuču), prema vrsti mehaničke zaštite (otvoreni, zatvoreni, od eksplozije zaštićeni aparatovi), prema tome da li djelovanje aparatova ovisi o režimu strujnog kruga ili volji poslove (automatski i neautomatski). Sklopke i prekidači mogu se podijeliti prema načinu gašenja luka na aparatove s plinovitim medijem (zračne, pneumatske, sa sumponim heksafluoridom), s tekućim medijem (uljne, malouljne, hidromatske), s čvrstim medijem (plinotvorne), s metalnom deionizacionom rešetkom, s magnetskim gašenjem u uskim rasporima, vakuumski i dr. Niskonaponske sklopke dijele se prema mehaničkoj izvedbi na polužne, valjkaste, paketne, grebenaste. Releji se razlikuju prema vrsti mijernih mechanizama (elektromagnetski, indukcijski, bimetalski) i pogonskoj veličini na koju reagiraju (nadstrujni, podnaponski, diferencijalni, distantsni, tlačni).

Usavršavanje lučnih komora i njihovo serijsko povezivanje (sistemi višestrukog prekida) omogućili su gradnju prekidača za napon 765 kV uz prekidnu struju 50 kA, što odgovara tropolnoj snazi kratkog spoja od $\sim 65\ 000$ MVA. Širenje automatizacije i sve stroži uvjeti u pogledu sigurnosti i ekonomičnosti energetskih postrojenja postavljaju istodobno sve teže zahtjeve kvalitetu sklopnih aparatova: traže se sve veća pouzdanost i trajnost, a što manje dimenzije i cijena. Stoga se u posljednje vrijeme intenzivno ispituju novi fizikalni principi, traže optimalna konstruktivna rješenja i primjenjuju suvremene tehnologije.

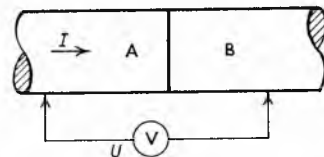
FIZIKALNE OSNOVE SKLOPNIH APARATA

Za bolje razumijevanje funkcije sklopnih aparatova od posebnog su značenja teorija električnih kontakata, prijelazne pojave u procesima sklapanja i principi gašenja električnog luka.

Električni kontakti

U apstraktnom smislu termin »kontakt« označava stanje koje nastaje dodirno dvaju vodiča. Materijalni smisao tog termina odnosi se na kontaktne dijelove koji, krećući se jedni u odnosu pre drugima, otvaraju ili zatvaraju strujne krugove.

Kontaktni otpor. Poznata je činjenica da se dodirno mjesto kojim struja prolazi iz jednog vodiča u drugi redovito jače zagrijava od susjednih dijelova. Za ilustraciju ove pojave mogu poslužiti cilindrični kontakti A i B prema sl. 2, kojih se čeone plohe dodiruju pod određenim tlakom. Mjerenje



Sl. 2. Povećanje otpora na kontaktnom mjestu. A i B cilindrični kontakti, V voltmeter

pada napona U uslijed prolaza struje I pokazuje da je električni otpor $R = U/I$ ovakve kombinacije veći od otpora homogenog vodiča jednakih dimenzija, ma koliki bio tlak na dodirnom mjestu. Razlika između otpora kombinacije kontakata i otpora homogenog vodiča naziva se kontaktnim otporom R_K , koji je uzrokom dodatnog ugrijavanja dodirnog mjesta povećanom Jouleovom toplinom. Pomnija istraživanja vode do zaključka da se kontaktni otpor može prikazati kao suma slojnog i provlačnog otpora: $R_K = R_s + R_p$.

Slojni otpor R_s posljedica je slabu vodljivih stranih slojeva na dodirnim ploham, koji potječu od nečistoća, sredstava za podmazivanje ili kemijskih spojeva (oksidâ, sulfidâ) nastalih utjecajem okolne atmosfere. I sveže očišćene metalne površine u zraku prekrivene su jednomolekularnim slojevima kisika ili vodika (debljine $\sim 0,25$ nm). Njihova je veza s kontaktom plohom jača od veze među metalnim atomima, pa se ti slojevi mogu odstraniti samo žarenjem u vakuumu.

Provlačni otpor R_p tumači se time što ni precizno obradene kontaktne površine ne mogu biti potpuno glatke, pa se one stoga dodiruju samo u pojedinim izbočinama. Provlačenje strujnica kroz ovakva uska mjesta i njihova mjestimična koncentracija na manji volumen očituju se kao povećanje otpora.

Mehanizam prolaza struje kroz strane slojeve ovisi o njihovoj debljini. Kontakti s jednomolekularnim slojevima (mikroslojevima) nazivaju se kvazimetalskim jer se njihov slojni otpor u tehniči jake struje može praktički zanemariti. Ova se pojava objašnjava tzv. tunelskim efektom na principima valne mehanike, prema kojem se elektroni vodiči s velikom vjerojatnošću probijaju između molekula mikroslojeva (v. *Električna praznjenja u plinovima*, TE 3, str. 675, i članak *Elektronika, sastavni dijelovi*). Vjerojatnost nesmetanog prolaza elektrona kroz deblje slojeve (makroslojeve) opada veoma brzo s porastom njihove debljine, pa već treći sloj molekula povećava slojni otpor ~ 100 puta. Zato je za ispravan rad sklopnih aparata potrebno da im kontakti budu u kvazimetalskom dodiru. To se najčešće postiže mehaničkim razaranjem makroslojeva (trenjem i/ili pritiskom, ovisno o konstrukciji aparata). Kontakti s točkastim dodirom imaju u tom pogledu prednost pred plošnim kontaktima, jer uz jednaku silu na njima vlada veći tlak. U nekim slučajevima mogu i elektrostatičke privlačne sile među kontaktima biti dovoljne da plastičnim deformacijama dovedu do pucanja makroslojeva. Ako se zbog loše konstruktivne izvedbe ne uspostavi kvazimetalski dodir mehaničkim putem, doći će do električnog razaranja stranih slojeva na principu neke vrste termičkog probora (makroslojni probor, engl. fritting). Zbog visokog lokalnog zagrijavanja nastaje u razorenom dijelu sloja most od rastaljenog kontaktног metala, koji se postepeno proširuje.

Izračunavanje provlačnog i slojnog otpora. Način analitičkog određivanja provlačnog otpora može se objasniti primjerom u sl. 3 a, koja prikazuje dva cilindrična kontakta promjera $2b$, specifičnog otpora ϱ . Kad bi se vodiči dodirivali cijelom čeonom plohom, prolazile bi strujnice jednolikom gustoćom okomito na dodirnu plohu. Ako se kontakti odvoje simetrično usađenom kuglicom promjera $2a$ zanemarljivo malog otpora, skrenut će strujnice radijalno prema kuglici. Time nastaje provlačno područje, koje je u slici shematski ograničeno sfernom plohom promjera $2b$ (crtkana linija). Za grubu aproksimaciju može se provlačnim otporom R_p smatrati povećanje otpora unutar ove plohe. Ako se otpor svake polukugle provlačnog područja u slučaju homogenog radikalnog strujanja označi sa R_1 (sl. 3 b lijevo), a u slučaju radikalnog strujanja sa R_2 (sl. 3 c lijevo), tad je

$$R_p = 2(R_2 - R_1). \quad (1)$$

Otpor radikalnom strujanju kroz infinitesimalnu ljušku polukuge polumjera x i debljine dx (sl. 3 c desno) iznosi

$$dR_2 = \frac{\varrho}{2} \frac{dx}{x^2 \pi}.$$

U slučaju aksijalnog strujanja treba računati s otporom infinitesimalnog cilindričnog plašta polumjera x , debljine dx i visine $\sqrt{b^2 - x^2}$ (sl. 3 b desno) prema jednadžbi

$$dR_1 = \frac{\varrho}{2} \frac{\sqrt{b^2 - x^2}}{2 \pi x dx}.$$

Otpori dR_2 su u seriji, a otpori dR_1 paralelni. Prema tome je

$$R_2 = \int_{x=a}^b dR_2, \quad \frac{1}{R_1} = \int_{x=0}^b \frac{1}{dR_1},$$

pa provlačni otpor na osnovu izraza (1) iznosi:

$$R_p = \frac{\varrho}{\pi} \left(\frac{1}{a} - \frac{2}{b} \right).$$

Kako je $b \gg a$, proizlazi

$$R_p \approx \frac{\varrho}{\pi a}.$$

Ako se kuglica polumjera a nadomjesti ravnom kružnom plohom jednakog polumjera, dobiva se nešto veći provlačni otpor

$$R_p = \frac{\varrho}{2a}. \quad (2)$$

Polumjer a stvarne dodirne plohe, nastale plastičnom deformacijom, ovisi o sili tlaka F i tvrdoći kontakta H prema jednadžbi

$$H = \frac{F}{a^2 \pi}. \quad (3)$$

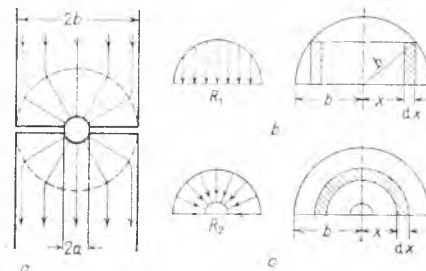
Tvrdoća kontakta H odgovara samo približno Brinellovoj tvrdoći materijala. Uvrštenjem jedn. (3) u relaciju (2) dobiva se za provlačni otpor izraz

$$R_p = \frac{\varrho}{2} \sqrt{\frac{\pi H}{F}}. \quad (4)$$

Slojni otpor kvazimetalskih kontakata može se odrediti relacijom

$$R_s = \frac{\sigma}{\pi a^2} = \frac{\sigma H}{F}, \quad (5)$$

gdje je σ tzv. specifični slojni otpor (specifična dodirna površina po jedinici slojne vodljivosti). Njegova je vrijednost za sve metale reda veličine $10^{-12} \Omega \text{ m}^2$.

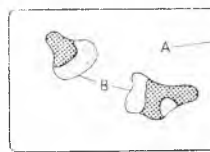


Sl. 3. Uz proračun provlačnog otpora: a) stvarno provlačno područje, b) homogeni aksijalni tok, c) radikalni tok struje

Relacije (4) i (5) pokazuju da je provlačna komponenta kontaktog otpora obrnuto razmjerna veličini \sqrt{F} , a slojna komponenta obrnuto razmjerna veličini F . Zato u aparatima slabe struje zbog malih tlakova prevladava slojni otpor, a u aparatima jake struje provlačni.

Formule (4) i (5) osnivaju se na mnoštvu pretpostavki i aproksimacija. U praksi se kontakti dodiruju na više mjesta, kojih broj i dimenzije ovisi i o finoći obrade. Stvarne su dodirne plohe samo

djelomično u kvazimetalskom dodiru, a zbog nejednakog tlaka dolazi na pojedinih mjestima i do elastičnih deformacija. Ove se činjenice uzimaju u obzir različnim empiričkim formulama. Glavni je rezultat navedenih razmatranja da kontaktni otpor uz zadana svojstva materijala (H, ϱ) uglavnom ovisi o sili tlaka F , a ne o ukupnoj (prividnoj) kontaktnoj površini. Nehomogenost kontaktne plohe prikazuje sl. 4, u kojoj pravokutna



Sl. 4. Prividna (A) i stvarna (B) dodirna ploha kontakta

ELEKTRIČNI SKLOPNI APARATI

kontura A odgovara granici prividne, a nepravilna linija B granici stvarne (mehanički opterećene) dodirne površine. Točkano označeni dijelovi predočuju područje kvazimetallnog dodira, a rasterom označena mjesta makroslojeve. Budući da kontaktni otpor R_K raste s temperaturom, utječu oblik i dimenzije kontakata indirektno na njegovu veličinu, jer određuju rashladnu površinu i toplinski kapacitet.

Starenje kontakata je promjena kontaktog otpora u toku vremena, uzrokovanja porastom debljine makroslojeva. Brzina starenja ovisi o kontaktnom materijalu i uvjetima okoline (temperaturi, vlazi, kemijskom sastavu okolnog medija). Mjerena na bakrenim kontaktima koji su nekoliko mjeseci bili izloženi utjecaju sobne atmosfere pokazala su povećanje otpora od stotine do hiljadu puta. Uz to njihov slojni otpor raste eksponencijalno s temperaturom, koju zbog toga treba ograničiti na $\sim 100^\circ\text{C}$. Srebro je u tom pogledu znatno povoljnije, jer oksidni slojevi na njegovoj površini ne prekraćuju određenu debljinu, a pri višim temperaturama postaju nestabilni, te se opet reduciraju na čisti metal.

U procesu uklapanja dolazi do sudara među kontaktima, te oni mogu i nekoliko puta odskočiti prije nego se smire u zatvorenom položaju. Kako se pri tome svaki put javlja kratkotrajni luk koji povećava trošenje materijala, treba ovu pojavu svesti na najmanju mjeru. To se postiže prikladnom konstruktivnom izvedbom (pogodnim oblikom dodirnih ploha, primjereno silom opruga, ispravnom masom i brzinom pokretnih dijelova) i pravilnim izborom kontaktog materijala (njegovom gustoćom, modulom klizanja, elastičnim svojstvima).

Svojstva kontaktih materijala koja se najčešće traže jesu već spomenuti mali kontaktni otpor, zatim loša zavarljivost i neznatno nagaranje od električnog luka. Mali otpor omogućuje trajno vodenje normalnih pogonskih struja bez prekomjernog zagrijavanja. Teško zavarivanje traži se od kontakata koji moraju trenutno voditi ili povremeno uklapati abnormalno velike struje (kratki spoj). Slabo nagaranje posebno je važno za lučne kontakte na koje se prebacuje korijen luka u procesu prekidanja.

Nijedan materijal ne može u punoj mjeri udovoljiti svim navedenim zahtjevima. Tako, primjerice, da bi kontaktni otpor bio mali, metalna površina treba da je razmjerno meka i veoma čista, a da bi otpornost kontakta prema zavarivanju bila velika, materijal treba, naprotiv, da je vrlo tvrd i da mu površina bude pokrivena stabilnim stranim slojevima. Budući da kontakti nekog aparata nisu izloženi svim naprezanjima u najvišem stupnju, treba pri izboru materijala ocijeniti koja su svojstva u pojedinom slučaju najvažnija. Za izradu kontaktata dolaze u obzir tri glavne skupine materijala: čisti metali, legure i sinterovane kombinacije.

Od čistih metala, bakar zbog veoma izraženih pojava starenja nije prikladan za trajno zatvorene kontakte, ali se primjenjuje za klizne kontakte u aparatima bez intenzivnog luka. Za trajno vodenje struje mnogo je pogodnije srebro, bilo u masivnoj izvedbi bilo kao galvanska prevlaka bakrenih površina. Njegovo svojstvo rekuperacije (ponovnog taloženja isparenenog metala na kontaktne plohe u zraku) omogućuje da se poveća električna trajnost aparata. Legirani metali imaju bolje mehaničke osobine i veću kemijsku otpornost, ali električna vodljivost i talište redovito su im niži od srednje vrijednosti koja odgovara omjeru miješanja komponenta. Među visokovodljive legure ubrajaju se Ag-Cu (tvrdi srebro), Ag-Ni (srebro-nikal) i Ag-Cd (srebro-kadmij). Tipični je predstavnik kemijski otpornih legura Ag-Pd (srebro-paladij). Električna vodljivost sinterovanih kombinacija ovisi o načinu izrade i strukturi materijala. Jednoskeletalna struktura nastaje tako da se u masu osnovne komponente umiješaju odvojena zrna druge komponente. U dvoskeletalnoj strukturi vezana su zrna obje komponente u cjelovit skelet, oba se skeleta isprepliću, a električki su paralelno spojeni. To se postiže time što se porozni sinterovani skelet jedne komponente (volframa ili molibdena) natopi talinom druge komponente s nižim talištem (srebra ili bakra). Komponente od teško talijivih metala (Ni, W, Mo), metalnih oksida (CdO, SnO₂), karbida (WC) i grafita (C) povećavaju otpornost prema zavarivanju, nagaranju i mehaničkom trošenju, a srebro i bakar povećavaju električnu vodljivost i žilavost.

Termičko naprezanje kontakata. Utjecaj kontaktog otpora R_K na termička naprezanja aparatova prikazuju sl. 5. Krivulja $\vartheta(x)$ daje prostornu razdiobu stacionarne temperature ϑ duž beskončno dugih cilindričnih vodiča A i B kroz koje protjeće konstantna struja I_1 , a dodiruju se na mjestu $x = 0$ čeonim ploham. Ona se može izraziti jednadžbom

$$\vartheta = \vartheta_0 + \frac{I^2 \rho}{p Sa} + \frac{I^2 R_K}{2 \lambda Sa} \cdot e^{-ax}.$$

Prvi član na desnoj strani jednadžbe predstavlja temperaturu okoline ϑ_0 , drugi zagrijanje ϑ_v uslijed gubitaka zbog otpora vodiča,

a treći porast temperature ϑ_k na mjestu x uslijed gubitaka zbog kontaktog otpora R_K . Pri tome je ρ specifični otpor vodiča, p rashladna površina po jedinici duljine, S presjek vodiča, α koeficijent prelaza topline na okolinu, λ koeficijent toplinske vodljivosti i $a = \sqrt{\alpha p / \lambda S}$.

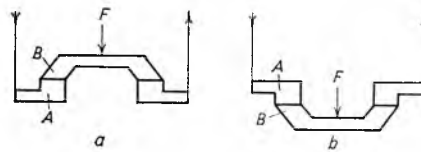
Za termičku otpornost aparatova u uvjetima kratkog spoja mjerodavna je, između ostalog, i najveća udarna struja I_u koju zatvoreni kontakti mogu propusiti a da se ne zavare. Potrebna se kontaktna sila tlaka može odrediti relacijom $F_K \geq k_u I_u^2$. Koeficijent k_u ima za bakrene kontakte vrijednost 0,06 kp/kA².

Termičko naprezanje cilindričnoga kontakta čija je čeona ploha kratkotrajno izložena djelovanju električnog luka može se predočiti krivuljom razdiobe temperature, sličnom onoj u sl. 5. Uz samu čeonu plohu ($x = 0$) vlada veoma strmi pad temperature

$$\frac{\partial \vartheta}{\partial x} = - \frac{\vartheta_L}{\sqrt{\frac{\lambda \pi t_A}{c_v}}}$$

s obzirom na visoku temperaturu čeone plohe ϑ_L i kratko trajanje luka t_A . Veličina c_v je specifična toplina kontakta po jedinici volumena. To znači da već na malom razmaku od čeone plohe vlada relativno niska temperatura, što olakšava konstruktivnu izvedbu.

Utjecaj elektrodinamičkih sile na kontakte. U konstrukciji aparatova treba osobitu pažnju posvetiti elektrodinamičkim silama koje u slučaju većih strujnih udara i kratkog spoja mogu opasno smanjiti kontakti tlak ili čak trenutno otvoriti kontakte. To se može sprječiti pravilnim rasporedom elemenata, kao, primjerice, izvedbom koja je prikazana na sl. 6 a, gdje zbog tendencije širenja



Sl. 6. Utjecaj elektrodinamičkih sile na kontaktne plohe. a: Povoljna izvedba; b: nepovoljna izvedba; A nepomični kontakt, B pomični kontakt, F smjer djelovanja elektrodinamičke sile

strujne petlje elektrodinamička sila F pojačava tlak pomičnoga kontakta B na nepomični kontakt A. Nepovoljnu izvedbu, u kojoj se pod utjecajem velikih struja kontakti nastoje otvoriti, prikazuje sl. 6 b.

Odbojne sile među zatvorenim kontaktima nastaju već zbog neizbjegljive koncentracije struje na mjestima stvarnog dodira. Kao što se vidi u sl. 7 a, uz same se čeone plohe dijelova A i B javljaju paralelne strujnice suprotnog smjera, koje se međusobno odbijaju. Sl. 7 b prikazuje kontaktni sistem koji je sastavljen od jednog pomičnog dijela A i dva nepomična dijela B i C. Virtualnim pomakom dijela A za iznos d_h povećava se induktivitet strujnoga kruga za iznos dL , jer dio masivnog vodiča

polumjera R ustupa mjesto tankoj strujnoj stazi polumjera r , koji odgovara veličini stvarne dodirne plohe. Ovakva dva elementa jednake duljine i različitog promjera proizvode uz jednaku struju različite magnetske točkove. Promjena induktiviteta iznosi

$$dL = \frac{\mu_0 dh}{2\pi} \ln \frac{R}{r},$$

gdje je $\mu_0 = 4\pi \cdot 10^{-7}$ H/m permeabilnost nemagnetskog materijala. Stoga se uz zadatu struju i dobiva na kontaktu odbojna sila

$$F_R = \frac{i^2}{2} \cdot \frac{dL}{dh} = \frac{\mu_0 i^2}{4\pi} \ln \frac{R}{r},$$

Sl. 7. Određivanje odbojnih sila među kontaktima

Procesi uklapanja i prekidanja struje

Prilikom sklapanja strujnih krugova javlja se među kontaktima aparata električni luk. *Uklopni luk* pali se u trenutku kad se kontakti približe na probornoj razmaku, a isčezava u trenutku njihova spajanja. *Iskopni luk* nastaje prekidom metalnog dodira i traje do trenutka gašenja, koji ovisi o karakteristikama aparata i strujnoga kruga.

U pogledu gašenja luka postoji načelna razlika između krugova istosmjerne i krugova izmjenične struje. Radi gašenja luka istosmjerne struje treba stalno povećavati njegov otpor, da bi se struja u krugu smanjila ispod minimalnog iznosa potrebnog za njegovo stabilno održavanje. Luk izmjenične struje sam se od sebe trenutno gasi u svakoj multotki sinusne struje, ali nakon toga ostaje među kontaktima relativno vrući i visoko ioniziran medij, tzv. *rezidualni stupac*. Za definitivno gašenje luka treba rezidualnom stupcu naglo povećati otpor i dielektričnu čvrstoću, da bi se spriječilo ponovno paljenje luka.

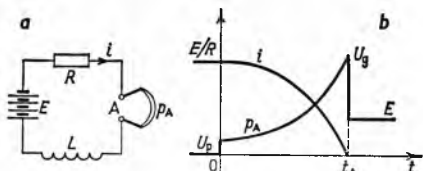
Gašenje istosmjernega luka. Za induktivni krug istosmjerne struje prema sl. 8 a vrijedi jednadžba

$$E = R i + L \frac{di}{dt} + p_A,$$

ili

$$L \frac{di}{dt} = (E - R i) - p_A = p_L, \quad (6)$$

gdje su p_A i p_L padovi napona u luku i na induktivitetu L . Da bi

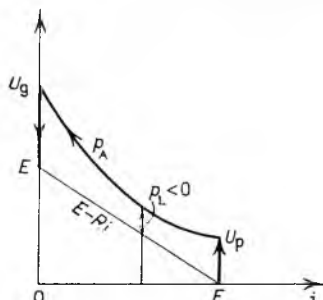


Sl. 8. Prekidanje istosmjerne struje. a) Strujni krug s prekidačem A, b) vremenska promjena struje i napona među kontaktima prekidača: i struja, p_A napon luka, E napon izvora, U_p napon paljenja, U_g napon gašenja, t_A trajanje luka

se luk ugasio, mora se struja stalno smanjivati ($di/dt < 0$), što se prema relaciji (6) svodi na uvjet $p_L < 0$, odnosno

$$p_A > E - R i,$$

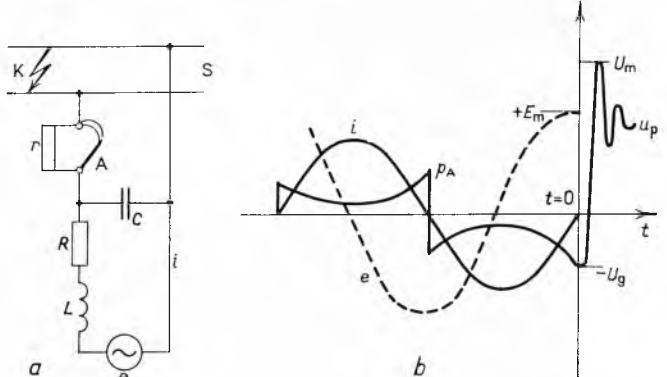
poznat kao kriterij nestabilnosti luka. Iz dijagrama u sl. 9 proizlazi da napon luka $p_A(t)$ treba pravilnom izvedbom aparata podignuti iznad karakteristike mreže $U = E - R i$, što se npr. postiže razvlačenjem



Sl. 9. Medusobni položaj karakteristike mreže ($E - R i$) i karakteristike luka $p_A(i)$ u slučaju nestabilnosti luka

luka na potrebnu duljinu (v. *Električna pražnjenja u plinovima*, TE 3, str. 686). Tok procesa pri isklapanju pokazuju u dijagramu $p_A(t)$ strelice, a vremensku promjenu struje i napona među kontaktima prekidača A dijagram u sl. 8 b. Vrijednosti U_p i U_g odgovaraju naponu paljenja i gašenja luka.

Gašenje izmjeničnog luka. Pojave pri gašenju izmjeničnog luka mogu se objasniti na temelju sheme prikazane u sl. 10a, koja odgovara prekidanju kratkog spoja na stezaljkama aparata.



Sl. 10. Prekidanje izmjenične struje. a) Shema strujnoga kruga, b) vremenska promjena struje i napona; e elektromotorna sila generatora tjemene vrijednosti E_m , p_A napon luka, u_p prelazni povratni napon amplitud U_m , i struja; A prekidač s paralelno spojenim otpornikom r , S sabirnice, K mjesto kratkog spoja

Generator izmjeničnog napona priključen je na sabirnice s pomoću prekidača A, kojemu su kontakti premošteni paralelnim otporom r . Veličine L , R , C predstavljaju induktivitet, otpor i kapacitet generatorskog namota i kruga između generatora i mesta kratkog spoja K. S obzirom na induktivni karakter kruga zaostaje struja i za $\sim 1/4$ perioda iza elektromotorne sile e (sl. 10 b). Luk koji je nastao otvaranjem aparata gasi se u jednom od prirodnih prolaza struje kroz nulu (trenutak $t = 0$). Pri tome napon p_A na kontaktima prekidača A s nekoliko titraja naglo prelazi od negativne vrijednosti napona gašenja luka $-U_g$ na pozitivnu tjemenu vrijednost generatorskog napona $+E_m$. Međutim, njegova prva amplituda U_m može teoretski dosegći vrijednost $2E_m + U_g$. Napon koji se javlja na kontaktima aparata nakon gašenja luka zove se *povratni napon*, nije početni dio u_p (u kojem se još zapaža utjecaj prolazne komponente) *prijelazni povratni napon*, a njegov dalji tok *povratni napon pogonske frekvencije*.

Prema sl. 10 može se u kratkom intervalu neposredno nakon gašenja izmjenični napon izvora $e = E_m \cos \omega t$ nadomjestiti konstantnim naponom E_m , a zadani strujni krug ekvivalentnom shemom prikazanom u sl. 11. Primjenom Kirchhoffovih zakona

$$\left. \begin{aligned} E_m &= R i + L \frac{di}{dt} + \frac{1}{C} \int i_c dt, \\ i &= i_r + i_c, \\ u_p &= r i_r = \frac{1}{C} \int i_c dt, \end{aligned} \right\} \quad (7)$$

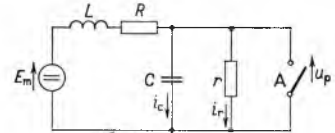
uz početni uvjet $t = 0 \Rightarrow u_p = -U_g$ i uz pretpostavku periodičke promjene napona, tj.

$$\frac{1}{4} \left(\frac{R}{L} - \frac{1}{rC} \right)^2 < \frac{1}{LC},$$

dobiva se rješenje

$$u_p = E_m - (E_m + U_g) \left(\frac{\omega}{\omega_0} \sin \omega_0 t + \cos \omega_0 t \right) e^{-\kappa t}. \quad (8)$$

Koefficijent prigušenja κ i kružna frekvencija povratnog napona

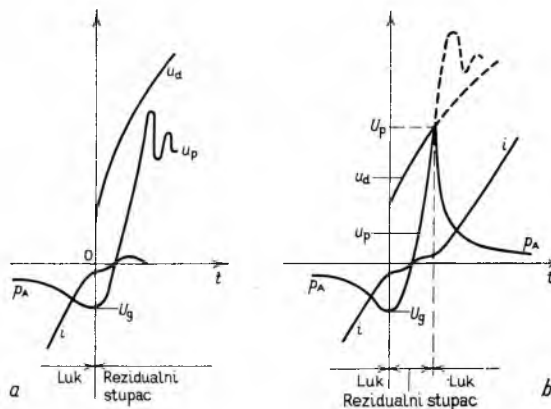


Sl. 11. Ekvivalentna shema kruga u sl. 10

ω_0 ovise o parametrima kruga (R , L , C) i aparata (r):

$$\left. \begin{aligned} \omega_0 &= \frac{1}{2} \left(\frac{R}{L} + \frac{1}{rC} \right), \\ \omega_0 &= \sqrt{\frac{1}{LC} - \frac{1}{4} \left(\frac{R}{L} - \frac{1}{rC} \right)^2}. \end{aligned} \right\} \quad (9)$$

Za uspješno prekidanje izmjenične struje (sl. 12 a) treba, prema J. Slepianu, tako brzo povećavati dielektričnu čvrstoću rezidualnog stupca da njegov probajni napon u_d bude stalno iznad povratnog napona u_p . U suprotnom slučaju (sl. 12 b) dolazi do ponovnog paljenja luka.



Sl. 12. Pojave u intervalu gašenja luka. a) Luk definitivno ugašen jer je probajni napon u_d stalno viši od povratnog napona u_p , b) krivulja u_p sijeće liniju u_d te pri naponu U_p dolazi do ponovnog paljenja luka

U stvarnosti su pojave mnogo složenije, jer otpor rezidualnog stupca ne može u momentu $t = 0$ trenutno porasti na beskonačnu vrijednost, kao što je pretpostavljeno u jednadžbama (7). Zato umjesto dielektričnog probaja može nastupiti i termički probaj, što ovisi o energetskim prilikama u stupcu. Za termički je probaj mjerodavan otpor R_A rezidualnog stupca, koji ograničava snagu u_p^2/R_A , tj. ugrijavanje stupca pod utjecajem povratnog napona.

Otpor R_A djeluje i na tok povratnog napona u_p , analogno porednom otporu r u sl. 10 i relaciji (9), a napon u_p na promjenu otpora R_A ugrijavanjem stupca. U procesima prekidanja dolazi, prema tome, do međusobnog djelovanja (interakcije) prekidača i mreže.

Energetske teorije luka. Za rješavanje prijelaznih pojava u procesima prekidanja treba uz konstantne elemente kruga R , L , C poznavati i varijabilni ukupni otpor luka $R_A = p_A/i$, odn. njegovu dinamičku karakteristiku $p_A = f[i(t)]$. Za razliku od staticke naponsko-strujne karakteristike luka (v. članak Električna pražnjenja u plinovima, TE 3, str. 686), koja se snima uz konstantne vrijednosti struje i za koju postoji niz analitičkih izraza (H. Ayrton, W. B. Nottingham, Elenbaas-Heller, Engel-Steenbeck), dinamička se karakteristika mjeri uz vremenski promjenljivu struju, te uzima u obzir efekte toplinske tromosti lučne plazme.

Energetsku ili dinamičku teoriju luka razvili su A. M. Cassie i O. Mayr uvezivši u obzir da njegova električna vodljivost $1/R_A$ po jedinicu duljine raste s količinom topline Q koja je u jedinicu duljine luka akumulirana:

$$\frac{1}{R_A} = F(Q). \quad (10)$$

Promjenu akumulirane topline određuje razlika između strujom proizvedene i hlađenjem odvedene topline prema jednadžbi H. Th. Simona

$$dQ = (P_a - P_h) dt = (i^2 R_a - P_h) dt, \quad (11)$$

u kojoj P_a i P_h označuju snagu luka i snagu hlađenja po jedinicu duljine. Iz relacija (10) i (11) dobiva se jednadžba

$$-\frac{1}{R_a} \cdot \frac{dR_a}{dt} = \frac{dQ}{F(Q)} (i^2 R_a - P_h), \quad (12)$$

koja određuje općenite veze između električnih i toplinskih parametara dinamičkog luka. Kad bi se za $F(Q)$ i snagu hlađenja P_h pokušali uvrstiti točni izrazi, postao bi račun veoma složen. Zato se u praksi zadovoljavamo odredenim aproksimacijama koje dopuštaju eliminaciju spomenutih veličina.

Cassie prepostavlja jednaku i konstantnu temperaturu u svim točkama lučnog stupca. Zbog toga su konstantni specifični otpor $\rho = R_a S$ i sadržaj topline u jedinici volumena Q/S , gdje je S presjek luka, tj. volumen po jedinici duljine. On prepostavlja i volumensko hlađenje uz konstantan odvod topline po jedinici volumena P_h/S . Uz ove se aproksimacije može, na osnovi relacije (12), vezu između otpora i struje luka odrediti diferencijalnom jednadžbom

$$\frac{d}{dt} \left(\frac{1}{R_a^2} \right) + \frac{2}{\tau} \cdot \frac{1}{R_a^2} = \frac{2}{\tau E_s^2} i^2. \quad (13)$$

Veličina $\tau = Q/P_h = \text{konst}$. je vremenska konstanta kojom luk gubi električnu vodljivost kad mu se prekine dovod energije, a $E_s = \sqrt{\rho P_h/S} = \text{konst}$. gradijent je potencijala statičkog luka, tj. električno polje stupca u uvjetima toplinske ravnoteže (kad je $E_s \cdot i = P_h$).

Mayr polazi od pretpostavke površinski hlađenog luka iz kojeg se odvodi konstantna snaga $P_h = P_0$, a vezu između sadržaja topline i vodljivosti aproksimira relacijom

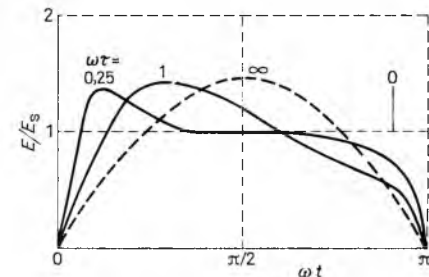
$$\frac{1}{R_a} = K e^{Q/Q_0},$$

gdje su K i Q_0 konstante. Q_0 je količina energije koju treba dovesti jedinici duljine luka da mu se vodljivost poveća za faktor $e = 2,718\dots$. Ako se spomenute aproksimacije uvedu u jednadžbu (12), dobiva se relacija

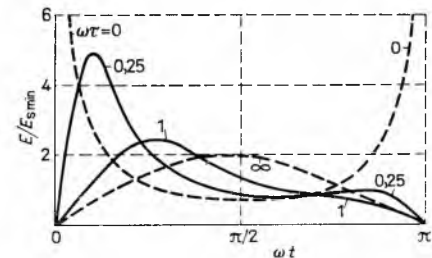
$$\frac{d}{dt} \left(\frac{1}{R_a} \right) + \frac{1}{\tau} \cdot \frac{1}{R_a} = \frac{1}{\tau P_0} i^2, \quad (14)$$

u kojoj je $\tau = Q_0/P_0 = \text{konst}$. vremenska konstanta luka.

S matematičkog stanovišta obje opisane teorije podjednako odgovaraju praktičkim zahtjevima. U fizikalnom pogledu Cassiejeva teorija vjernije opisuje luk jake struje, čiji je gradijent praktički neovisan o struci, a Mayrova je prikladnija za područje manjih struja s izrazito hiperboličnom karakteristikom luka.



Sl. 13. Gradijent luka sinusne struje po Cassieu



Sl. 14. Gradijent luka sinusne struje po Mayru

Prekidom struje u trenutku $t = 0$ dolazi do eksponencijalnog porasta otpora u rezidualnom stupcu:

$$R_a = R_0 e^{t/\tau}, \quad (15)$$

što proizlazi iz obiju relacija (13) i (14) ako se stavi $i = 0$. Po

takvom bi se zakonu mijenjao otpor kad se nakon gašenja ne bi pojavila rezidualna struja uslijed povratnog napona. Jednadžba (15) pokazuje da je za efikasno prekidanje poželjna što manja vremenska konstanta medija za gašenje.

Na temelju jednadžbi (13) i (14) mogu se za različne krivulje struje $i = f(t)$ izračunati krivulje otpora luka $R_a(t)$ i gradijenta $E(t) = R_a \cdot i$. Uz pretpostavku da u luku teče sinusna struja jakosti $i = I_m \sin \omega t$, dobiva se prema relaciji (13)

$$E \approx \frac{E_s \sqrt{2} \sin \omega t}{\sqrt{1 - \frac{\sin(2\omega t + \varphi)}{1 + (\omega \tau)^2}}},$$

a iz jednadžbe (14) slijedi

$$E \approx \frac{2 E_{sm} \sin \omega t}{1 - \frac{\sin(2\omega t + \varphi)}{1 + (2\omega \tau)^2}}.$$

Pri tome je $\varphi = \arccot \omega \tau$, $E_{sm} = P_0/I_m$. Dijagrami u sl. 13 i 14 daju grafički prikaz navedenih rezultata.

Vremenska konstanta τ luka je, ovisno o konstrukciji aparata i vrsti medija za gašenje, reda veličine $10^{-6}\dots 10^{-4}$ s.

Energetska se teorija može jednako uspješno primjeniti i na rezidualni stupac duljine l , za koji se Mayrova relacija (14) može napisati u modificiranom obliku

$$\frac{dR_A}{dt} - \frac{R_A}{\tau} = -\frac{u_p^2}{\tau P_{to}}. \quad (16)$$

Novo uvedene oznake imaju ova značenja: $R_A = l R_a$ je ukupni otpor stupca, $u_p = l E$ je povratni napon i $P_{to} = l P_0$ je ukupna snaga hlađenja.

Uz neki zadani oblik povratnog napona $u_p(t)$ dobiva se s pomoću jednadžbe (16) zakon promjene otpora $R_A(t)$, odnosno rezidualna struja $i(t) = u_p/R_A$. Početni se dio povratnog napona često može aproksimirati linearnim porastom

$$u_p = s \cdot t,$$

što uvršteno u izraz (16) vodi do rezultata

$$R_A = e^{t/\tau} \left(R_{A0} - \frac{2s^2 \tau^2}{P_{to}} \right) + \frac{2s^2 \tau^2}{P_{to}} \left(1 + \frac{t}{\tau} + \frac{t^2}{2\tau^2} \right).$$

Da bi se otpor stupca stalno povećavao, mora prvi izraz u zagradi ostati pozitivan, što znači

$$s \leq \frac{\sqrt{P_{to} R_{A0}}}{\sqrt{2} \tau}. \quad (17)$$

Ovom uvjetu mora uđovoljavati najveća strmina povratnog napona, da ne dođe do ponovnog termičkog paljenja luka. Pretpostavili se još i pravilan sinusni oblik zadnjeg poluvala struje u luku, $i = I \sqrt{2} \sin \omega t$, određen je time i početni otpor rezidualnog stupca

$$R_{A0} = \frac{u_p(0)}{i(0)} = \frac{\left(\frac{du_p}{dt} \right)_0}{\left(\frac{di}{dt} \right)_0} = \frac{s}{I \omega \sqrt{2}}. \quad (18)$$

Spajanjem jednadžbi (17) i (18) dobiva se najveća efektivna vrijednost struje

$$I \leq \frac{P_{to}}{2 \sqrt{2} s \tau^2 \omega}$$

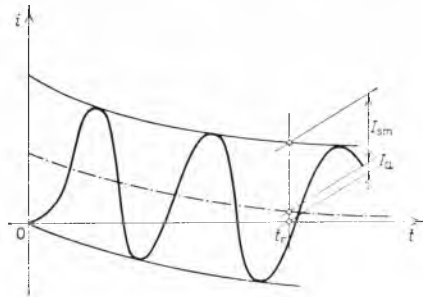
koju aparat može prekinuti uz navedene uvjete.

Definiranje osnovnih karakteristika aparata. Za tehničku je praksi vrlo važna mogućnost objektivnog uspoređivanja karakteristika aparata i uvjeta ispitivanja. Kako su povratni napon i prekidna struja dva glavna faktora koji otežavaju prekidanje, to se i ispitni krugovi definiraju tzv. prirodnim strujama kratkog spoja i prirodnim povratnim naponima, koji nisu deformirani utjecajem aparata. Oni bi se pojavili djelovanjem »idealnog« prekidača, čiji je otpor, odnosno napon luka do momenta definitivnog prekida struje jednak nuli, a zatim trenutno postaje beskonačan.

Prirodni povratni napon može se za krug prema sl. 10 odrediti jednadžbama (7) do (9) ako se stavi za napon gašenja $U_g = 0$, za poredni otpor aparata $r = \infty$ i za struju koja teče kroz taj otpor $i_r = 0$.

U pogonu se javljaju također slučajevi kad prijelazni povrtni napon može poprimiti visoku vrijednost ili veliku strminu. Tipični su primjeri: prekidanje malih kapacitivnih struja neopterećenih dalekovoda ili kabela, prekidanje malih induktivnih struja neopterećenih transformatora, sklapanje kondenzatorskih baterija, prekidanje kratkog spoja na maloj udaljenosti (kilometrički kvar), razdvajanje dvaju sistema van sinhronizma (opozicija faza), itd. Uzroci zbog kojih se u spomenutim slučajevima javljaju prenaponi veoma su različiti (uzastopno nabijanje kapaciteta, naglo rezanje struje u blizini prirodne nultočke, refleksija putnih valova, zakretanje vektora napona).

Prekidna struja je faktor mjerodavan za stupanj ionizacije prostora među kontaktima, kojemu treba što brže vratiti dielektrična svojstva. Prekidna se struja I_s mjeri efektivnom vrijednošću simetrične komponente struje $I_s = I_{sm}/\sqrt{2}$ u trenutku paljenja luka t_r , kako je to prikazano u sl. 15. Najveća vrijednost prekidne struje, za koju je aparat građen, zove se *prekidna moć*, te se smatra jednom od glavnih karakteristika prekidača i sklopki. Prekidna je



Sl. 15. Određivanje prekidne struje iz oscilograma. I_{sm} simetrična komponenta struje, I_a aperiodična komponenta struje, t_r trenutak paljenja luka (prekida dodira među kontaktima)

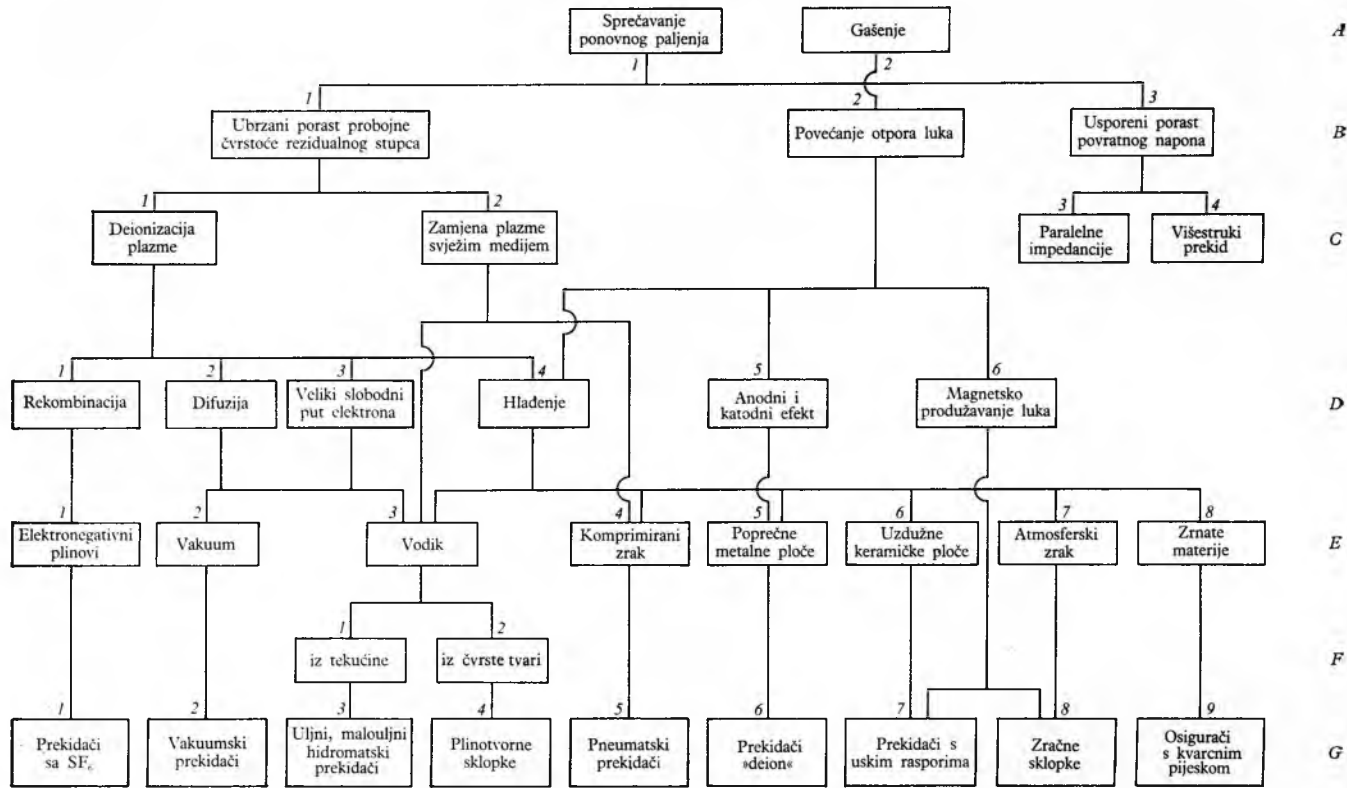
moć jednoznačno odredena samo ako se istodobno navede uz koje se ispitne uvjete, uz kakav maksimalni povratni napon i uz koliki udio aperiodične komponente struje I_a/I_s može garantirati njen iznos. Za krugove istosmjerne struje bitna je i vremenska konstanta kruga L/R .

Budući da i povratni napon i prekidna struja otežavaju gašenje luka, može se i njihov produkt smatrati mjerilom naprezanja aparata u procesu prekidanja. Na taj je način stvoren pojam *prekidne snage* $P_s = k U_p I_s$, gdje U_p označava efektivnu vrijednost linijskog povratnog napona pogonske frekvencije, a $k = 1$ za jednofazni, $k = \sqrt{3}$ za trofazni sistem. Najveća dopuštena vrijednost P_s zove se također *prekidna moć*, pa se ovako definirana veličina (u MVA) donedavno mnogo upotrebljavalala u tehniči visokonaponskih aparata. U novije se vrijeme za čitavo naponsko područje usvaja jedinstvena definicija prekidne moći na bazi prekidne struje (u A ili kA).

Dinamička i termička naprezanja aparata prilikom uklapanja ovise u prvom redu o *uklopnoj struci* koja se pojavljuje neposredno nakon uklopa. Drugi faktor o kojemu ovise ta naprezanja jest napon, jer o njemu ovisi hoće li se među kontaktima i na kojem razmaku upaliti električni luk. Zato se *uklopna moć* sklopog aparata definira kao najveća dopuštena uklopna struja pod određenim naponom.

Sistemi gašenja luka

Električni je luk po mnogim svojstvima i tehnički i ekonomski veoma povoljan isklopni element. On sprečava diskontinuirani prekid struje, koji bi izazvao nedopustivo visoke prenapone, a ujedno omogućava prekidanje izmjenične struje u prirodnoj nultočki bez posebnih uredaja za sinhronizaciju. Glavni je problem pri konstrukciji sklopog aparata da se trajanje električnog luka ograniči na najmanju mjeru, kako bi se smanjilo njegovo razorno djelovanje i skratio proces isklapanja.



Sl. 16. Principi gašenja luka

Sl. 16 daje shematski pregled najvažnijih načina gašenja luka i uspostavljanja probojne čvrstoće u lučnim komorama aparata. U shemi se vidi kako primjena različnih fizikalnih principa dovodi do glavnih tehničkih rješenja. U pojedinoj konstrukciji, dakako, redovito se isprepliće više različitih procesa, ali se neki od njih mogu smatrati bitnima za dotičnu izvedbu. Shema je sastavljena tako da se redovi A-D odnose na fizikalne procese, E i F na medij za gašenje luka, a G na tehničku realizaciju, odn. tip aparata. Procesi označeni u sl. 16 predstavljaju dva osnovna sistema prekidanja u lučnim aparatima: sprečavanje ponovnog paljenja (A1), tipično za aparate izmjenične struje, i gašenje (A2), karakteristično za aparate istosmjerne struje. Ponovno se paljenje sprečava ubrzanim porastom probojne čvrstoće (B1) ili usponom porastom povratnog napona (B3), a za prisilno gašenje treba povećavati otpor luka (B2). Porast probojne čvrstoće ubrzava se ili tako da se rezidualna plazma deionizira (C1) ili tako da se ona potiskuje iz lučne komore i nadomješta svježim medijem (C2). Strmina i visina povratnog napona mogu se ograničiti bilo prigradjnjom paralelnog otpornika ili kondenzatora (C3) bilo primjenom višestrukog prekida (C4), tj. serijskim vezanjem dviju ili više lučnih komora tako da na svaku otpada samo dio povratnog napona. Neke pojedinosti o fizikalnim procesima (D1-D6) sadržane su u opisu pojedinih sistema aparata.

Tehničke izvedbe (G) lučnih aparata, navedene u sl. 16, mogu se analogno slici 1 (grupe 111 i 112) podjeliti u dvije skupine prema tome da li za gašenje luka troše poseban medij (plin, tekućinu, plinotvornu čvrstu tvar) ili ne. U nekim se aparatima s posebnim medijem (uljni, malouljni, hidromatski, plinotvorni) luk gasi smjesom plina i pare koja se djelovanjem topline luka razvija iz tekućine ili čvrste tvari. Zato njihov intenzitet gašenja ovisi o jakosti struje koja se prekida. Drugim se aparatima iste skupine (pneumatskim, sa SF₆) plin dovodi iz posebnog izvora, te je njihov intenzitet gašenja u načelu neovisan o prekidačnoj struci. Prema tome se aparati s posebnim medijem mogu podjeliti na aparate sa zavisnom i aparate s nezavisnom karakteristikom gašenja. Neki autori dijele lučne sklopne aparate na aparate s kratkim lukom (sistem »deion«, u sl. 16 označen sa G6, i mnogi niskonaponski sklopni aparati izmjenične struje) i sklopne aparate s dugačkim lukom.

SKLOPNI APARATI VISOKOG NAPONA

Visokonaponskim sklopnim aparatima nazivaju se prema preporukama Međunarodne elektrotehničke komisije IEC (International Electrotechnical Commission) sklopni aparati za energetske sisteme izmjeničnog napona iznad 1000 V i istosmjernog napona iznad 1200 V, a prema propisima Saveza njemačkih elektrotehničara VDE (Verband deutscher Elektrotechniker) aparati za izmjenične napone iznad 1000 V i istosmjerne napone iznad 3000 V.

Visokonaponski prekidači

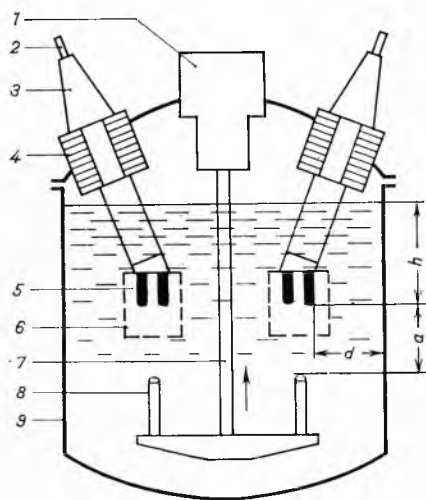
Danas se u mrežama i postrojenjima primjenjuje velik broj tipova prekidača koji se osnivaju na principima gašenja luka prema sl. 16 (posljednji red). Neki od najvažnijih opisani su u nastavku.

Uljni prekidači sadrže čvrsto građen čelični kotao s velikom količinom ulja, koje služi i za gašenje luka i za izolaciju prema uzemljenoj masi. Veće jedinice imaju svaki pol prekidača smješten u posebnom rezervoaru; u manjim tropolnim aparatima smještene su sve tri faze u zajednički kotao, pa ovdje ulje služi i kao međufazna izolacija. U starijim se izvedbama luk slobodno razvijao u velikoj masi ulja, pa se tlak plinova izravno prenosio na stijene kotla; u suvremenim konstrukcijama kontakti su zatvoreni u posebne lučne komore. Shematski presjek uljnog prekidača prikazuje sl. 17.

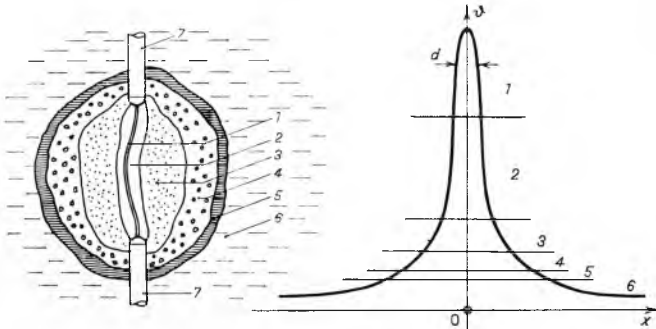
Kotao prekidača 9 napunjeno je do odredene visine uljem. Zračni jastuk iznad njegove površine ublažava porast tlaka za vrijeme gorenja luka. Provodni izolatori 3 na poklopцу kotla nose priključne stezaljke 2, nepomične kontakte 5 s lučnim komorama 6 i eventualno strujne transformatore 4 za napajanje zaštitnih uređaja. Na poklopac je montiran pogonski mehanizam 1, koji pomoću izolacionih motki 7 pokreće pomicne kontakte 8.

Toplina električnog luka koji se prilikom isklapanja javlja među kontaktima rastvor i ispari određenu količinu ulja. Na taj se način oko luka stvori plinski mjeđur; njegov sastav i prostorna razdioba temperature $\theta(x)$ u njemu shematski su prikazani u sl. 18. U jezgri luka 1 vlada najviša temperatura; ona tamo dosije 10 000...15 000 K, već prema sastavu i tlaku plina. Jezgra luka, kojom prolazi gotovo cijelokupna struja, zauzima oštvo ograničeni prostor promjera d . Ona je opkoljena uskim plaštem plina 2, u kojem se temperatura vrlo strmo spušta na 500...800 K. Zona 3 sastoji se uglavnom od pregrijane, a zona 4 od zasićene uljne pare. Mjeđur je ograničen tankim slojem tekućine 5 temperature vrelista, a

preostali dio ulja 6 nalazi se praktički na temperaturi okoline. Luk, prema tome, gori u plinovitom mediju koji se pretežno sastoji od vodika. Za odlična svojstva gašenja tog medija treba u prvom redu



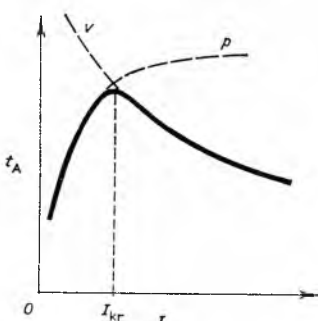
Sl. 17. Shematski presjek uljnog prekidača sa $n = 2$ prekidna mesta po fazi. 1 Pogonski mehanizam, 2 priključna stezaljka, 3 provodni izolator, 4 strujni transformator, 5 nepomični kontakt, 6 lučna komora, 7 izolaciona motka, 8 pomicni kontakt, 9 kotač prekidača, h visina ulja iznad kontakata, a hod kontakata, d najmanji razmak kontakata od stijene kotla



Sl. 18. Sastav i temperatura plinskog mjeđura. 1 Jezgra luka, 2 plasti plina, 3 pregrijana uljna para, 4 zasićena uljna para, 5 sloj tekućine na temperaturi vrelišta, 6 ulje, 7 kontakti

zahvaliti njegovoj visokoj toplinskoj vodljivosti i velikoj brzini difuzije čestica u njemu. Ovisno o konstrukciji aparata, toplina se iz luka odvodi bilo s njegove površine (*površinsko ili vanjsko hlađenje*) bilo iz njegove unutrašnjosti (*volumensko ili unutrašnje hlađenje*). Prvi je način tipičan za luk koji gori u mirnom mediju ili u sredstvu koje laminarno struji uz njegovu površinu, a drugi za luk s poprečnim ili vrtložnim strujanjem medija kroz čitav prostor što ga luk zauzima. Deionizacija rezidualnog stupca (v. str. 119) površinskim hlađenjem u vodiku naziva se vodikovim efektom. Količina plina i pare koja se u procesu prekidanja osloboda iz tekuće ili čvrste materije proporcionalna je energiji luka, a određuje se relacijom B. Bauera: $V_0 = c_0 W_A$, u kojoj je V_0 volumen plina reducirana na tlak 1 at i temperaturu 293 K, W_A energija luka, c_0 tzv. Bauerev koeficijent, koji za ulje ima vrijednost $60 \text{ cm}^3/\text{kWs}$ a za destiliranu vodu $5 \cdot 10 \text{ cm}^3/\text{kWs}$.

Odavde proizlazi da tlak i strujanje plina ovise o jakosti prekidačne struje, tj. da tekućinski prekidači imaju po pravilu *zavisnu*



Sl. 19. Trajanje luka t_A kao funkcija izmjerenične prekidačne struje I u aparatu sa zavisnom karakteristikom gašenja. p Površinsko hlađenje, v volumensko hlađenje, I_{kr} kritična struja

karakteristiku gašenja. U području manjih struja redovito prevladava površinsko hlađenje, a uz veće struje volumensko. Sl. 19 prikazuje ovisnost trajanja luka t_A o jakosti izmjerenične prekidačne struje I , pri čemu krivulja p odgovara površinskom, a krivulja v volumenskom hlađenju. Iz dijagrama se vidi da će aparat najčešće prekinuti neku kritičnu struju I_{kr} uz koju je trajanje luka najveće.

Analiza elementarnih procesa u rezidualnom stupcu luka. F. Kesselring i F. Koppelman proveli su računsku analizu elementarnih procesa u površinskoj hlađenju rezidualnom stupcu i pokazali da je iščezavanje nabijenih čestica za stupac početnog promjera od nekoliko milimetara prvenstveno uzrokovano ambipolarnom difuzijom. To znači da negativni elektroni difundiraju iz vrucog stupca povlačeci za sobom elektrostatickim silama pozitivne ione, a neutralni plin difundira u stupac. Ako je N srednja prostorna gustoća elektrona u stupcu (broj elektrona u jedinicama volumena), N_0 njena početna vrijednost u momentu gašenja luka, d početni promjer rezidualnog stupca, t vrijeme, a b_1 pokretljivost plinskih iona (tj. brzina po jedinici jakosti električnog polja), određena je vremenska promjena $N(t)$ jednadžbom

$$\ln N \approx \ln N_0 - 10 \cdot \frac{4}{\pi} b_1 U_e \frac{t}{d^2}. \quad (19)$$

Veličina U_e je elektronvoltni ekvivalent temperature, tj. razlika potencijala koju bi elektron morao preletjeti da bi se iz stanja mirovanja ubrzao do najvjerojatnije brzine čestica u vrucem stupcu temperature T . Uz ovu brzinu iznosi njegova kinetička energija

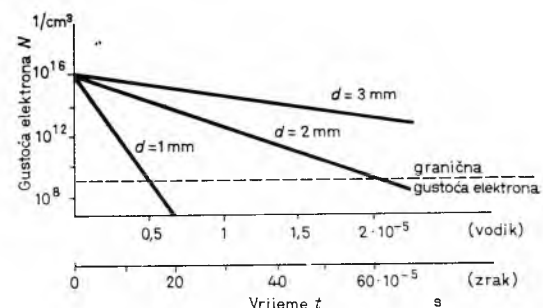
$$U_e e = k T,$$

gdje je e električni naboje elektrona, a k Boltzmannova konstanta. Ako se u tu jednadžbu uvrste brojčane vrijednosti $e = 1,6 \cdot 10^{-19} \text{ C}$ i $k = 1,38 \cdot 10^{-23} \text{ J/K}$, dobije se brojčana jednadžba

$$U_e = 8,63 \cdot 10^{-5} T, \quad (20)$$

iz koje se može izračunati napon U_e u voltima iz temperature T u kelvinima.

Funkciju $N(t)$ koja je izražena jednadžbom (19) prikazuju kosi pravci u sl. 20. Dijagram sl. 20 odgovara nekoj odabranoj početnoj vrijednosti N_0 (u slici $N_0 = 10^{16} \text{ cm}^{-3}$) i odabranoj temperaturi T (odn. njezinoj funkciji U_e). Zbog znatno veće pokretljivosti vodikovih iona smanjuje se koncentracija naboja mnogo brže u vodiku nego u zraku. U slici se vidi da će se brže deionizirati stupac manjeg početnog promjera d , koji odgovara manjoj prekidačnoj struci. Horizontalni crtkani pravac odgovara donjoj granici gustoće naboja od 10^8 elektrona po cm^3 , ispod koje više nema vjerojatnosti za ponovno paljenje luka.



Sl. 20. Deionizacija rezidualnog stupca difuzijom. N srednja prostorna gustoća elektrona, d početni promjer rezidualnog stupca, t vrijeme

Analogan utjecaj početnog promjera d i medija za gašenje vidi se u dijagramu sl. 21, koji prikazuje vremensku promjenu temperature T površinskoj hlađenju rezidualnog stupca u vodiku i zraku. Ispod 3000 K iščezava termička ionizacija, koja je glavni izvor elektrona, a hlađenjem se ujedno povećava probojna čvrstoća plina.

Pretpostavljajući da za plin u mjeđuru vrijede zakoni idealnih plinova, dobiva se da mjeđur u kotlu zauzima volumen

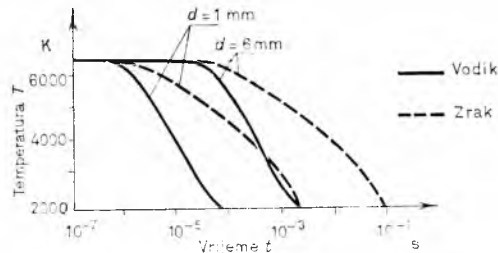
$$V = V_0 \cdot \frac{p_0}{p} \cdot \frac{T}{T_0},$$

ELEKTRIČNI SKLOPNI APARATI

gdje je p stvarni tlak i T stvarna temperatura plina, a p_0 i T_0 tlak i temperatura standardnog stanja (1 at i 293 K). Zbog toga se podiže razina ulja, te se prvotni volumen zračnog jastuka V_z smanjuje na iznos $V_z - V$, a tlak mu se povisi od početne vrijednosti p_0 na tlak mjeđuhra p (zanemareno je djelovanje hidrostatskog tlaka ulja). Uz konstantnu temperaturu zraka iznad ulja slijedi po Boyle-Mariotteovu zakonu:

$$p_0 V_z = p (V_z - V). \quad (21)$$

S pomoću relacije (21) određuje se volumen zračnog jastuka (u praksi 5...15% sadržine kotla) potreban da tlak u kotlu ne bi prekoračio dopušteni iznos p .



Sl. 21. Vremenska promjena temperature T rezidualnog stupca pri površinskom hlađenju. d Početni promjer rezidualnog stupca

Dimenzije uljnog prekidača ovise uglavnom o pogonskom naponu i prekidnoj moći. Za grubu aproksimaciju može poslužiti empirička formula P. Charpentiera:

$$P_1 = 240 v a \sqrt{h} \cdot \sqrt{\frac{n d}{400 + U_n}},$$

gdje je P_1 prekidna moć po fazi u VA, v brzina isklapanja u m/s, a hod kontakata u cm, h visina ulja iznad kontakata u cm, d najmanji razmak kontakata od stijene kotla u cm, n broj prekidnih mjesta po fazi, i U_n nazivni napon prekidača u V.

Mjere a , h , d označene su na sl. 17 za prekidač sa $n = 2$ prekidna mjesta po fazi. Formula se odnosi na aparate bez lučnih komora.

J. D. Hilliard i Parson već su 1908 predložili da se u klasične uljne prekidače ugrade izolacione lučne komore. Zbog visokog tlaka u komori (60...80 at) smanjuje se promjer luka i povećava probojna čvrstoća među kontaktima nakon gašenja. Nagla ekspanzija plinskog mjeđuhra nakon izlaska kontaktnog svornika iz komore dovodi do tzv. ekspanzionog efekta, koji povećava prekidnu moć. Usljed ekspanzije dolazi, naime, u nultočki struje do naglog pada tlaka u mjeđuhru, pa se vredni sloj tekućine na njegovoj površini (zona 5 u sl. 18) naglo ispari noseći sa sobom kapljice tekućine prema središtu. To ima za posljedicu intenzivno volumensko hlađenje rezidualnog stupca.

Uz relativno velike dimenzije i veliku težinu (~ 20 tona ulja po polu za napon 220 kV), najveći je nedostatak uljnih prekidača da eventualna eksplozija prekidača može imati veoma teške posljedice: mehaničko razaranje zgrade, požar koji se naglo širi uslijed zapaljenog mlaza ili potoka ulja itd. Neupaljive izolacione tekućine na bazi kloriranih difenila (cikličkih ugljikovodika) poznate pod zaštićenim nazivima Clophen, Inerteen, Pyranol, Askarel, koje se primjenjuju u gradnji transformatora i kondenzatora, ne mogu nadomjestiti ulje u prekidačima. Djelovanjem luka oslobadaju se iz tih tekućina plinovi koji su otrovni i uz to razaraju organske izolacije, a na vlažnim porculanskim izolatorima stvaraju vodljive slojeve.

Malouljni prekidači. S obzirom na njegova odlična svojstva, u novijem razvoju tekućinskih aparatova zadržalo se ulje kao sredstvo za gašenje, ali mu se količina nastoji svesti na najmanju mjeru. To je dovelo do malouljnih prekidača, u kojima su lučna komora i kontakti sistem svakog pola smješteni u posebnoj izolacionoj cijevi. Ova se cijev za aparatove unutarnje montaže izrađuje od motanih slojnih materijala (papira, tekstilnog i staklenog tkiva) s umjetnosmolnim vezivom (fenolnim, poliesterskim i epoksidnim smolama), a za vanjsku montažu upotrebljavaju se rebraste cijevi od porculana.

Postoje dva osnovna tipa tzv. krutih lučnih komora: komore s uzdužnim i komore s poprečnim strujanjem plina.

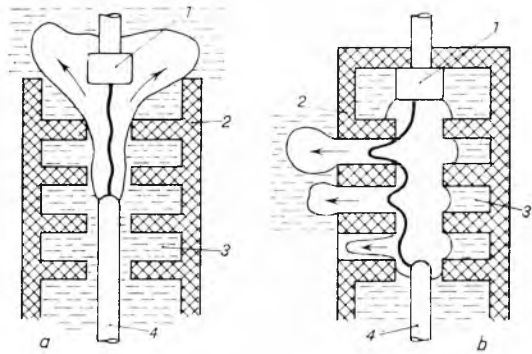
Presjek komore s uzdužnim (aksijalnim) strujanjem plina prikazuje shematski sl. 22 a, a presjek komore s poprečnim (transverzalnim) strujanjem plina sl. 22 b. Džepovi između horizontalnih pregrada zadržavaju ulje u neposrednoj blizini luka, što pogoduje hlađenju. U komorama s uzdužnim strujanjem prolaze plinovi kroz relativno uski centralni provrt u pregradama, stoga je tlak prilično visok i uz manje struje, pa se ove na taj način lako prekidaaju. Komore s poprečnim strujanjem imaju nekoliko poprečnih kanala, te je zbog većeg ukupnog presjeka za izlazak plinova tlak u komori niži. Ovaj je tip pogodniji za prekidanje većih struja. Prikladnim izborom broja i presjeka kanala i izvedbom komora s kombiniranim uzdužno-poprečnim strujanjem može se postići podjednako dobro prekidanje u čitavom području za koje je aparat građen.

Shematski presjek jedan pol malouljnog prekidača za vanjsku montažu vidi se u sl. 23.

Lučna komora 7 i kontakti sistem smješteni su u gornjem izolatoru 2. Struja glavnog kruga prolazi od gornje priključnice 1 kroz gornji nepomični kontakt 6 u pomični kontakt svornik 8, pa preko donjeg nepomičnog kontakta 9 i metalnoga kartera 10 na donju priključnicu 3. Prenosno polužje u karteru, kojim se pokreće kontakti svornik 8, mehanički je vezano s pogonskim osovinom 11 pomoću vertikalne izolacione motke u donjem izolatoru 4. Glavni osovinu 11 okreće opružni pogonski mehanizam, smješten u postolju 5. Pol je prekidača do gornjeg ruba lučne komore 7 napunjeno uljem, a iznad njega se nalazi zračni jastuk.

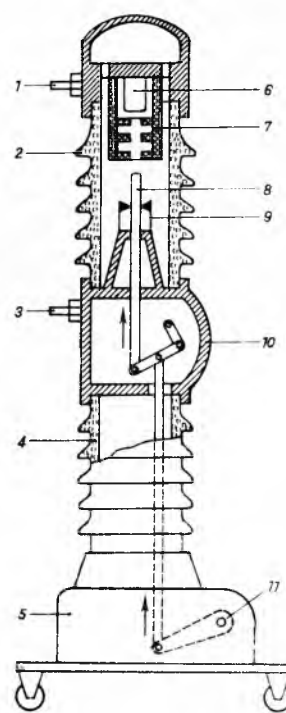
U malouljnim prekidačima ulje služi za gašenje luka i kao dielektrički među otvorenim kontaktima iste faze, a za izolaciju prema masi i među polovima služe čvrsti izolatori i zrak.

Široka primjena malouljnih prekidača dovela je do velikog broja tehničkih izvedbi lučne komore. Sl. 24 shematski prikazuje lučnu komoru s primarnim lukom. U uklopnom položaju potisnut je kontakti svornik 1 prema dolje. On potiskuje medukontakt 2 na nepomični donji kontakt 3. Izvlačenjem svornika 1 u procesu isklapanja otvaraju se najprije kontakti 2—3 u donjem dijelu komore jer medukontakt pod pritiskom svoje opruge slijedi kretanje svornika 1 prema gore. Stoga među kontaktima nastaje primarni luk, a njegov plin-



Sl. 22. Lučne komore malouljnih prekidača s uzdužnim strujanjem plina (a) i s poprečnim strujanjem plina (b). 1 Gornji nepomični kontakt, 2 lučna komora, 3 ulje, 4 kontaktni svornik

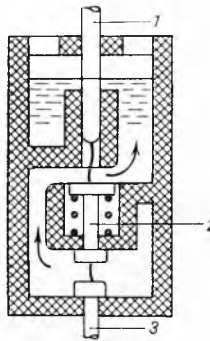
talnih pregrada zadržavaju ulje u neposrednoj blizini luka, što pogoduje hlađenju. U komorama s uzdužnim strujanjem prolaze plinovi kroz relativno uski centralni provrt u pregradama, stoga je tlak prilično visok i uz manje struje, pa se ove na taj način lako prekidaaju. Komore s poprečnim strujanjem imaju nekoliko poprečnih kanala, te je zbog većeg ukupnog presjeka za izlazak plinova tlak u komori niži. Ovaj je tip pogodniji za prekidanje većih struja. Prikladnim izborom broja i presjeka kanala i izvedbom komora s kombiniranim uzdužno-poprečnim strujanjem može se postići podjednako dobro prekidanje u čitavom području za koje je aparat građen.



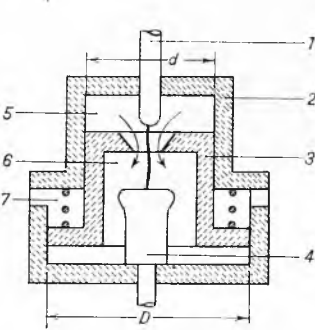
Sl. 23. Shematski prikaz malouljnog prekidača. 1 Gornja priključnica, 2 gornji izolator, 3 donja priključnica, 4 donji izolator, 5 postolje s pogonskim mehanizmom, 6 gornji nepomični kontakt, 7 lučna komora, 8 kontaktni svornik, 9 donji nepomični kontakt, 10 karter, 11 pogonska osovina

lukom. U uklopnom položaju potisnut je kontakti svornik 1 prema dolje. On potiskuje medukontakt 2 na nepomični donji kontakt 3. Izvlačenjem svornika 1 u procesu isklapanja otvaraju se najprije kontakti 2—3 u donjem dijelu komore jer medukontakt pod pritiskom svoje opruge slijedi kretanje svornika 1 prema gore. Stoga među kontaktima nastaje primarni luk, a njegov plin-

ski mjeđuh r tjer ulje u gornji dio komore. Kad međukontakt stigne u gornji granični položaj, odvoji se od njega kontaktni svornik, te se među njima stvori sekundarni luk, koji se gasi dje-lovanjem poprečnog mlaza ulja.



Sl. 24. Lučna komora s primarnim lukom. 1 Kontaktni svornik, 2 međukontakt, 3 čvrsti donji kontakt

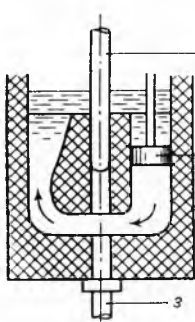


Sl. 25. Komora s diferencijalnim klipom. 1 Kontaktni svornik, 2 kućište lučne komore, 3 diferencijalni klip, 4 čvrsti kontakt, 5 gornji uljni prostor, 6 donji uljni prostor, 7 prostor za tlačnu oprugu

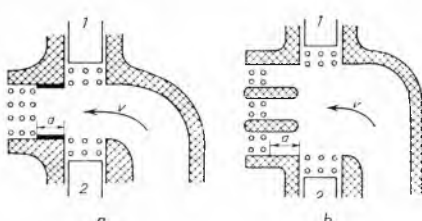
Lučna komora s diferencijalnim klipom, prikazana u sl. 25., radi na principu aksijalnog strujanja. U kućištu komore 2 nalazi se diferencijalni klip 3 s većom donjom i manjom gornjom plohom. Pri izlasku kontaktog svornika 1 iz nepomičnoga kontakta 4 pojavi se luk, koji u prostoru iznad i ispod klipa stvara jednak tlak p . Time nastaje rezultantna sila $F = p(D^2 - d^2) \pi/4$, koja podiže klip protjeru ulje iz gornjeg prostora 5 kroz centralni provrt klipa u donji prostor 6 neposredno uz luk. Tlačna opruga u prostoru 7 vraća nakon gašenja luka diferencijalni klip u donji položaj.

Impulsni prekidači (sl. 26) idu za razliku od dosad opisanih malouljnih aparata sa zavisnom karakteristikom gašenja u aparatu s poprečnim uljnim mlazom koji je nezavisan od jakosti struje.

U njihovoj lučnoj komori mehanički pokretani stup 2 tjer ulja okomitno na luk koji se javlja među kontaktima 1 i 3. Rad im se osniva na teoriji pomaka ili poprečnog mlaza, koju je 1931 postavio D. C. Prince. On je mjerjenjima na eksperimentalnoj komori ustanovio da dopuštena strmina povratnog napona koju aparat podnosi bez ponovnog paljenja raste proporcionalno s brzinom uljnog mlaza. Taj se rezultat može objasniti na temelju sl. 27 a. Srednji dio vertikalnog rezidualnog stupca potisnut je djelovanjem horizontalnog mlaza uljevo, dok su njegovi krajevi zaostali u vertikalnom kanalu uz kontakte 1 i 2. Prostor među dijelovima stupca ispunjen je svježim medijem velike proborne čvrstoće E_d . Uz brzinu mlaza v u određen je pomak srednjeg dijela stupca a u vremenu t izrazom $a = vt$. Da bi se luk ponovo upadio, moralo bi među dijelovima stupca doći do proboga duž dvije (debelim crtama označene) horizontalne staze ukupne



Sl. 26. Impulsna komora s mehaničkim potiskivanjem ulja. 1 Kontaktni svornik, 2 stup, 3 čvrsti kontakt



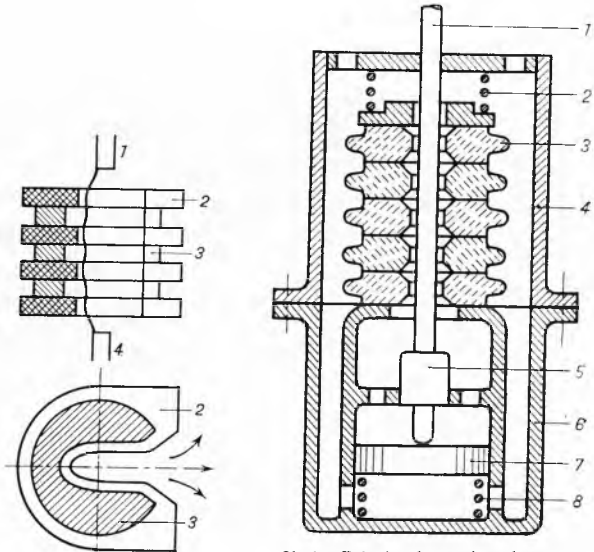
Sl. 27. Gašenje luka prema teoriji pomaka. 1 i 2 kontakti prekidača

duljine 2 a. Prema tome dosije proborni napon lučne komore u trenutku t vrijednost

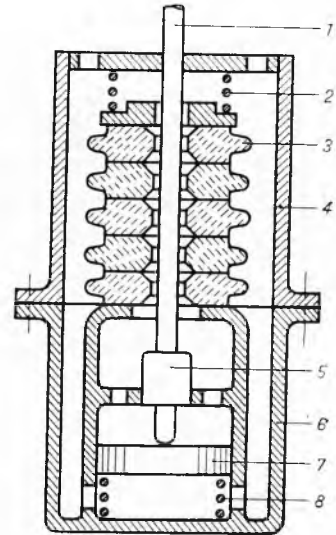
$$u_d = E_d \cdot 2a = 2E_d v t.$$

Ako povrtni napon u_p raste s vremenom linearno po zakonu $u_p = s t$, tj. ako je s konstantna brzina njegova rasta, treba za sprečavanje ponovnog paljenja ispuniti uvjet $u_d > u_p$, tj. postići brzinu uljnog mlaza $v > s/2E_d$. Za više napone dijeli se izlazni horizontalni kanal pomoću izolacionih rebara na n paralelnih otvora (sl. 27 b) jer se time povećava ukupna duljina probojnih staza na iznos $2na$.

Komore s magnetskim potiskivanjem luka razvila je za uljne prekidače američka firma Westinghouse. One se upotrebljavaju i u tehnički malouljnih prekidača. Ovaj sistem, nazvan također deion-rešetkom, prikazuje sl. 28. Komora se sastoji od niza izolacionih pločica 2 s radijalnim rasporom, među kojima su umetnuti potkovasti željezni limovi 3. Ovi se magnetiziraju pod utjecajem struje luka koji gori među kontaktima 1 i 4. Njihovo magnetsko polje uvlači luk dublje u raspore komore, a razvijeni plinovi i ulje struje iz raspore poprečno na luk te ga time hlađe i gase.



Sl. 28. Ulijna deion-komora s magnetskim uvlačenjem luka. 1 i 4 Kontakti, 2 izolacione ploče, 3 željezni limovi



Sl. 29. Princip ekspanzione komore s ubrizgavanjem tekućine. 1 Kontaktni svornik, 2 tlačna opruga, 3 izolacioni prstenasti segmenti, 4 izolaciona cijev, 5 nepomični kontakt, 6 metalni karter, 7 stup za ubrizgavanje ulja, 8 tlačna opruga

Ekspanzionni malouljni prekidači firme Siemens imaju elastične lučne komore prema sl. 29.

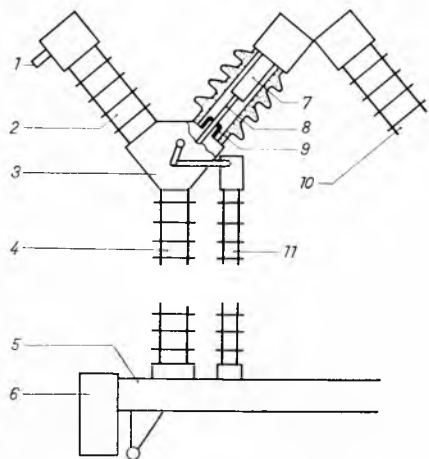
Izolaciona cijev 4 sadrži nekoliko izolacionih prstena 3, stlačenih oprugom 2. Kad pomični kontaktni svornik 1 napusti tulipanski kontakt 5 (nazvan također po obliku sličan cvjetu tulipana), stvari se u ulju plinski mjeđuh. Ako tlak plina nadvlači silu opruge 2, razmaknu se prstenasti segmenti, te među njima prostruje plin i tekućina u vanjski prostor komore. Na taj se način unjetno pojačava ekspanzioni efekt naglim proširenjem plinskog mjeđuh. Izvlačenjem svornika 1 podiže se i stup za ubrizgavanje tekućine 7, pritisnut oprugom 8. Time se pojačava deionizacija u kritičnom području malih struja i na taj način ispravlja inače zavisna karakteristika gašenja.

Sistemi višestrukog prekidanja primjenjuju se sve više za napone iznad 123 kV. Jednu od karakterističnih izvedbi prekidača ove vrste s komorama u obliku slova V prikazuje shematski sl. 30.

Po dva prekidna elementa u porculanskim cijevima 2 montirana su u obliku slova V na metalni karter 3, smješten na vrhu potpornog izolatora 4. Obu su elementa vezana u seriju, a u svakom se nalaze lučne komore 7 sa nepomičnim lučnim kontaktima, pomični kontaktni svornik 8 i klizići kontakti 9. Prekidni elementi i karter napunjeni su uljem. Pogonski mechanizam 6 napinje uklonje i sklopne opruge, te poluzjemu u postolju 5 zakreće porculansku osovinu 11. Njena se rotacija preko polugu u karteru pretvara u linearno kretanje kontaktnih svornika 8 u oba eleminta. Izlazak svornika 8 iz lučnih kontakata osloboda klipove za aksijalno ubrizgavanje ulja, analogno onima u sl. 29. Pojedini je prekidni elementi građen za fazni napon od $40/13$ kV, te prekidač sa 5 potpornih izolatora po fazi (10 elemenata u seriji) odgovara nazivnom linijskom naponu od 420 kV. U slici je elementom 10 naznačen početak druge grupe u V-spoju. Struja prolazi od priključnice 1 preko lijevog elementa 2 i kartera 3 u desni element (9-8-7) i dalje u slijedeću grupu 10 do izlazne priključnice na posljednjem elementu.

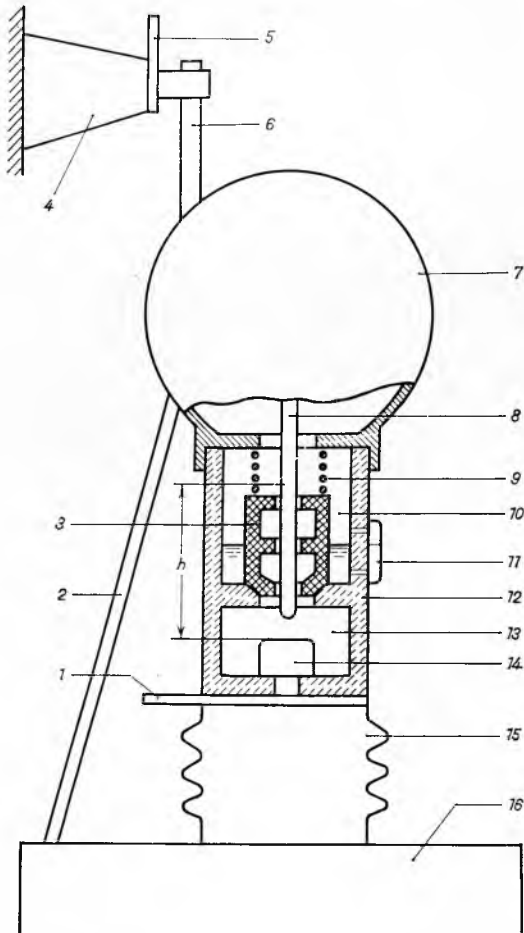
Hidromatski prekidači. Nastojanje da se ulje zamjeni neupaljivom tekućinom dovelo je do konstrukcije hidromatskih prekidača s ekspanzionim komorama, koje je firma Siemens razvila za napone do 72 kV. U njima kao sredstvo za gašenje služi destilirana voda s dodatkom glikola, tzv. »ekspanzin« ili »hidrin«, koji snizuje ledište tekućine i povećava Bauerov koeficijent (v. str. 123). Za

ELEKTRIČNI SKLOPNI APARATI



Sl. 30. Malouljni prekidač s višestrukim prekidom. 1 Prikličnica, 2 porculanska cijev s prekidnim elementom, 3 prenosno polužje, 4 potporni izolator, 5 postolje s polužjem, 6 pogonski mehanizam, 7 lučna komora, 8 kontaktni svornik, 9 klini kontakt, 10 početak druge grupe u V-spoju, 11 porculanska osovina

razliku od ulja, hidrin se ne može upotrijebiti kao izolator, jer ne osigurava potrebnu probojnu čvrstoću između kontakata, pa hidromatski prekidači moraju u seriji s lučnom komorom imati poseban rastavni nož u zraku, koji se brzo otvara nakon gašenja luka. Princip aparata za napone do 12 kV prikazuje sl. 31.

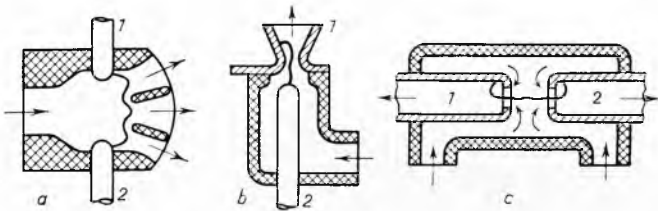


Sl. 31. Hidromatski prekidač za 12 kV. 1 Donja priključnica, 2 izolaciona motka, 3 izolacioni klip, 4 izolator, 5 gornja priključnica, 6 rastavni nož, 7 metalna glava, 8 kontaktni svornik, 9 opruga, 10 gornji dio komore, 11 pokazivač hidrina, 12 izolaciona cijev s lučnom komorom, 13 donji dio komore, 14 nepomični kontakt, 15 porculanski izolator, 16 zajedničko postolje s pogonskim mehanizmom, h puni razmak kontakata

Zajedničko postolje 16 s ugradenim pogonskim mehanizmom nosi tri pola prekidača, koji se sastoje od porculanskih izolatora 15, izolacionih cijevi 12 s lučnim komoramama i metalnih glava 7 s rastavnim nožem 6. Pogonski mehanizam vezan je izolacionom motkom 2 na polužje u glavi 7 koje određenim redom prenosi kretanje na kontaktne svornike 8 i nož 6. Glavni se krug prekidača sastoji od gornje priključnice 5 sa čvrstim kontaktom na izolatoru 4, rastavneg noža 6 koji je pomoći vertikalnih vodilica i kontaktnih koluta u glavi 7 vezan s pomičnim kontaktom 8, "stupljanskoga" kontakta 14 sa donje priključnice 1. Djelovanjem luka među kontaktima 8 i 14 raste tlak u donjem dijelu komore 13, dok ne nadvlađa silu opruge 9. U tom se trenutku podigne izolacioni klip 3, te se plinski mješav naglo proširi u gornji dio komore 10, što dovodi do već opisanog ekspanzionog efekta. Pretežni se dio isparene tekućine kondenzira u glavi 7 i vraća u komoru, čime se smanjuje njen trošenje. Količina tekućine nadzire se pokazivačem hidrina 11. Pri isklupu se najprije otvore kontakti komore na puni razmak h, a zatim rastavni nož. Uklap se vrši obrnutim redom.

Budući da se hidrin ne karbonizira djelovanjem luka, on je pogodniji od ulja za veliku učestalost sklapanja.

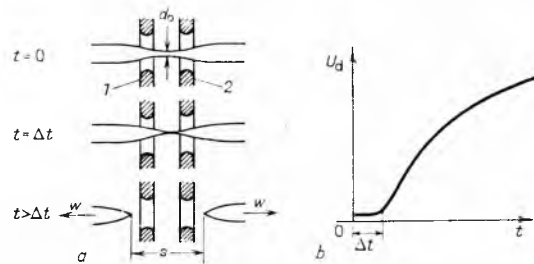
Pneumatski prekidači su aparati s nezavisnom karakteristikom gašenja, kojima se za gašenje dovodi komprimirani zrak iz posebnog rezervoara. Postoje tri osnovna principa takvih lučnih komora: komore s poprečnim, uzdužnim i radikalnim mlazom zraka. Sl. 32 a odnosi se na sistem s poprečnim mlazom zraka. Zrak ulazi u smjeru strelice, te prolazeći poprečno kroz luk izlazi iz komore među izolacionim pregradama. Ubrzani porast električne čvrstoće među kontaktima 1 i 2 objašnjava se prije opisanom teorijom pomaka. Sl. 32 b prikazuje komoru s uzdužnim mlazom,



Sl. 32. Lučne komore pneumatskih prekidača. a) Komora s poprečnim mlazom, b) komora s uzdužnim mlazom, c) komora s radikalnim mlazom; 1 i 2 kontakti. Strelice pokazuju smjer mlaza zraka

u kojoj je nepomični kontakt 1 izveden u obliku sapnice. Primjena obaju sistema većinom je ograničena na niže napone (do 15 kV). Za više napone i velike prekidne struje veoma je raširena primjena lučnih komora s radikalnim strujanjem prema sl. 32 c. Mlaz koji struji koncentrično prema luku razdvaja se u dva suprotna uzdužna mlaza i izlazi iz komore kroz šupljie kontakte 1 i 2. Zračna struja prebacuje korijene luka na unutarnju stranu kontakata, pa im se čeone dodirne plohe neznatno oštećuju. Proces gašenja u takvom sistemu može se objasniti nešto modificiranom teorijom pomaka, kako je izvedeno u nastavku.

Sl. 33 a prikazuje susjedne krajove šupljih kontakata i rezidualni stupac luka u tri uzastopna trenutka. U trenutku gašenja $t = 0$ stupac je zbog najveće radikalne komponente strujanja u centralnom dijelu sužen na manji promjer d_0 . Nakon kraćeg intervala Δt



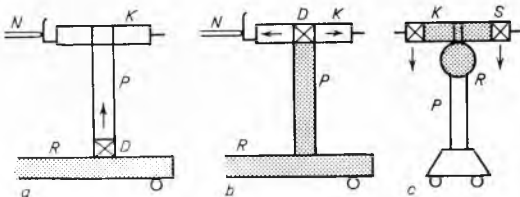
Sl. 33. Uspostavljanje električne čvrstoće u pneumatskoj komori. a) Shematski prikaz šupljih kontakata i rezidualnog stupca, b) ovisnost probognog napona među kontaktima U_d o vremenu; 1 i 2 šuplji kontakti, d_0 smanjeni promjer stupca u trenutku gašenja, s razmak dijelova rezidualnog stupca, w brzina strujanja

promjer se smanji na nulu, a stupac se cijepa u dva dijela, koji se nošeni strujom zraka počinju odvajati jedan od drugoga dvostrukom brzinom strujanja $2w$. Razmak među njima raste po zakonu $s = 2w(t - \Delta t)$; ovisno o razmaku raste i probogni napon U_d koji se uspostavlja među kontaktima. Vremensku promjenu $U_d(t)$ pokazuju dijagram u sl. 33 b. Trajanje intervala Δt određeno je poluempirijskom relacijom

$$\Delta t = 0,17 \frac{\delta}{2w_r} \left(\frac{\omega I_m \delta}{2w_r} \right)^{1,7},$$

u kojoj je Δt u s, $\delta \approx 2 \cdot 10^{-5}$ m/A^{0,63}, w_r radijalna komponenta brzine zraka u ms⁻¹, ω kružna frekvencija struje u s⁻¹, I_m amplituda prekidne struje u A. Veličina w_r iznosi 5...10% aksijalne brzine w .

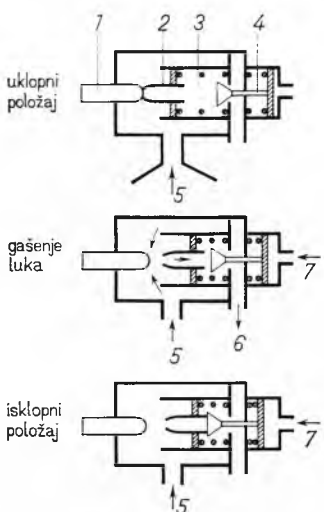
Da bi se ubrzala eliminacija kvara u mreži, nastojala se akumulirana količina zraka dovesti što bliže kontaktima. U sl. 34 naznačene su tri etape takva razvoja. U starijim konstrukcijama nalazi se glavni dovodni ventil D na samom rezervoaru R u podnožju polova prekidača, te nakon otvaranja ventila treba relativno mnogo vremena da se potporni izolatori P napune zrakom i da se tlak u komori K povisi na potrebitni iznos (sl. 34 a). Zato je u novijim izvedbama glavni ventil podignut na visinu same komore, koja se u oba spomenuta slučaja nalazi pod visokim tlakom samo za vrijeme gašenja, a inače je pod atmosferskim tlakom (sl. 34 b). Budući da zrak od 1 atm ne može osigurati dovoljnu probojnu čvrstoću uz relativno male kontaktne razmake, ovakvi prekidači imaju posebne rastavne noževe N koji se otvaraju nakon gašenja



Sl. 34. Napajanje lučne komore komprimiranim zrakom: a) kroz ventil na podnožju, b) kroz ventil na komori, c) bez ventila (komora pod stalnim pritiskom); D dovodni ventil, K lučna komora, N rastavni nož, P potporni izolator, S ispušni ventil

luka. Aparati s komorama pod stalnim tlakom nemaju ni dovodnih ventila ni rastavnih noževa (sl. 34 c). Strujanjem zraka za gašenje upravlja se pomoću ispušnih ventila S na krajevima komora.

Princip rada lučne komore pod stalnim tlakom razabire se iz sl. 35.

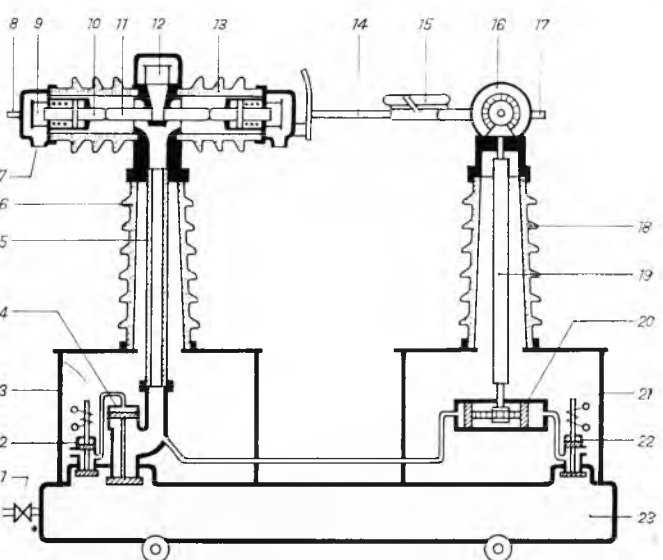


Sl. 35. Lučna komora pod stalnim tlakom. 1 Nepomični kontakt, 2 šupljji pomični kontakt, 3 cilindar nepomičnog kontaktika, 4 ispušni ventil, 5 ulaz svježeg zraka iz kotla, 6 ispušni, 7 impuls za prekidanje

se izjednači tlak s obje strane klipa na kontaktu 2, potisne ga opruga u lijevi (uklopljeni) položaj.

Sl. 36 prikazuje shematski presjek jednog pola prekidača s lučnim komorama koje se nalaze pod tlakom samo za vrijeme gašenja.

Postolje se sastoji od rezervoara zraka 23 i dva kučića 3 i 21 s ugradenim upravljačkim i pogonskim uređajima. Na lijevom je izolatoru 6 lučna komora 13, a na desnom je izolatoru 18 zupčani prenos 16 rastavnog noža. Između priključnica 8 i 17 leži glavni krug prekidača, koji se sastoji od rastavnog noža 14 i dvije lučne komore s pomičnim glavnim kontaktom 10 i nepomičnim glavnim kontaktom 11. Kratkotrajnim se otvaranjem glavnih kontaktata prekida struja u krugu, a naknadnim zakretanjem rastavnog noža u vertikalni položaj osigurava se trajni dielektrični razmak. Uklop se vrši brzim zatvaranjem rastavnog noža.

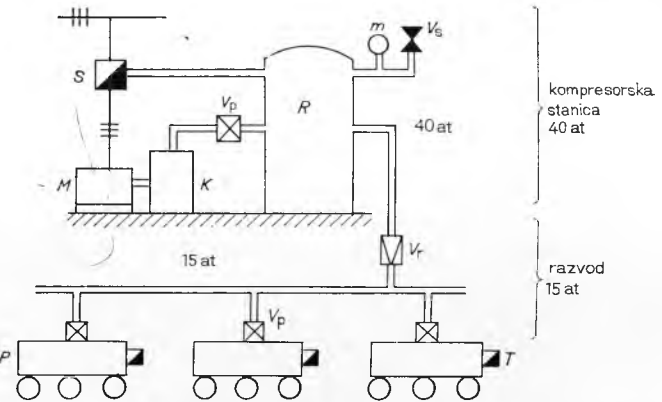


Sl. 36. Shematski presjek pneumatskog prekidača. 1 Povratni ventil, 2 iskljenični elektroventil, 3 kučići, 4 glavni ventil, 5 porculanska cijev, 6 izolator, 7 ispušni otvor, 8 priključnici, 9 bočni deionizator ispušnih plinova, 10 pomični šupljji kontakt, 11 nepomični šupljji kontakt, 12 srednji deionizator, 13 lučna komora, 14 rastavni nož, 15 ledolomna naprava, 16 zupčani prenos rastavnog noža, 17 priključnica, 18 izolator, 19 porculansko vreteno, 20 pogonski cilindar, 21 kučići, 22 unutrašnjost elektroventila, 23 rezervoar zraka

Aparat se povratnim ventilom 1 priključuje na razvod komprimiranog zraka (npr. 15 at) koji služi i za pokretanje kontaktata i za gašenje luka. Električni upravljački impuls dovodi se magnetskom svituškom iskljeničnog elektroventila 2 ili unutrašnjem elektroventilu 22. Otvaranjem elektroventila za isklapanje dovodi se tlak iz kotla u gornju stranu glavnog ventila 4, koji propusti veliku količinu zraka kroz cijev 5 u lučnu komoru. Pošto je nadvlačao kontaktne opruge, zrak prolazi kroz odvojene šupljje kontakte 10 i 11 i metalne mreže za deionizaciju ispušnih plinova 9 i 12, te izlazi u atmosferu kroz ispušne otvore na krajevima komora 7 i u središnjem dijelu. Iz koljena glavnog ventila odlazi tankom cijevi manja količina zraka u lijevu stranu pogonskog cilindra 20. Njegov se step pokrene udesno, te putem zupčanica i zupčanika zakrene porculansko vreteno 19. Stožnici u glavi 16 prenose kretanje na rastavni nož 14, koji se otvara nekoliko poluperioda pošto se ugasio luk. Posebnom ledolomnom napravom 15 može se rastavni nož saviti oko zgloba i tako izvući iz eventualno zaledenih kontaktata.

Za uklapanje dovodi se impuls svituškom unutrašnjem elektroventilu 22, koji propusti zrak u desnu stranu pogonskog cilindra 20. Pomak stapa ulijevu prenosu se već opisanim načinom na rastavni nož, te se on velikom brzinom zatvori.

Snabdijevanje prekidača komprimiranim zrakom pokazuje načelna shema u sl. 37. Kompresor K tlači zrak u centralni rezervoar R visokog tlaka (npr. 40 atm). Nakon redukcije na pogonski tlak (npr. 15 atm) zrak se razvodi do niza prekidača P. Tlačna sklopka S automatski uspostavlja ili prekida spoj između elektromotora M i mreže na takav način da tlak u kotlu R ostane stalno među odabranim granicama (npr. 38...40 atm). Tlačni relaji T mijere tlak u kotlovima pojedinih prekidača, a kontakti su im vezani sa svicima upravljačkih elektroventila 2 i 22 u sl. 36. Ako tlak uslijed kvara padne ispod dopuštenih granica (npr. 12 atm), relaj će, ovisno o načinu spoja, ili automatski otvoriti prekidač ili blokirati ga u zatečenom položaju. Funkcija ostalih dijelova uređaja vidi se iz podataka u slici. Poželjno je da omjer redukcije tlaka bude što

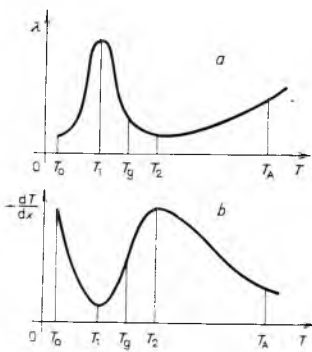


Sl. 37. Shema instalacije komprimiranog zraka. M elektromotor, K kompresor, R centralni rezervoar, P prekidači, S tlačna sklopka, m manometar, V_p povratni ventil, V_r reducirni ventil, Vs sigurnosni ventil, T tlačni relaj

veći, no svakako veći od 2 : 1, jer se time smanjuje vlažnost zraka u razvodnom sistemu.

Prekidač sa sumpornim heksafluoridom. Sve šira primjena ovih prekidača, razvijenih oko 1950., osniva se na dobrom svojstvima sumpornog heksafluorida (SF_6) kao sredstva za gašenje luka i kao dielektrika.

Sumporni heksafluorid kao sredstvo za gašenje luka. Plin SF_6 ubraja se u grupu plinova koji imaju velik afinitet prema negativnim nabojima te »upijaju« slobodne elektrone iz plazme, vežući ih za svoje neutralne molekule i disocijacijom nastale atome. Takvim *zahvatom elektrona* nastaju teško pokretljivi negativni ioni, koji se u prostoru među kontaktima praktički vladaju kao dielektrik. Pojavom zahvata u znatnoj se mjeri smanjuje vremenska konstanta, jer zbog naglog pretvaranja vanjskih slojeva lučne plazme u praktički nevodljivi plasti od tromih iona preostaje u njegovoj osi rezidualni stupac ekstremno malog početnog promjera, a time i male akumulirane energije. Smanjivanju presjeka stupca u SF_6 pridonosi i činjenica da njegova toplinska vodljivost ovisi o temperaturi na način koji u načelu pokazuje sl. 38 a. Iz dijagrama se vidi

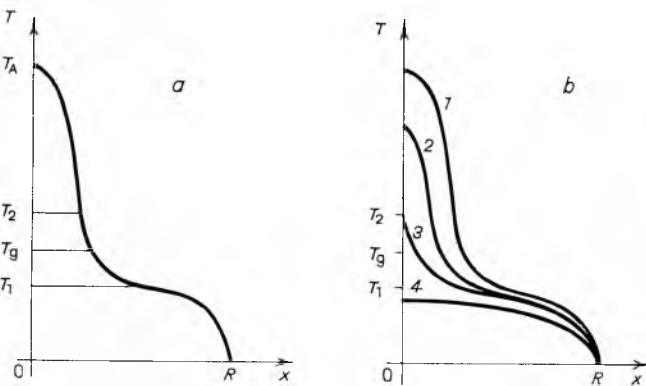


Sl. 38. Ovisnost toplinske vodljivosti λ i gradijenta temperature dT/dx lučnog stupca u SF_6 o temperaturi. T_A temperatura u osi stupca, T_0 temperatura na stijenki lučne komore, T_g temperatura gašenja, T_1 temperatura koja odgovara λ_{\max} , T_2 temperatura koja odgovara λ_{\min}

polumjera R) prolazi kroz medij različite toplinske vodljivosti λ .

Toplinska snaga P koja iz lučnog stupca duljine l izlazi kroz cilindrični sloj polumjera x , debljine dx i površine $S = 2\pi x l$ - proizvodi u tom sloju radikalni pad temperature dT s negativnim gradijentom dT/dx prema jednadžbi

$$\frac{dT}{dx} = -\frac{P}{\lambda S} = -\frac{P}{\lambda \cdot 2\pi x l}.$$



Sl. 39. Temperaturni profil luka u SF_6 unutar hladne cijevi polumjera R . T_A temperatura u osi stupca, T_g temperatura gašenja luka, T_1 temperatura koja odgovara λ_{\max} , T_2 temperatura koja odgovara λ_{\min} ; 1...4 različiti temperaturni profili u toku hladjenja

Uz aproksimaciju da je toplina razvijena u stupcu unutar plasti polumjera x razmjerna polumjeru i duljini lučnog stupca, dakle $P/x l = \text{konst.}$, a prema tome toplinska snaga kroz jedinicu po-

vršine $P/S = \text{konst.}$, slijedi

$$\frac{dT}{dx} \approx -\frac{\text{konst.}}{\lambda}.$$

Na temelju tog izraza dobiva se iz krivulje $\lambda(T)$ dijagram u sl. 38 b. Njemu odgovara temperaturni profil $T(x)$ rezidualnog stupca u trenutku gašenja prema krivulji sl. 39 a. Na slici 39 b prikazuju krivulje 1...4 uzastopne promjene profila $T(x)$ u toku hladjenja.

Istraživanja pomoću spektrografa masa pokazuju da u posljednjem poluvalu struje luka, tek nekoliko mikrosekundi prije njenog prolaza kroz nulu, počinje naglo rasti udio struje negativnih iona (F_2^-, SF^- , F^-) uzrokovani pojačanim efektom zahvata elektrona. Time se objašnjava ekstremno mala vremenska konstanta luka u nultočki struje, koja se prema nekim podacima spušta do $10^{-1} \mu\text{s}$ za mirni plin i do $10^{-3} \mu\text{s}$ za SF_6 koji struji brzinom zvuka.

Sumporni heksafluorid kao dielektrik. SF_6 ima odlična dielektrična svojstva. Njegova je probajna čvrstoća uz atmosferski tlak $\sim 30\%$ manja, a uz absolutni tlak 2,3 at $\sim 15\%$ veća od probajne čvrstoće ulja. Usporedbu dielektričnih svojstava dušika i SF_6 daje tablica 1.

Tablica 1
PROBOJNI NAPON ZA N_2 I SF_6 U KV

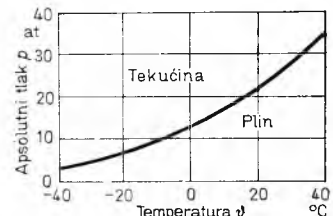
$\frac{p \cdot d}{\text{kp/cm}^2 \cdot \text{mm}}$	10	20	30	40	50
N_2	25	55	80	100	118
SF_6	77	146	203	250	294

Probajni napon mjerjen strujom 60 Hz i kuglastim iskrištem 5 cm uz različite umnoške tlaka plina p i razmaka elektroda d

Zbog opisanih deionizacionih i dielektričkih svojstava mogu se u SF_6 , uz inače jednake uvjete, prekidati ~ 100 puta veće struje nego u zraku. To omogućava gradnju aparata relativno malih dimenzija za vrlo velike snage kratkog spoja, ali pri konstrukciji treba uzeti u obzir i neke specifične karakteristike plina.

Druga fizička i kemijska svojstva sumpornog heksafluorida. SF_6 je bezbojan i neutrovan plin bez mirisa, neupaljiv i inertan: ne reagira s vodom niti napada bilo koji materijal na temperaturi do 500°C . Pod djelovanjem električnog luka u vrlo se malo mjeri raspada u niže fluoride, koji su otrovni i agresivni prema nekim izolacijama i metalima. Njihovo se korozivno djelovanje pojačava visokom temperaturom i prisustvom vlage. Proizvodi disocijacije lako se odstranjuju pomoću filtera s aktivnim aluminijum-oksidom (Al_2O_3).

Uz jednaku temperaturu plin SF_6 prelazi iz plinovitog u tekuće stanje pod znatno nižim tlakom nego zrak. Zato u aparatne vanjske montaže koji rade s povišenim tlakom treba ugraditi električne grijalice. Krivulju ravnotežnog napona para sumpornog heksafluorida prikazuje sl. 40. Pod atmosferskim tlakom i na temperaturi 20°C SF_6 ima ~ 5 puta veću gustoću nego zrak. To omogućuje da se prekidač puni plinom kroz otvor u donjem dijelu, pri čemu iz gornjeg otvora izlazi zrak.

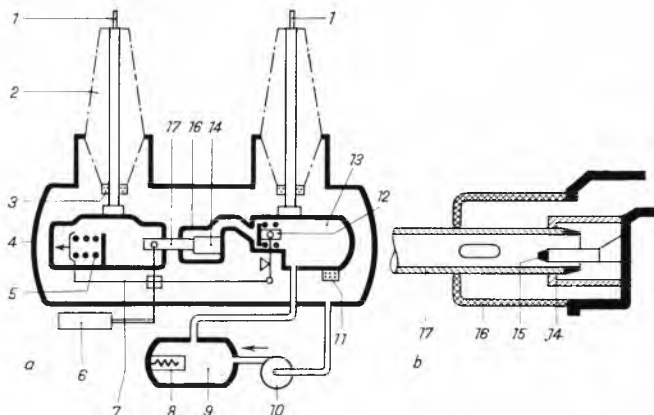


Sl. 40. Krivulja ravnotežnog napona para sumpornog heksafluorida (SF₆) u odnosu na zrak (Plin)

Funkcija dvovlačnog prekidača sa sumpornim heksafluoridom može se objasniti na osnovi shematske slike 41 a.

Aparat sačinjava hermetički zatvoren sistem. Bitni dijelovi aparata smješteni su u čeličnom kotlu 4, koji je napunjeno plinom niskog pretlaka (2 at). Iz njega se plin pomoću kompresora 10 tlači u pomoćni kotao 9 pod pretlakom od 14 at i s njime spojeni glavni kotao 13. Da se sprijeći kondenzacija plina, u visokotlačnom se dijelu nalazi automatski upravljanji grijач 8. Glavni strujni krug prolazi od lijeve priključnice 1 kroz šupljii provodni izolator 2 ispunjen plinom, pomični kontakt 17 i nepomični kontakt 14 na stijenku glavnoga kotla 13 i desnu priključnicu. Za uklapanje služi pogonski cilindar 6, koji je preko slobodne spojke vezan s pogonskim poluzidom 7, te njime pomiče udesno kontakt 17 i napinje isklupnu oprugu 5. Oslabljanjem te opruge vrši se iskop na taj način što se pomakom poluzida 7 ulijevno otvor u ventil 12 i rastave kontakti 17, 14. Pri tome prostrui SF_6 iz visokotlačnog kotla 13 u teflonsku lučnu komoru 16, te kroz šupljii kontakt 17 vraca u niskotlačni rezervoar 4. Električni luk gori među sinterovanim krajevima pomicnoga kontakta 17 i lučnu komu-

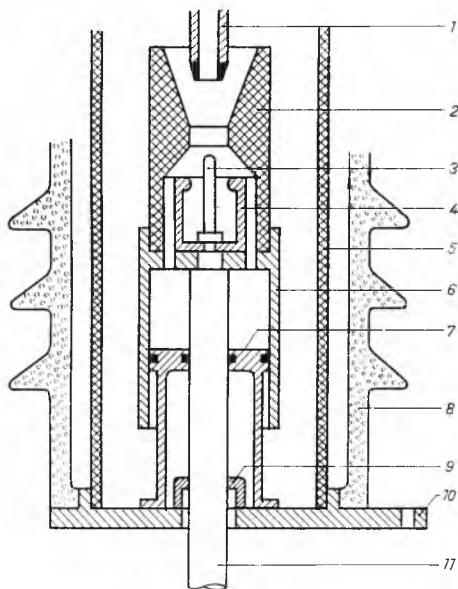
takta 15 (v. detalj na sl. 41 b), da bi dodirne plohe za trajno vođenje struje ostale neoštećene. Da bi se iz kotla odstranili produkti disocijacije plina i spriječio njihov ulazak u provodne izolatore, ugrađeni su filtri 11 i 3 s aktivnim aluminijum-oksidom.



Sl. 41. Dvotlačni prekidač sa sumpornim heksafluoridom. a) Shematski prikaz, b) detalj lučne komore; 1 priključnica, 2 provodni izolator, 3 filter Al_2O_3 , 4 kotao (pretlak 2 at), 5 isklopna opruga, 6 pogonsko polje, 7 pogonsko ulje, 8 grijac, 9 pomoći kotao (pretlak 14 at), 10 kompresor za SF_6 , 11 filter Al_2O_3 , 12 ventil, 13 glavni kotao (pretlak 14 at), 14 nepomični glavni kontakt, 15 nepomični lučni kontakt, 16 lučna komora od teflona, 17 pomicni kontakt

U nastojanju da se smanji cijena prekidača, na koju znatno utječe kompresori i grijaci s pripadnom automatičkom, razvijeni su za umjerene snage kratkog spoja jednoilačni aparati niskog tlaka.

Sl. 42 pokazuje lučnu komoru takva aparata, u kojoj je hermetički zatvoren SF_6 pod pretlakom od 4 at na 20°C . S promjenom temperature njegov se pretlak mijenja od 3 at na -30°C do 4,5 at na 50°C ; u tom području ne može doći do kondenzacije. Aparat djeluje na autopneumatskom principu, te u momentu prekidanja proizvodi prisilno strujanje plina na račun energije isklopnih opruga.

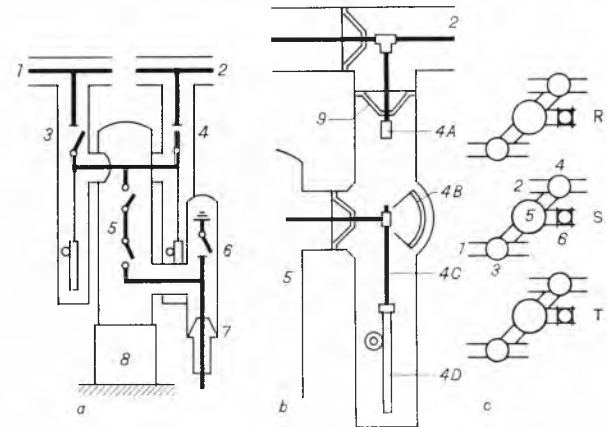


Sl. 42. Autopneumatska komora prekidača s plinom SF_6 . 1 Gornji nepomični kontakt, 2 sapnica od teflona, 3 pomicni lučni kontakt, 4 pomicni glavni kontakt, 5 izolaciona cijev, 6 pomicni cilindar, 7 nepomični stup, 8 porculanski izolator, 9 donji nepomični kontakt, 10 donja priključnica, 11 pomicni kontaktni svornik

Nepomični dio komore sačinjavaju porculanski izolator 8 s izolacionom cijevi 5, donja priključnica 10 sa čvrstim kontaktom 9, stup 7 i gornji kontakt 1. Povlačenjem kontaktne svornike 11 prema dolje kreće se zajedno s njim kompresijski cilindar 6, kontakti 3 i 4 i teflonska sapnica 2. Na taj se način komprimira SF_6 u cilindru 6 i struji uz luk sapnici 2.

U novije se vrijeme SF_6 sve više primjenjuje u oklopnim postrojenjima, gdje služi, osim za gašenje luka, i kao dielektrik za izolaciju dijelova pod naponom (sabirnicâ, rastavljačâ itd.) prema metalnom oklopnu. Time se drastično smanjuju dimenzije postro-

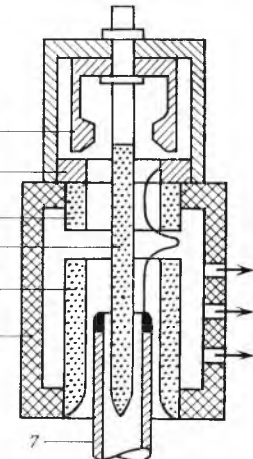
jenja, što omogućuje dovodenje vrlo visokih napona u središta potrošnje. Tlocrtna je površina postrojenja u usporedbi s tradicionalnim otvorenim izvedbama u omjeru $\sim 12 : 1$ manja za napon 242 kV, u omjeru $\sim 23 : 1$ za napon 420 kV. Oklopno se postrojenje može smjestiti bilo na slobodnom prostoru bilo u zgradama, jer pruža punu zaštitu od dodira i sigurnost protiv požara, a nije osjetljivo prema atmosferskim utjecajima. Shematski prikaz jednog polja s odvojenim fazama i dva sistema sabirnica prikazuje sl. 43 a. Sabirnice 1, 2, sabirnički rastavljači 3, 4 i rastavljač uzemljenja 6 smješteni su u osi cilindričnih aluminijumskih cijevi, u kojima su učvršćeni pomoću koničnih epoksidnih provodnih izolatora 9. Svi su rastavljači s aksijalnim gibanjem noževa. Kontakti sabirničkih rastavljača 4C pokreću se pomoću zupčanica 4D, a u otvorenom se položaju može njihov rastavni razmak pregraditi zakretnim izolacionim ekranom 4B (sl. 43 b). Dvotlačni prekidač



Sl. 43. Oklopno postrojenje izolirano plinom SF_6 . a) Shematski prikaz jednog polja, b) detalj sabirničkog rastavljača, c) tlocrt triju faza jednog polja; 1 i 2 sabirnice, 3 i 4 sabirnički rastavljači, 4A čvrsti kontakt rastavljača, 4B zakretni ekran, 4C pomicni kontakt, 4D zupčanica, 5 prekidač, 6 rastavljač uzemljenja, 7 kabelska glava, 8 postolje prekidača, 9 konični provodni izolator

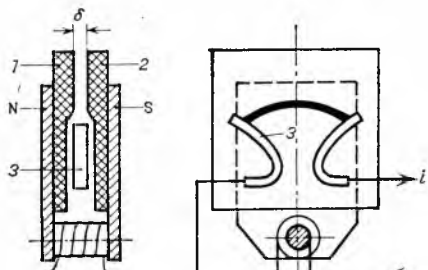
5 (sl. 43 a) sa dvije komore u seriji nalazi se također u srednjem vertikalnom metalnom cilindru. Pretlak plina SF_6 u čitavom kućištu iznosi 2,5 at. U postolju prekidača 8 nalaze se kompresor i visokotlačni kotao od 14 at pretlak s ugradenim grijaćem. Kompresor siše SF_6 iz kućišta prekidača, a visokotlačni je rezervoar spojen s njegovim lučnim komorama. Sl. 43 c prikazuje tlocrt triju faza jednog polja tog postrojenja.

Plinotvorni prekidači. U ovim aparatima za srednje napone i male snage kratkog spoja razvija se medij za gašenje djeleovanjem luka na prikladne čvrste tvari (aminoplaste, pleksi-glas), koje naglo otpuštaju plinove ne stvarajući vodljivih kliznih staza. Dijelovi napravljeni od tih tvari ne smiju se deformirati uslijed promjena temperature i vlage. Presjek lučne komore prikazan je shematski u sl. 44. U prikazanoj izvedbi luk gori u uskom prostoru između plinotvornog svornika 4 i cijevi 3 i 5 od plinotvornog materijala. Velike se struje redovito prekidaaju čim pomicni kontakt 7 oslobođi prstenasti otvor između gornje i donje cijevi; kad je struja mala, plin se slabo razvija iz plinotvornog materijala, pa se luk produžuje u donju cijev.



Sl. 44. Plinotvorna lučna komora. 1 Nepomični kontakt, 2 lučni prsteni, 3 plinotvorna cijev, 4 plinotvorni svornik, 5 plinotvorna cijev, 6 ispušna cijev, 7 pomicni kontakt

među hladne keramičke ploče. Već samo produljivanje luka i kretanje kroz mirni zrak ima za posljedicu pojačano hlađenje i deionizaciju. Proces gašenja je mnogo intenzivniji ako se pri tome luk dodiruje s izolacionim pločama. Osnovnu ideju aparata prikazuje sl. 45, u kojoj su I i 2 keramičke ploče, a N i S polovi magneta kroz čiji svitak prolazi struja glavnoga kruga. Luk se pod djelovanjem magnetskog polja penje na kontaktne robove 3 i ulazi u uski raspored širine δ , koja nije veća od promjera luka.

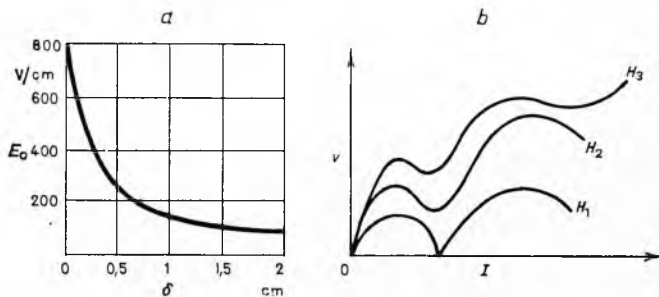


Sl. 45. Princip aparata s uskim rasporedima. N i S polovi elektromagneta, δ raspored, 1 i 2 keramičke ploče, 3 kontaktne robove

Gradijent luka E_A u V/cm može se odrediti brojčanom jednadžbom

$$E_A = E_0 + 0,015 \sqrt{\frac{v^2 I}{\delta}},$$

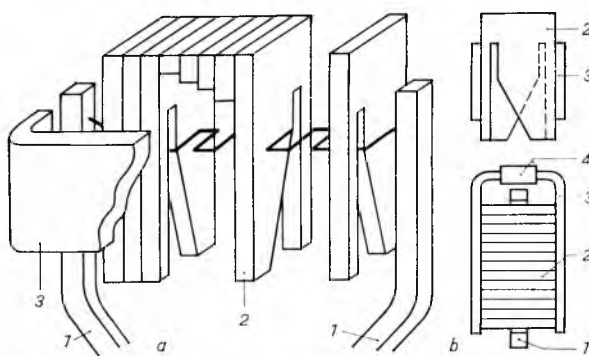
gdje je E_0 gradijent, u V/cm, luka koji bi mirno gorio u rasporu, v brzina kretanja luka u m/s, I struja luka u A, δ širina raspora u cm. Veličina E_0 je također funkcija raspora, prikazana dijagramom sl. 46 a. Dijagram na sl. 46 b pokazuje veoma složenu ovisnost brzine o struci i jakosti magnetskog polja H . Nepravilan se oblik



Sl. 46. Gradijent i brzina luka u uskom rasporu. a) Gradijent E_0 kao funkcija širine raspora δ , b) brzina kretanja v kao funkcija struje I uz različite jakosti polja H

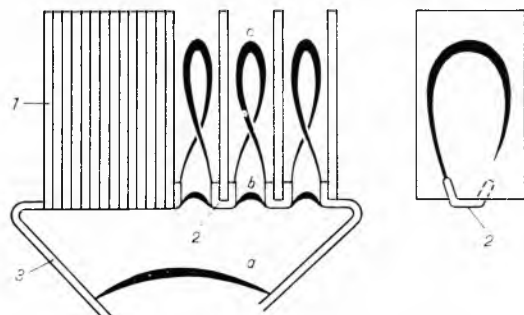
krivulja pripisuje činjenici da sa strujom raste promjer luka i strene između luka i ploča. Da bi se luk uopće kretao, mora jakost polja premašiti neku minimalnu vrijednost, koja ovisi o struci, materijalu ploča i njihovom razmaku.

Prekidač s uskim rasporedima oblike cikcak-linijske prikazuje slika 47. Raspori susjednih ploča jedni su prema drugima tako pomaknuti da luk poprima oblik cikcak-linijske velike duljine. Ploče su



Sl. 47. Prekidač s uskim rasporedima oblike cikcak. a) Shematski prikaz, b) pogled sa strane i odozgo; 1 kontaktni robovi, 2 keramičke ploče, 3 elektromagnet, 4 svitak magneta

napravljene od vatrostalnog materijala na bazi cirkonija, velikog toplinskog kapaciteta i otporni prema naglim promjenama temperature. Na istom se principu osniva **aparat tipa »Solenarc«** prema sl. 48. Luk a se najprije penje po kontaktnim rogovima 3 do podnožnih limova 2 u obliku slova V. Na njima se dijeli u velik broj kraćih lukova b, koji ulaze u raspore među pločama 1, te se pod utjecajem vlastitog magnetskog polja proširuju u petlje c, koje međusobno povezane oblikuju vrlo dugačku spiralu (solenoid).



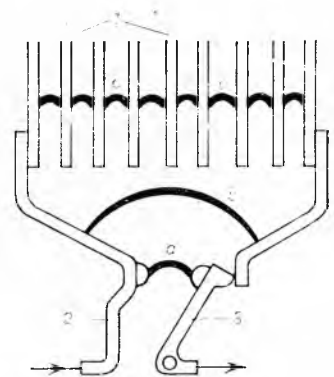
Sl. 48. Aparat sa spiralnim lukom (»Solenarc«). 1 Izolacione ploče, 2 limovi oblika V, 3 kontaktni robovi; a, b i c uzastopni položaji luka

Zahvaljujući velikom otporu luka u trenutku gašenja mogu se pomoći aparata s rasporedima prekidati i male induktivne i kapacitivne struje uz vrlo male prenapone. Grade se za napone do 24 kV i snage kratkog spoja do 1000 MVA.

Prekidač s »deion« rešetkom (v. str. 122) osnivaju se na Slepianovom katodnom efektu, tj. pojavi da, neposredno nakon gašenja luka, uz relativno hladnu površinu katode nastaje tanak sloj deioniziranog medija probojne crvotice 250...300 V. Luk (sl. 49) tjeru se u deionizacionu rešetku (»deion-grid«), koja se sastoji od niza među sobom izoliranih paralelnih metalnih ploča 1 s razmacima $\sim 1,5$ mm. Zauzimajući redom položaje a, b i c dugi se luk razbijaju u niz kratkih lukova. Broj se limova odabire tako da na jedan par ploča otpada 110...130 V; stoga ne može doći do ponovnog paljenja. Za funkciju aparata bitno je da ploče ostanu hladne, što se postiže prisilnim brzim kretanjem luka pomoći magnetskog polja. Tako se prekidač grade do 17,5 kV i 500 MVA. (Treba spomenuti da analogni konstrukcija niskonaponskih aparatata za istosmjernu struju radi na posve drugom principu. Njihovo se gašenje osniva na činjenici da ukupni napon parcijalnih lukova znatno premašuje napon jednog dugačkog luka zbog velikog broja anodnih i katodnih padova.)

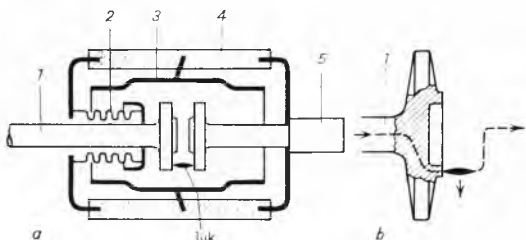
Vakuumski prekidači. Iako se prve ideje o prekidanju struje u vakuumu javljaju već krajem prošlog stoljeća, do mogućnosti šire tehničke primjene dolazi tek nakon 1950. Osim tehnoloških poteškoća, osnovni su problem bili visoki prenaponi zbog naglog rezanja malih struja. U usporedbi s klasičnim izvedbama imaju vakuumski aparati niz prednosti: trajnost im je velika (preko 20 godina), njihovo održavanje svedeno je na minimum, kontakti su im uvijek metalno čisti, struja se prekida u prvoj nultočki bez povratnog paljenja, mogu se postaviti u eksplozijom ugroženoj okolini, kod kontakata je vrlo malen, dimenzije i težine tih aparata su male, a rad im je bešuman.

Načelnu izvedbu vakuumskog lučnog komora prikazuje sl. 50 a. Kontaktni je sistem 1, 5 hermetički zatvoren u staklenom ili keramičkom cilindru 4, evakuiranom na 10^{-7} do 10^{-9} mmHg. Pomični kontakt 1, koji se pokreće izvana mehaničkom silom,



Sl. 49. Princip aparata s deion-rešetkom. a, b i c uzastopni položaji luka; 1 izolirane metalne ploče, 2 nepomični kontakt, 3 pomicni kontakt

vezan je uz komoru pomoću elastičnog metalnog mijeha 2. Cilindrični zaslon 3 štiti unutarnju površinu izolacionog tijela od kondenzacije metalnih para. Kontakti su oblikovani tako (sl. 50 b) da struja čini petlju (crtkana linija) koja svojim magnetskim poljem tjeru luk u smjeru strelice F na prošireni vijenac i time štiti dodirne plohe od trošenja. Kad se kontakti pod strujom razmaknu, ispari se dio metala na veoma uskom mjestu posljednjeg dodira, tako da »vakuumski« luk stvarno gori u metalnoj pari. On se iz katodne mrlje difuzno širi prema anodi stvarajući konus od $\sim 60^\circ$. Oblik konusa je posljedica suprotnog djelovanja vlastitog magnetskog polja, koje u blizini katode steže strujnice luka (*pinch effect*), i tlaka metalnih para, koje ga nastoje proširiti. Definitivno gašenje luka u prvoj nultočki objašnjava se upravo njegovim difuznim oblikom, zbog kojeg anoda ostaje hladna, te u momentu promjene polariteta ne može emitirati elektronke. Do rezanja malih struja dolazi uslijed toga što se s opadanjem struje tlak pare smanjuje brže nego magnetski tlak, te se luk steže na sve manji presjek.



Sl. 50. Vakuumska lučna komora. a Presjek, b detalj kontakta; 1 pomični kontakt, 2 metalni mijeh, 3 metalni zaslon, 4 izolaciono tijelo, 5 nepomični kontakt; okomita strelica označuje smjer magnetskog djelovanja polja na luk

Za vakuumski je luk karakteristično da se iznad odredene jakosti struje (~ 100 A) cijepa u više paralelnih lukova, kojima se katodne mrlje kaotično kreću. Njihov je promjer svega nekoliko mikrometara, a gustoća struje u njima je golema ($10^6 \dots 10^8$ A/cm 2). S porastom struje katoda se sve jače grijte, te se isparavanje metala i emisija elektronâ nastavljaju i nakon gašenja luka. To smanjuje brzinu kojom se uspostavlja proborna čvrstoća. (Ova je inače izvanredno velika zbog jake difuzije plazme u vakuuu: do 25 kV/ μ s.) Time se dakako ograničava i prekidna moć aparata. Prekomjerno ugrijavanje katode može se sprječiti umjetno stvorenim magnetskim poljem koje uz vlastito kretanje lukova proizvodi još dodatnu brzu rotaciju (princip *rot-arc*). Kontaktni materijal mora biti posebno kvalitetan, s izvanredno malim sadržajem nečistoća koje se rasplinjuju, s određenom tenzijom para, određenim toplinskim svojstvima itd., jer sve to utječe na održavanje vakuma, rezanje struje, trajnost kontakata i ostale karakteristike.

Danas se vakuumski prekidači grade pretežno za srednje napone do 15 kV i 10 kA prekidne moći, ali je u Velikoj Britaniji 1968 već proizведен aparat za 132 kV, 3500 MVA, s nekoliko lučnih komora u seriji.

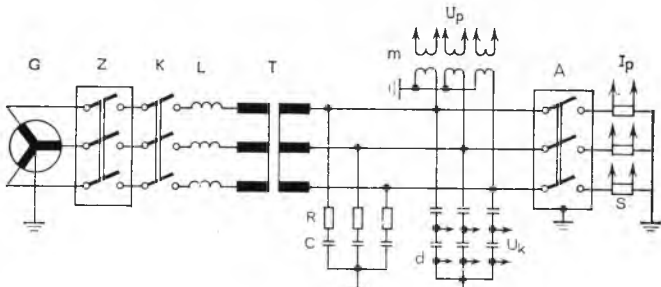
Ispitivanje prekidne moći prekidača

Ispitivanjem prekidne moći prekidača provjeravaju se u toku istraživanja i razvoja teoretske pretpostavke i utvrđuju granične sposobnosti nove konstrukcije, a u fazi proizvodnje njime se dokazuje da aparat ima zajamčene karakteristike. Ispitna stanica može biti bilo mrežnog ili laboratorijskog tipa, prema tome da li potrebnu energiju dobiva iz prenosne mreže ili iz vlastitih izvora (npr. specijalnih generatora udarne snage, poznatih pod imenom kratkospojnih generatora). Premda se u laboratorijskim stanicama s manje ili više koncentriranim impedancijama ne mogu u potpunosti imitirati stvarne prilike energetskih sistema, ispitivanja u njima imaju mnoge prednosti pred ispitivanjima u mreži. U mrežama postoji relativno mali broj čvorista velike snage pogodnih za ispitivanje; njihov se pogon ne smije ometati čestim kratkim spojevima i visokim prenaponima, a ispitni se parametri ne mogu po volji mijenjati. Velika mrežna stanica »Fontenay« francuske elektroprivrede omogućuje direktna jednopolna ispitivanja aparatata za 245 kV, trofazne prekidne moći do $5,5$ GVA. U novom

francuskom centru »Les Renardières« predviđa se za 1973 paralelni rad mreže sa dva kratkospojna generatora, te će se pri jednopolnom ispitivanju postići ekvivalentna trofazna ispitna snaga od 12 GVA pod naponom 420 kV. Ekonomski opravdana granica ispitne snage za generatorske stанице kreće se sada oko 5 GVA na stazalkama generatora, odnosno $3,5$ GVA na ispitivanom aparuatu. Spomenute snage nisu dovoljne da bi se veći tipovi suvremenih prekidača ispitivali tropolno u stvarnim pogonskim uvjetima. To pogotovo vrijedi za aparat u razvoju, ako se uzme u obzir da se za $5 \dots 10$ godina mogu u velikim sistemima očekivati prekidne struje do 100 kA, odnosno trofazne prekidne snage od 40 GVA pri 245 kV do 130 GVA pri 765 kV. Zato se danas sve više primjenjuju i usavršavaju ispitne metode koje aparatne velike prekidne moći podvrgavaju dovoljnim naprezanjima i uz manje ispitne snage.

Po definicijama Medunarodne elektrotehničke komisije (IEC) mogu se ispitivanja prekidne moći podijeliti u *direktna* i *sintetska*. Pri direktnom se ispitivanju dobivaju i prekidna struja i povrtni napon iz jednog zajedničkog izvora (iz mreže ili generatora udarne snage). Sintetski ispitni krug sadrži dva odvojena izvora: strujni (npr. generator udarne snage) i naponski (npr. kondenzatorsku bateriju). Direktna se ispitivanja izvode u načelu tropolno, a kad to nije moguće, jednopolno ili po elementima; sintetska se ispitivanja vrše jednopolno ili po elementima. Tropolna se ispitivanja vrše na kompletnom aparuatu, jednopolna na odvojenom polu aparatata, a ispitivanja po elementima na jednom ili više serijski vezanih prekidnih elemenata jednog pola. Budući da su jedino pri direktnom tropolnom ispitivanju radni uvjeti aparatata jednaki onima u pogonu, često se nazivaju sve ostale metode *indirektnim ispitivanjima*.

Direktno ispitivanje prekidača. Sl. 51 prikazuje shemu *direktnog tropolnog ispitivanja* s pomoću generatora udarne snage.

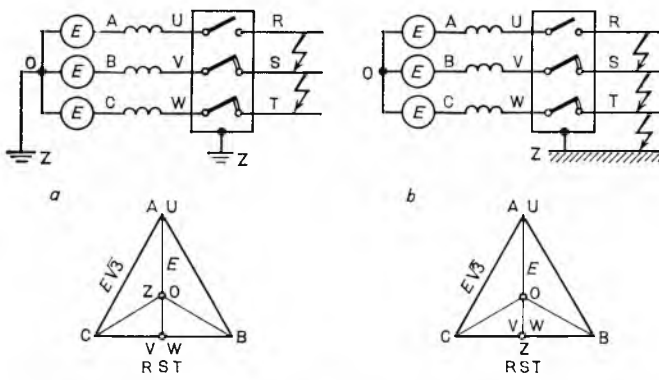


Sl. 51. Shema direktnog tropolnog ispitivanja prekidne moći. G generator udarne snage, T transformator udarne snage, Z zaštitni prekidač, K kratkospojnik, A ispitani prekidač; L, R, C elementi za podešavanje kruga; m mjeri naponski transformator, d djelilo napon, S sunta za mjerjenje struje; U_p, I_p priključci na petljasti osciloskop; U_k priključci na katodni osciloskop

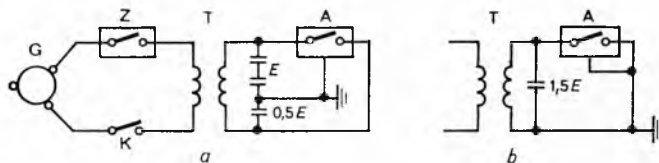
Uz prethodno zatvorene kontakte zaštitnog prekidača Z i ispitivanog prekidača A uspostavlja se kratki spoj uklapanjem specijalnog aparata K, tzv. kratkospojnika. Zatim se prekida struja otvaranjem ispitivanog prekidača A, a na kraju se otvara zaštitni prekidač Z. Katodni osciloskop, priključen na odvod U_k, snima visokofrekventne titraje prijelaznog povratnog napona, a petljasti oscilosografi, vezani na odvode U_p i I_p, bježe povratni napon pogonske frekvencije i struju kratkog spoja. Impedancijama R, L, C podešavaju se željeni parametri struje i povratnog napona. Generator G specijalne je konstrukcije s abnormalno malom početnom i prolaznom reaktancijom, velikom čvrstoćom statorskog namota prema elektrodinamičkim silama i jakom udarnom uzbudom u trenutku kratkog spoja. Namoti generatora i transformatora mogu se serijskim i paralelnim prespajanjem svitaka u zvjezdu i trokutu podešavati za široko područje napona i struja.

Jednopolnim ispitivanjem treba ispitivani pol aparatata podvrgnuti takvim naprezanjima kakva se pojavljuju u najviše napregnutoj fazi tropolnog prekidača. Ta najviše napregнутa faza redovito je ona faza u kojoj se luk najranije gasi. Sl. 52 a pokazuje naponske prilike za slučaj da je zvjezdasti kruto uzemljeno a trofazni kratki spoj izoliran od zemlje. Iz sheme i vektorskog dijagrama slijedi da pol koji prvi prekida ima za 50% povišeni po-

vratni napon, tj. $\overline{UR} = 1,5 E$, a izolacija njegovih priključnica U i R napregnuta je naponom $\overline{UZ} = E$, $\overline{RZ} = 0,5 E$ prema zemlji. Takve se prilike mogu imitirati jednopolnim ispitivanjem u ispitnom krugu prema sl. 53 a. Ako je, naprotiv, zvjezdiste izolirano a trofazni kratki spoj vezan sa zemljom, kako to prikazuje slika 52 b, javljaju se na polu prvog prekida naponska naprezanja $\overline{UR} = \overline{UZ} = 1,5 E$, $\overline{RZ} = 0$. Ovakvim uvjetima odgovara jednopolni ispitni krug prema slici 53 b.

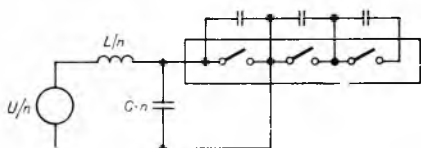


Sl. 52. Naponske prilike u polu koji prvi prekida. a) Zvjezdiste uzemljeno, kratki spoj neuzemljen; b) zvjezdiste izolirano, kratki spoj uzemljen



Sl. 53. Jednopolno ispitivanje prekidne moći za mreže s uzemljenim zvjezdistem (a) i za mreže s izoliranim zvjezdistem (b). G generator, K kratkospojnik, Z zaštitni prekidač, T transformator, A ispitivan prekidač

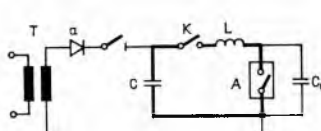
Ispitivanje po elementima primjenjuje se za prekidače vrlo visokog napona i velike prekidne moći s višestrukim prekidanjem i točno definiranom nepromjenljivom razdiobom povratnog napona na pojedine elemente, koja se postiže prigradnjom paralelnih otpora ili kondenzatora. Sl. 54 prikazuje ispitivanje jednog elementa aparata s trostrukim prekidom, tj. sa $n = 3$ elementa



Sl. 54. Ispitivanje po elementima. Prekidač ima 3 prekida elementa po fazi

po polu. Ako prekidač ima jednoliku razdiobu potencijala, potreban je umjesto punog napona U , propisanog za ispitivanje jednog pola, samo parcijalni ispitni napon U/n . Da bi se pri tome postigla puna prekidačna struja i vlastita frekvencija, treba induktivitet prigušnice smanjiti na L/n , a kapacitet u krugu povećati na $C \cdot n$.

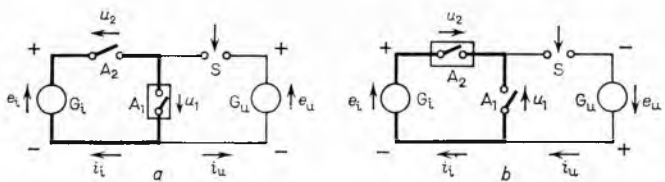
Po zamisli A. A. Goreva iz 1937 može se za direktna ispitivanja upotrijebiti *titrajni krug* prema sl. 55, u kojem je kratkospojni generator nadomešten velikom kondenzatorskom baterijom C, prethodno nabijenom na visoki napon pomoću transformatora T i ispravljača a. Zatvaranjem kratkospojnika K počinje periodičko izbijanje baterije u krugu C-K-L-A. Kapacitet C kondenzatora C i induktivitet L prigušnice L tako su odabrani, da struja kratkog spoja titra pogonskom frekvencijom 50 Hz.



Sl. 55. Ispitni titrajni krug po Gorevu. T transformator, a ispravljač, K kratkospojnik, A ispitivan prekidač, C nabijena kondenzatorska baterija kao izvor udarne snage

Otvaranjem ispitivanog aparata A uključuje se u krug kondenzator C_0 , kojim se postiže željena frekvencija prijelaznog povratnog napona.

Sintetsko ispitivanje prekidača osniva se na činjenici da se prekidačna struja i povratni napon prekidača ne javljaju istodobno, pa mu se stoga mogu dovoditi iz različitih izvora. Generator udarne snage može određenu prekidačnu struju I proizvesti uz relativno niski povratni napon U_1 , što odgovara direktnoj prekidačnoj snazi $P_{dir} = I U_1$. Ako se generator upotrijebi samo kao izvor struje I a kondenzatorska baterija kao izvor n puta višeg povratnog napona $U_u = n U_1$, dobiva se time n puta veća sintetska prekidačna snaga $P_{sin} = I U_u = n P_{dir}$. U načelnoj shemi sintetskog ispitivanja prema sl. 56 predviđaju G_1 i G_u izvore struje i napona, A_1 i A_2 prekidače koji se istodobno otvaraju, a S elektronski upravljano iskršte za priključak povratnog napona u željenom trenutku. Pravokutnikom je označen *ispitivan* prekidač, a drugi je prekidač *pomoći*. Probajem iskršta neposredno prije prolaza struje kroz nulu dobiva se ispitivanje na principu injekcije struje, a probajem neposredno nakon nultočke ispitivanje na principu injekcije napona. U oba se slučaja mogu izvori povezati s ispitivanim aparatom bilo paralelno (shema sl. 56 a), ili u seriju (shema sl. 56 b). Pri ispitivanju po shemi sl. 56 a priklučen je izvor napona paralelno ispitivanom aparatu, a po shemi sl. 56 b paralelno pomoćnom aparatu. Koja će se od objiju metoda ostvariti i koji će aparat biti ispitni ovisi o odnosu polariteti naponskog i strujnog izvora u trenutku probaja iskršta. Uz jednak polaritet s obzirom na paralelnu granu kruga, tj. na aparat A_1 , dobiva se shema prema sl. 56 a, uz suprotnu polaritetu shema sl. 56 b. Strelice pokazuju pripadne smjerove struja i povratnih napona.



Sl. 56. Načelna shema sintetskog ispitivanja. Napredni izvor G_u priključen paralelno: a) ispitivanom prekidaču, b) pomoćnom prekidaču; S iskršte, G_1 izvor struje, G_u izvor napona. Ispitivan prekidač označen je pravokutnikom

U ispitnom krugu *po principu injekcije struje*, spojenom prema shemi sl. 56 a, određeni su povratni naponi i prekidačne struje jednadžbama

$$u_1 = e_u, \quad u_2 = e_u - e_l; \quad i_1 = i_1 + i_u, \quad i_2 = i_l,$$

gdje su u_1 , u_2 povratni naponi, a i_1 , i_2 prekidačne struje kroz prekidače A_1 i A_2 . Ovdje se, dakle, aparat A_1 smatra ispitivanim prekidačem, jer je izložen većim naprezanjima ($u_1 > u_2$, $i_1 > i_2$). Prelaskom na spoj prema shemi sl. 56 b postaje

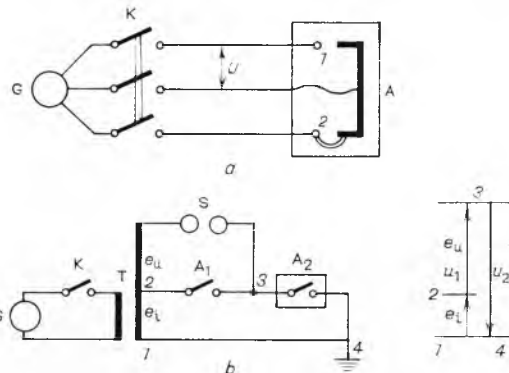
$$u_1 = e_u, \quad u_2 = e_u + e_l; \quad i_1 = i_1 - i_u, \quad i_2 = i_l,$$

što znači da se promijenio odnos naprezanja ($u_1 < u_2$, $i_1 < i_2$), te su i aparat zamjenili uloge.

Analogna razmatranja vrijede za ispitni krug *po principu injekcije napona*. Budući da se u tom slučaju izvor G_u priključuje tek nakon nultočke struje, određena je prekidačna struja za obje sheme sl. 56 a i b jednadžbom $i_1 = i_2 = i_1$, a jednadžbe povratnih napona ostaju nepromjenjene. Metoda injekcije struje naziva se često *dvostrukom* jer se struja u jednom od prekidača sastoji od osnovne komponente i_1 pogonske frekvencije 50 Hz i injektirane struje i_u koja redovito titra znatno višom frekvencijom. Ispitivanje injekcijom napona poznato je i pod nazivom *jednofrekventne* metode.

Od preteča modernih sintetskih krugova prikazana su u sl. 57 dva razvojna oblika. J. Biermanns predložio je 1925 za aparatove sa dva prekidača mjesto po fazi ispitni krug prema sl. 57 a, kojim se ispituje jedan pol u trofaznom krugu. Dok traje luk, kontakti su opterećeni jednakom strujom kratkog spoja kao pri direktnom tropolnom ispitivanju. Povratni napon na mjestu prvog prekida 1 iznosi u početku $1,5 U/\sqrt{3}$, a nakon gašenja drugog luka poraste na puni linjski napon U . Na mjestu drugog prekida 2 javlja se odmah napon U . Pri tropolnom ispitivanju nastao bi na polu u kojem se luk najranije gasi napon $1,5 U/\sqrt{3}$, od kojeg na svako prekido mjesto otpada $0,75 U/\sqrt{3} = 0,43 U$. Prema tome se opisani način povratnog napona povisuje u omjeru 1 : 0,43, tj. na 2,3-struko u usporedbi s tropolnim ispitivanjem.

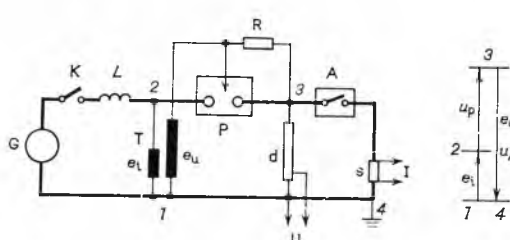
W. F. Skeats je 1936 u ispitni krug prema shemama sl. 57 b uveo transformator T, čiji sekundarni namot jednim dijelom služi kao izvor jake struje, a drugim kao izvor visokog napona. Dok u prekidačima A₁ i A₂ traje luk, transformator se nalazi u kratkom spoju, njegov se primarni i sekundarni magnetski tok međusobno poništavaju, pa je stoga $e_u = 0$. Nakon gašenja luka javlja se na serijskom spoju aparat A₁ i A₂ najprije povrtni napon kruga jake struje e_1 , čija raspodjela na pojedine prekidače nije strogo definirana. Kad sekundarni napon dovoljno poraste, nastupa probor na iskrištu S, čime se pomoći prekidač A₁ prebacuje na visoki napon $u_1 = e_u$, a ispitivani prekidač A₂ prebacuje se na napon $u_2 = e_1 + e_u$. Ispitni krug ne sadrži potrebnih elemenata za postizanje određenog oblika povrtnog napona, koji u toku ispitivanja još i varira zbog velikog rasipanja proborne čvrstoće iskrišta.



Sl. 57. Ispitni krugovi po Biermannsu (a) i Skeatsu (b). G Generator, K kratkospojnik, T transformator, S iskrište, A₁ pomoći prekidač, A i A₂ ispitivani prekidač

U opisanom krugu prema sl. 57b luk prekidača ne može trajati dulje od jedne poluperiode jer pomoći prekidač A₁, napregnut manjim povrtnim naponom u_1 , blokira vezu s namotom jake struje. Ako ni povrtni napon u_1 ne probije kontakti razmak ispitivanog aparata, smatra se da je prekidač A₂ zadovoljio. U tom će se slučaju u katodnom osciloskopu napona u_2 vidjeti normalni titrajni proces. Ako pak dođe do probora, osciloskop će pokazivati negativni valovi povrtnog napona uz trenutni prolaz neznačajne struje iz visokonaponskog kruga. Takav negativni rezultat ne dopušta nikakav zaključak o prekidanju sposobnosti onih tipova aparata koji za gašenje luka normalno trebaju više od jedne poluperiode.

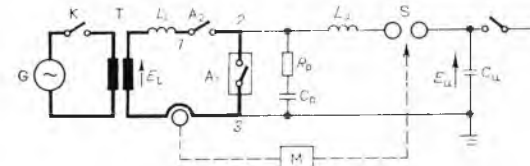
Zbog navedenih nedostataka doživjela je Skeatsova shema različne modifikacije. U varijanti firme Merlin & Gerin prema sl. 58 napaja se krug jake struje direktno iz generatora G, a naponski krug iz transformatora T; pomoći je prekidač nadomešten specijalnim upravljanjem iskrištem P, koje omogućuje da se ispitivanje produži na više poluvolova struje. Za vrijeme gorenja luka primarna je strana transformatora kratko premostena te sekundarni namot ne daje napona. Gašenjem luka uzbudi se primarni namot, pa se u sekundarnom inducira napon e_1 , koji se prenosi na ispitivani aparat A. Ako prekidač A ne izdrži naprezanja od povrtnog napona $u_A = e_1$, poteći će sekundarna struja i padom napona u otporu R izazvati probor između srednje i desne elektrode iskrišta. Probor se prisilnim duvanjem odmah proširuje na lijevu elektrodu, te na taj način ponovo zatvara krug jake struje.



Sl. 58. Sintetski krug firme Merlin & Gerin. G Generator, K kratkospojnik, T transformator, P upravljanje iskrište, A ispitivani prekidač, I i U priključci za osciloskop

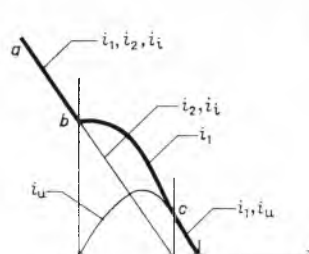
Od novijih sistema na principu injekcije struje dostigle su visok stupanj savršenstva metode F. Weil-G. Dobke firme AEG iz 1942 i V. V. Kaplan-V. M. Našatir iz 1951, a od sistema na principu injekcije napona poznati su »komponentni spojevi I i II« firme Siemens iz 1957. Spomenuti krugovi sadrže sve potrebne elemente za precizno uključivanje naponskoga kruga u željenom trenutku i za postizanje unaprijed odabranog oblika struje i napona u intervalu gašenja.

Sl. 59 prikazuje *ispitni krug metode Weil-Dobke*. U njemu kao izvor visokog napona služi nabijena kondenzatorska baterija C_u, koja je priključena paralelno ispitivanom aparatu A₁. Krug jake struje napaja se iz generatora G s transformatorom T. Simbol E_1 označava amplitudu izmjenične elektromotorne sile transformatora, a E_u istosmjerni napon baterije kondenzatora. Povrtni napon e_1 (dobiven iz transformatora) djeluje među točkama 1 i 3, a povrtni napon e_u (dobiven iz baterije kondenzatora) djeluje među točkama 2 i 3. Jakost struje podešava se promjenom induktiviteta prigušnice L₁, a oblik povrtnog napona podešava se promjenom impedancije elemenata L_u, R_p, C_p. Da ne bi došlo do stanje između momenta završetka struje i početka povrtnog napona, uključuje se naponski krug neposredno prije gašenja luka.

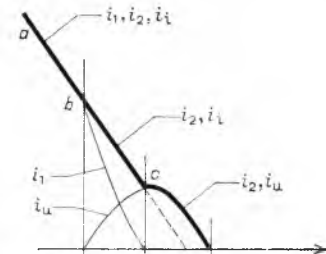


Sl. 59. Ispitni krug po metodi Weil-Dobke. G Generator, K kratkospojnik, T transformator A₁ ispitivani prekidač, A₂ pomoći prekidač, M upravljački uređaj iskrište S, C_u nabijena kondenzatorska baterija kao izvor visokog napona

To se postiže probojem iskrišta S pomoću strujnoovisnog upravljačkog uređaja M. Trenutak probora t_0 i frekvenciju injektirane struje i_u treba prilagoditi karakteristici luka ispitivanog prekidača, kako bi se spriječila znatnija deformacija njegove struje $i_l = i_i + i_u$. Zato treba probor izvršiti prije nego što započne strmi porast napona luka prema naponu gašenja. Vremenski tok pojedinih struja vidi se u sl. 60. Da bi uvjeti gašenja pri sintetskom i direktnom ispitivanju bili što sličniji, mora se struja u oba slučaja jednakom



Sl. 60. Struje u krugu Weil-Dobke



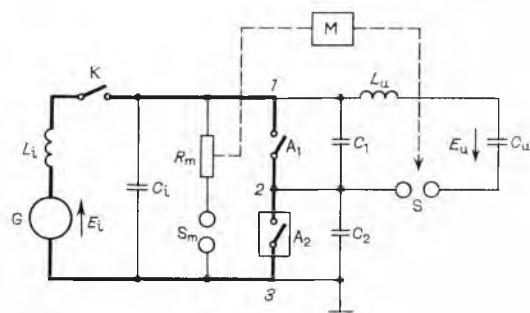
Sl. 61. Struje u krugu Kaplan-Našatir

brzinom približavati nuli. Od trenutka t_2 , kada se gasi luk u pomoći prekidaču A₂, prolazi ispitivanim aparatom samo injektirana struja. Zato treba njenu amplitudu i frekvenciju uskladiti tako da bude

$$\left(\frac{di_u}{dt} \right)_0 = \left(\frac{di_i}{dt} \right)_0.$$

Ispitni krug Kaplan-Našatir razlikuje se od prethodnoga po tome što je njegov visokonaponski krug priključen paralelno pomoći prekidaču. Polaritet mu je odabran tako da A₁ postaje pomoći, a A₂ ispitivani prekidač. Prema tome se u aparatu A₁ struja i_u naponskog izvora superponira struja generatora i_1 sa suprotnim predznakom. Razdoblju struju u pojedinim granama ispitivanoga kruga predočuje sl. 61.

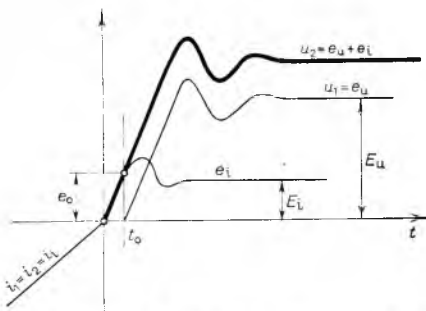
Siemensovi komponentni spojevi razlikuju se jedan od drugog po tome što je u spoju I izvor napona priključen paralelno ispi-



Sl. 62. Siemensov komponentni spoj II. G Generator, K kratkospojnik, S upravljački uređaj iskrište, A₁ pomoći prekidač, A₂ ispitivani prekidač, M upravljački uređaj iskrište S za uključivanje visokonaponskoga kruga, C_u nabijena kondenzatorska baterija kao izvor visokog napona

ELEKTRIČNI SKLOPNI APARATI

tivanom, a u spoju II paralelno pomoćnom prekidaču. Njihova se osnovna ideja može razabrati iz pojednostavljene sheme spoja II u sl. 62. Ovdje generatorski krug daje cijelokupnu struju i početni dio povratnog napona, a preostali se dio povratnog napona dobiva iz nabijene kondenzatorske baterije C_u . Probojem na iskrštu S pomoću djelovanja naponski ovisnog upravljačkog uređaja M uključuje se visokonaponski krug nakon gašenja luka. Trenutak probroja t_0 odabire se tako da nezatno prethodi trenutku pojave prve amplitude povratnog napona iz generatorskoga kruga. To se postiže prikladno podešenim mjernim iskrštem S_m , koje se pali pri određenom iznosu e_0 generatorskog povratnog napona, a time stvoreni pad naponu na mjernom otporniku R_m izaziva djelovanje upravljačkog uređaja M.



Sl. 63. Naponi i struje u krugu prema sl. 62

Do probroja iskršta djeluje među točkama 1 i 3 povratni napon e_1 iz kruga jake struje. On se na prekidače dijeli obratno razmjerne paralelnim kapacitetima:

$$u_1 = e_1 \cdot \frac{C_2}{C_1 + C_2}, \quad u_2 = e_1 \cdot \frac{C_1}{C_1 + C_2}.$$

Uz $C_1 \gg C_2$ postaje $u_1 = 0$, $u_2 = e_1$. To znači da povratni napon e_u iz visokonaponskog izvora, priključen među točkama 1 i 2, počinje u trenutku t_0 nabijati ispraznjeni kondenzator kapaciteta C_1 , pa mu je stoga početna vrijednost $e_u(t_0) = 0$. Vremensku promjenu pojedinih naponi i struja pokazuje sl. 63.

Visokonaponske sklopke

Upotreba relativno skupih prekidača s pripadnim rastavljačima pokazala se u mnogim slučajevima ekonomski neopravданom. To se prvenstveno odnosi na prekidače koji se primjenjuju u krajnjim stanicama i na prekidače za sklapanje prstenastih mreža, visokonaponskih motora i manjih kondenzatorskih baterija. Jedan od pokušaja u traženju jeftinijih rješenja bila je serijska kombinacija rastavljača s osiguračima velike prekidne moći. Rastavljač je služio za uklop struje do iznosa normalnog tereta i za isklop u praznom hodu, a osigurači su prekidači struje preopterećenja i kratkog spoja. Za isklapanje jednog odvojka pod teretom trebalo je aktivirati grupni prekidač i nakon svakog preopterećenja obustavljati pogon radi zamjene osigurača. Pregaranje osigurača u jednoj fazi uzrokovalo je u nekim slučajevima visoke prenapone uslijed ferorezonancije. Zbog navedenih su se nedostatača oko 1930 počeli uvoditi mali rastavni prekidači za sklapanje struja normalnog pogona i preopterećenja, ali i za prekidanje struja kratkog spoja u granicama njihove prekidne moći (do 25 MVA uz faktor snage 0,15). Zaštitu od jačih kratkih spojeva preuzimaju osigurači s ugradenim udarnim svornikom. Pregori li osigurač u bilo kojoj fazi, dolazi do tropolnog isklopa djelovanjem udarnog svornika na zaporni mehanizam rastavnog prekidača. Budući da su i ovakvi aparati za mnoge svrhe preskupi, pronadeno je dodatno rješenje u sklopama i rastavnim sklopama koje ne mogu prekidati struje kratkog spoja.

Vrste visokonaponskih sklopki. S obzirom na pogonske uvjete, danas se susreću tri glavne vrste sklopki: sklopke za opću primjenu, za neopterećene transformatore i za kondenzatorske baterije.

Sklopke za opću primjenu mogu, u skladu s preporukama IEC, prekidati pretežno omske terete ($\cos \varphi \geq 0,7$) do visine nazivne struje trajnog pogona, a mogu isklapati i struje neopterećenih

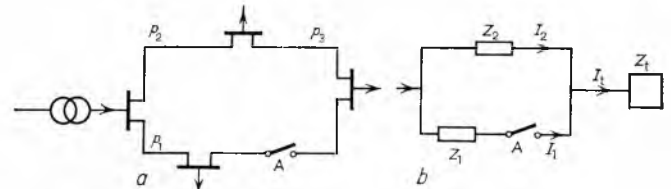
transformatora do određene nazivne vrijednosti. Ako im nazivna struja trajnog opterećenja nije manja od 200 A, moraju uz to imati i sposobnost da prekidači određene struje prstenastih vodova, neopterećenih dalekovoda i neopterećenih kabela. Prekidanje prstenastog voda ilustrira slika 64 a. Nakon otvaranja sklopke A ostaju obje njene stezaljke na zajedničkom potencijalu izvora, umanjenom za padove naponu u pripadnim granama mreže (p_1 , odnosno $p_2 + p_3$). Zato se medu njima javlja povratni napon $u_A = (p_2 + p_3) - p_1$, koja je mnogo manja od naponu mreže. Faktor snage u procesu prekidanja može biti malen, unatoč pretežno omskom karakteru priključenih potrošača, uslijed značajnog utjecaja impedancije vodova u prstenu. To je naročito očigledno u pojednostavljenoj shemi sl. 64 b, koja odgovara slučaju s jednim priključenim trošilom impedancije Z_t . U zatvorenom položaju sklopke dijeli se struja tereta I_t na pojedine grane prstena ovisno o njihovim impedancijama, pa je struja I_1 u simboličkom obliku odredena jednadžbom

$$\underline{I}_1 = I_t \frac{\underline{Z}_2}{\underline{Z}_1 + \underline{Z}_2}.$$

Uz prepostavku da se struja I_t (zbog $Z_1, Z_2 \ll Z_t$) ne mijenja otvaranjem sklopke, dobiva se u otvorenom položaju $\underline{I}_2 = \underline{I}_t$. Ovom strujom proizvedenim pad naponu ujedno je i povratni napon sklopke

$$U_p = \underline{I}_t \underline{Z}_2 = I_t Z_2 = \underline{I}_1 (\underline{Z}_1 + \underline{Z}_2).$$

Posljednja relacija pokazuje da su u ovom jednostavnom slučaju povratni napon i njegov fazni pomak prema struci I_t određeni samo impedancijama prstena i opterećenjem I_t , neovisno o faktoru snage potrošača. Zato se prema IEC sposobnost sklopke za prekidanje prstenaste mreže ispituje samo sa 25% nazivnog naponu uz $\cos \varphi = 0,3$.



Sl. 64. Prekidanje struje u prstenastoj mreži. a) Utjecaj padova naponu u pojedinih granama mreže na povratni napon sklopke, b) pojednostavljena shema s jednim trošilom Z_t ; A sklopka, p padovi napon, Z impedancije

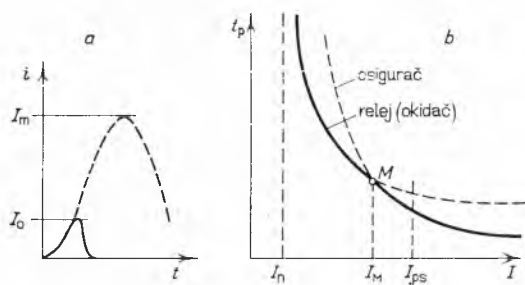
Sklopke za neopterećene transformatore definirane su prema IEC kao aparati koji mogu prekidati određenu malu induktivnu struju transformatora u praznom hodu. Ne moraju biti sposobne da prekidači svoje normalne struje trajnog pogona, te se blokiraju protiv eventualnog otvaranja pod teretom.

Sklopke za kondenzatorske baterije mogu isklapati kapacitivne struje kondenzatorskih baterija do iznosa svoje nazivne struje trajnog pogona. Da bi se izbjegli opasni prenaponi, ne smije u toku prekidanja doći do ponovnih paljenja luka, što se između ostalog postiže povećanjem brzinom kretanja kontaktata. Primjena tih sklopki ograničava se na samostalne kondenzatorske baterije, što znači da u njihovoj blizini nije na mrežu priključena neka druga baterija koja bi se u trenutku zatvaranja sklopke mogla izbjegati kroz njene kontakte i znatno povećati uklopnu struju.

Uz nabrojene se vrste sklopki grade i **sklopke za visokonaponske motore**. One normalno isklapaju nazivnu struju motora, a uklapaju i do 8 puta veću struju zaleta, koju u iznimnim slučajevima moraju i prekinuti. To se npr. događa ako motor u trenutku pokretanja ostane mehanički zakočen ili mu pri uklonu pregori osigurač u vodiču jedne faze, te nadstrujna zaštita izazove otvaranje sklopke.

Na temelju ovako ograničenih zahtjeva u pogledu karakteristika i područja primjene pojedinih tipova sklopki postignute su veoma ekonomične konstrukcije, nastale prigradjnjom jednostavnih lučnih komora na rastavljače. Ponekad se od sklopki ipak zahtijeva i kratkospojna uklopna moć, određena maksimalnom amplitudom I_m struje kratkog spoja, jer uvijek postoji neka mala vjerojatnost da narinuti napon u trenutku uklopa ošteći izolaciju kruga.

Ako se aparat primjeni u kombinaciji s osiguračima, može se uklopna moć same sklopke odabrat prema znatno manjem iznosu tзв. odrezane struje I_0 , tj. najveće trenutne vrijednosti uklopne struje koju osigurač propušta do trenutka pregaranja (sl. 65 a).

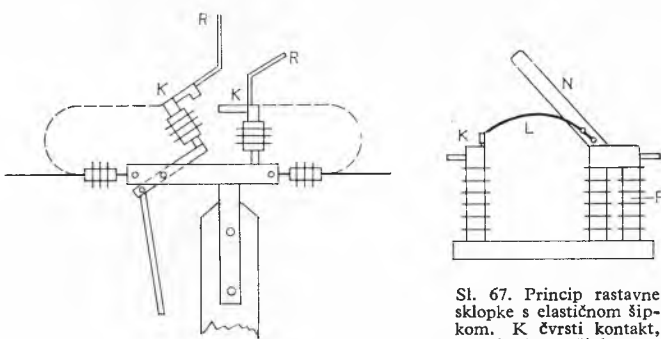


Sl. 65. Strujno-vremenski dijagrami kombinacije sklopka-osigurača. a) Odnos amplitude I_m prirodne struje krtog spoja i najmanje potrebne uklopne moći sklopke, jednake odreznoj struci I_0 ; b) zaštitna karakteristika kombinacije $t_p(I)$; t_p vrijeme prorade zaštite ili pregaranja osigurača, I prekidna struja, I_n nazivna struja kombinacije, I_{ps} prekidna moć same sklopke

Da bi se takvom kombinacijom postigla i zaštita od manjih preoperećenja, treba sklopke snabdjeti još i nadstrujnim (većinom termičkim) okidačima ili relejima. Njihovu karakteristiku treba prema sl. 65 b uskladiti s karakteristikom osigurača tako da struja I_M u presjecištu M obiju karakteristika bude manja od prekidne moći I_{ps} same sklopke. Dijagram pokazuje vremena prorade releja ili okidača i vremena t_p pregaranja osigurača uz različne efektivne vrijednosti struje I . Debelo izvučeni dio krivulja predstavlja zaštitnu karakteristiku cijele kombinacije, a vrijednost I_n njenu nazivnu struju trajnog pogona.

Gašenje luka u sklopkama. Za gašenje luka danas se u sklopkama pretežno primjenjuju četiri principa: princip naglog produženja luka u zraku, princip autopneumatskog gašenja zračnim mlazom, princip cijevne ili plosnate plinotvorne komore i princip magnetskog gašenja u uskim rasporima. Rjede se primjenjuje gašenje luka u ulju ili sumpornom heksafluoridu i gašenje luka u vakuumu.

U grupu sklopki s naglim produženjem luka u zraku ide npr. stupna rastavna sklopka, koja je shematski prikazana u sl. 66. Postavlja se na stupove nadzemnih vodova do 35 kV i služi za njihovo isklapanje u praznom hodu. Rogovi R gube međusobni

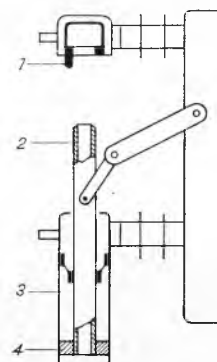


Sl. 66. Stupna rastavna sklopka. R rogovi, K glavni kontakti

dodir tek nakon otvaranja glavnih kontaktata K. Luk se na njima brzo produžuje uslijed magnetskog polja i uzgona ugrijanog zraka. U istu se skupinu ubraja sklopka s naglim isklalom prema sl. 67. Zakretanjem izolatora P otvara se glavni nož N, a na njemu paralelno montirana elastična šipka L ostaje zapeta za nepomični kontakt K. Tek kad šipka postigne određenu zakrivenost, njen se kraj osloboodi i ona naglo poleti za glavnim nožem, brzinom neovisnom o brzini kojom se on otvara. Pri tom šipka povlači za sobom električni luk. Aparat služi za isklapanje neopterećenih transformatora i kratkih vodova, a gradi se i za napone preko 100 kV.

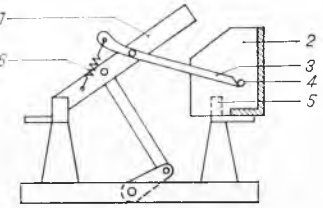
Princip autopneumatske rastavne sklopke prikazuje sl. 68. Pomični šuplj kontakt 2 nosi na donjem kraju stup 4, koji pri isklapanju (kretanju prema dolje) komprimira zrak u cilindru 3. Zračni mlaz struji kroz šuplj kontakt 2 prema luku koji gori između vrha pomičnog kontakta i produženog prsta 1 na gornjem nepomičnom kontaktu i gasi ga.

Jednu od izvedbi rastavne sklopke s plosnatom plinotvornom komorom predočuje sl. 69.



Sl. 68. Princip autopneumatske rastavne sklopke. 1 Produceni prst, 2 pomični šuplj kontakt, 3 cilindar, 4 stup

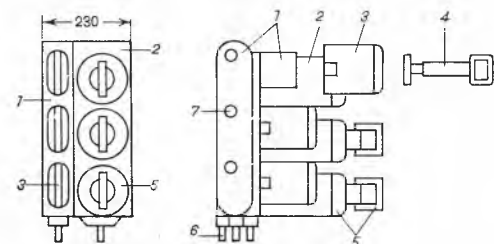
U komori 2, sastavljenoj od dvoje paralelne plinotvorne ploče, smješten je lučni kontakt 4, galvanski vezan s glavnim kontaktom 5. Dok je sklopka zatvorena, nalazi se pomična lučna šipka 3 u komori ispod kontaktata 4, a glavni nož 1 leži u kontaktu 5 izvan lučne komore. Kontakt 4 s gornje je



Sl. 69. Princip plinotvorne rastavne sklopke s plosnatom komorom. 1 Glavni nož, 2 plinotvorna komora, 3 pomična lučna šipka, 4 lučni kontakt, 5 glavni kontakt, 6 opruga

strane koso odrezan, tako da se pod pritiskom šipke pri uklopu izmakne i propusti je u donji položaj. Za vrijeme isklupa otvaraju se najprije glavni kontakti 1 i 5, a šipka ostaje pritisнутa uz donju platu lučnoga kontakta, te se zakreće oko zglobova u glavnom nožu. Posebna opruga 6 nastoji šipku vratiti u smjer glavnog noža. U trenutku kad kraj šipke napusti kontakt 4, razvije se u komori električni luk, koji se gasi pod utjecajem hladnih stijenki i razvijenih plinova. Takvim se sistemom mogu prekidati struje do 1000 A.

U sklopkama s plinotvornim cijevnim komorama tipa Magnefix za napon 12 kV primjenjena je nizozemska firma Hazemeyer također princip gašenja luka plinovima razvitim iz čvrstih tijela.

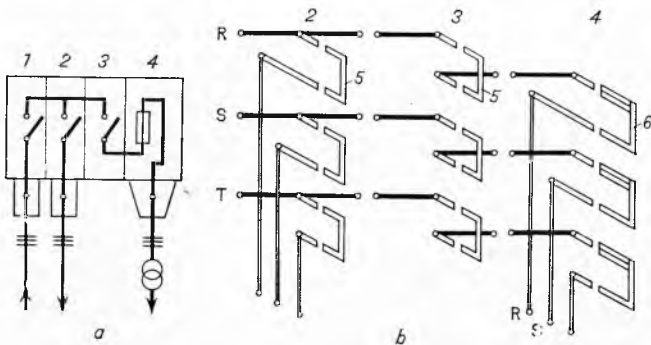


Sl. 70. Sklopka s osiguračem tipa Magnefix, 1 Tijelo sklopke, 2 tijelo osigurača, 3 kapa sklopke, 4 ručica sklopke, 5 kapa osigurača s ručicom, 6 priključak kabelske glave, 7 spojni otvor sabirnice

Te sklopke imaju sve vodljive dijelove zalivene u umjetnoj smoli. U istom su bloku zalivene horizontalne sabirnice za spajanje više sklopnih polja i vertikalne žile za priključak kabela. Time što su uz to polovi aparata smješteni u vertikalnoj ravnini jedan iznad drugog, postignute su minimalne dimenzije (širina ~ 90 mm). Analognog je izveden blok troplonog osigurača, te se bočnom prigradjnjom dobiva kombinacija sklopke s osiguračem (širine ~ 230 mm). Njen se vanjski oblik vidi u sl. 70. Takva sklopka s plinotvornim cijevnim komorama ima prekidnu moć 400 A uz $\cos \varphi = 0,7$ i uklopnu moć od 30 kA.

Da bi aparat bio što jednostavniji i što jeftiniji, izveden je samo za uzaštopno jednolично ručno sklapanje pojedinih faza, što se vrši skidanjem ili stavljanjem sklopnih kapa 3 pomoćnu ručice 4 s uklopnim oprugama. Ručica (zajednička za više sklopki) zataknje se u žlijeb na čelu sklopne kape. Tijelo sklopke 1 sadrži nepomične dijelove glavnih kontaktata i čvrste lučne kontaktke u plinotvornim cijevima, a u kapama 3 nalaze se pomični kontakti s isklopnim oprugama. Pri skidanju kape otvaraju se najprije glavni kontakti i time napinju isklopne opruge lučnih kontaktatnih mostova koje permanentni magnet fiksira u zatvorenom položaju. Kad su isklopne opruge do kraja napete, popusti slijedi magneta, te se lučni kontakti naglo otvore brzinom koja je određena silom isklopnih opruga. Pri isklapanju napinje se najprije uklopna opruga u ručici 4 i tezatim uskače sklopku u zatvoreni položaj točno definiranom brzinom. Standardni uložci osigurača umetaju se i vade pomoću izolacionih kapa 5 koje imaju prikladne ručice, a blokirane su u svom ležištu dok je sklopka zatvorena. Prostorni raspored strujnih krugova u razvodnoj bateriji sastavljen je od elemenata sistema Magnefix prikazuje sl. 71.

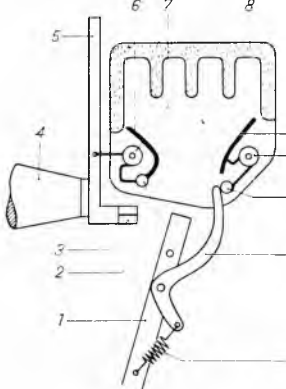
ELEKTRIČNI SKLOPNI APARATI



Sl. 71. Raspored elemenata u sistemu Magnifix. a Shema postrojenja, b prostorni raspored sklopki, osigurača i vodova; 1 ulazno kabelsko polje, 2 izlazno kabelsko polje, 3 i 4 transformatorsko polje, 5 sklopke, 6 osigurači

Sklopke s gašenjem luka u uskim rasporima rade po principu ranije objašnjrenom na temelju sl. 46, ali su mnogo jednostavnije konstrukcije nego prekidači s uskim rasporima. Osnovna ideja izvedbe s plosnatom lučnom komorom vidi se u sl. 72. U procesu isklapanja otvaraju se najprije glavni kontakti 1 i 3, dok lučni nož 12 ostaje još kratko vrijeme zadržan na lučnom kontaktu 2, a zatim

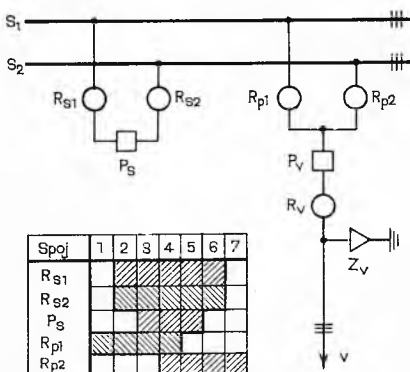
ga napeta opruga 13 velikom brzinom prebací na granični kontakt 11. Pri tome se uzastopno uzbuduju magnetski svici 7 i 10 te se luk penje po rogovima 6 i 9 u gornji dio komore. Na taj se način prisilno produljuje među vertikalnim rebrima, deionizira u dodiru s hladnim pločama i gasi.



Sl. 72. Rastavna sklopka s plosnatom keramičkom komorom. 1 Glavni nož, 2 lučni kontakt, 3 glavni kontakt, 4 potporni izolator, 5 gornja priključnica, 6 lučni rog, 7 magnetski svitak, 8 keramička ploča, 9 lučni rog, 10 magnetski svitak, 11 granični kontakt, 12 lučni nož, 13 opruga

Rastavljači i aparati za uzemljenje

Po svojoj funkciji rastavljači spadaju među najjednostavnije aparatе, ali se njihovoј pogonskoј sigurnosti, dimenzijama i cijeni pridaje velika važnost. To je razumljivo s obzirom na njihovu ulogu u zaštiti osoblja, širinu primjene i značaj inješta ugradnje (kao što su priključci na sabirnice ili čvorista i odvojci nadzemnih vodova i kabela). Rastavljači većinom služe za vidljivo odvajanje pojedinih elemenata od izvora energije ili njihovo preklapanje od jednog izvora na drugi; aparati za uzemljenje, pak, spajaju pojedine dijelove strujnoga kruga sa zemljom. Rastavljači su u načelu predviđeni za sklapanje u praznom hodu, ali se u određenim uvjetima dopušta da im se kontakti otvaraju i zatvaraju također pod opterećenjem.

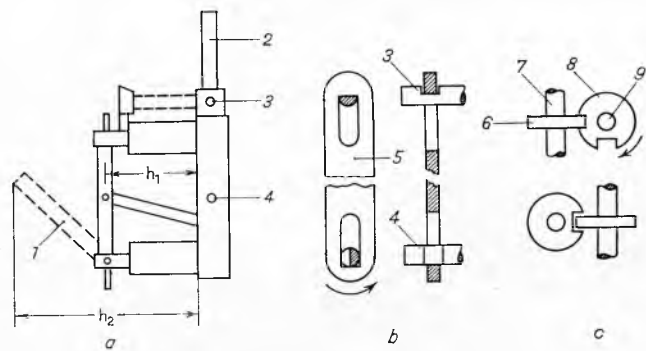


Sl. 73. Primjena brzih aparata za uzemljenje. S Sabirnice, R rastavljači, P prekidači, Z aparat za uzemljenje, T transformator, r termički relj, 1-3 izlazni vodovi

Takov je slučaj prikazan jednopolnom shemom stanice sa dva sistema sa birnicama prema sl. 73. U njoj kvadratični simboli označavaju prekidače (P), kružni simboli rastavljače (R), a trokutni aparat za uzemljenje (Z). Pretpostavimo da dalekovod V treba presposjeti od jednih sabirnica (S₁) na druge (S₂). Kad u stanici ne bi bilo spojno polje s prekidačem P_S, trebalo bi najprije isključiti dalekovod otvaranjem prekidača P_V u vodnom polju, zatim otvoriti rastavljač R_V i zatvoriti rastavljač R_{p2}, te na kraju uspostaviti pogon uklapanjem prekidača P_V. Uz pomoć aparat u spojnom polju može se to izvršiti bez prekidanja pogona. Redoslijed sklapanja u sedam uzastopnih etapa pokazuju programska tablica sl. 73 u kojoj bijela polja označuju otvorene, a šrafirana polja zatvorene položaje pojedinih aparatova. (U tablici nisu prikazani aparat vodnog polja P_V i R_V jer oni u svih 7 spojeva ostaju zatvoreni, ni aparat za uzemljenje voda Z_V, koji je pri tome stalno otvoren). Zatvaranje rastavljača R_{p1} pri prelazu od spoja 3 na spoj 4 i otvaranje rastavljača R_{p2} pri prelazu od spoja 4 na spoj 5 zbiva se pod stroomom, ali bez uklonog i bez povratnog napona, jer su u toj etapi sabirnice S₁ i S₂ kratko spojene mostom R_{S1}—P_S—R_{S2}.

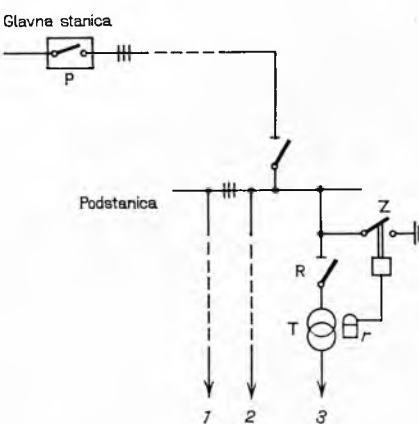
Prije početka bilo kakvih radova na dalekovodu treba osoblje osigurati od dodira s naponom time što se otvoriti rastavljač R_V na početku voda i zatvore aparat za uzemljenje Z_V na oba njegova kraja. Njihova je zadaća da odvedu u zemlju naboј koji je preostao na vodu nakon isklapanja i eventualno naboje izazvane atmosferskim utjecajima. Posebni uređaji za blokiranje sprečavaju istodobno zatvaranje aparatova R_V i Z_V, kao i promjenu položaja rastavljača R_V dok je prekidač P_V zatvoren.

Izvedbe rastavljača i aparata za uzemljenje. Rastavljač i aparat za uzemljenje često se grade kao zajednička cjelina (*rastavljač s noževima za uzemljenje*), kako je to prikazano u sl. 74 a.



Sl. 74. Mechaničko blokiranje glavnih noževa i noževa za uzemljenje. 1 Glavni nož, 2 nož za uzemljenje, 3 pogonska osovinica aparat za uzemljenje, 4 pogonska osovinica rastavljača, 5 spojnik, 6 kružni segment na vertikalnoj osovinici 7, 8 kružni segment na horizontalnoj osovinici 9

Glavni nož 1 i nož 2 za uzemljenje 2 kreću se u vertikalnoj ravni položaju, što je uobičajena izvedba za srednje napone. Ovdje su pogonske osovine 3 i 4 noževa jedna drugoj paralelne, pa se mogu mehanički blokirati tako da se prema sl. 74 b povežu spojnicom 5 s dugoljastim preozima. Osovine su na spojnim mjestima ravno usjećene. U prikazanom je položaju blokirana osovinica 3 noževa za uzemljenje, te se ona ne može osloboditi prije nego što se zakretanjem osovine 4 za 90° u smjeru strelice otvore glavni noževi. U konstrukcijama s međusobno okomitim osovinama 7 i 9 može se blokiranje postići kružnim segmentima 6 i 8 prema sl. 74 c. U prikazanom položaju nalazi se segment 8 u utoru segmenta 6 i blokira njegovu osovinu 9. Za njeno oslobođenje treba osovinu 9 zakrenuti za 90° u smjeru strelice, da bi se oba utora postavila jedan nasuprot drugom.



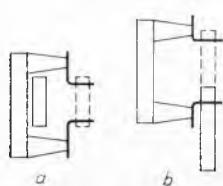
Sl. 75. Primjena brzih aparata za uzemljenje. P zajednički prekidač, Z brzi jednopolni aparat za uzemljenje, R rastavljač, T transformator, r termički relj, 1-3 izlazni vodovi

Za rastavljače treba izolaciju rastavnog razmaka (među stekalkama otvorenog pola) dimenzionirati jače nego izolaciju među fazama ili izolaciju prema zemlji. Tako npr. rastavljač nazivnog napona 12 kV moraju na rastavnom razmaku izdržati udarni napon 85 kV i jednominutni izmjenični napon 45 kV, a za izolaciju među

fazama i prema zemlji propisuje se 75 kV udarnog i 35 kV izmjeničnog napona.

Aparati za uzemljenje ne moraju imati povećanu probojnu čvrstoću na otvoru noža. Iako u normalnim pogonskim uvjetima ne vode struju, od njih se u zatvorenom položaju zahtijeva termička i dinamička otpornost prema kratkotrajnim strujama kratkog spoja koje bi se mogle pojavitи uslijed pogrešne manipulacije ili kvara. Grade se, međutim, i aparati za uzemljenje sa brzim zatvaranjem koji imaju kratkospojnu uklopnu moć. Jednu od primjena takvih aparata pokazuje sl. 75.

Zajednički prekidač P, smješten u glavnoj stanicu, služi za napajanje nekoliko izlaznih vodova (a, b, c) udaljene postanice. Ako u jednom odvodu proradi termička zaštita r transformatora T, zatvori se jednopolni brzi aparat za uzemljenje Z. Uslijed toga poteče struja jednofaznog zemnog spoja, koja izazove isklapanje prekidača P. Nakon otvaranja rastavljača R i aparata Z u ostecenom odvoju mogu se uklapanjem prekidača P ostali potrošači ponovo staviti u pogon.

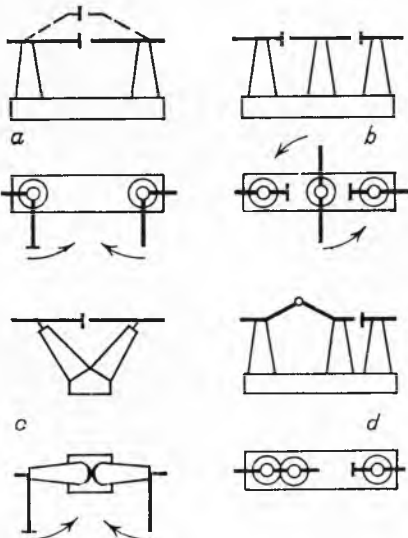


Sl. 76. Rastavljači s dvostrukim prekidom (a) i s kliznim noževima (b)

Otvaranjem rastavljača izvedenih po konceptiji sl. 74 povećava se njihova visina u smjeru osi izolatora tako da je $h_2/h_1 \approx 2 \dots 2,5$. Za slučajeve kada je upravo ova dimenzija kritična s obzirom na raspoloživi prostor, grade se posebne izvedbe, kao što su *rastavljači s dvostrukim prekidom* (sl. 76 a) i *rastavljači s kliznim noževima* (sl. 76 b). Pomični kontakti prihvati translatorno se spuštaju među izolatore, a pomični kontakti drugih izvlače se u smjeru svoje osi.

Za *rastavljače visokih i vrlo visokih napona* postoji mnoštvo konstrukcijskih oblika. Oni se mogu podijeliti u dvije osnovne grupe. Aparati prve grupe, tzv. višestupni rastavljači, imaju po fazi 2 ili 3 izolatora kojima su obe čvrsta kontakta (ulazni i izlazni) mehanički vezana uz postolje pola. Aparati druge grupe, tzv. jednostupni rastavljači, imaju u svakoj fazi samo jedan izolator s pripadnim čvrstim kontaktom, a drugi je kontakt odvojeno zavješen na vodiču sabirnice iznad rastavljača.

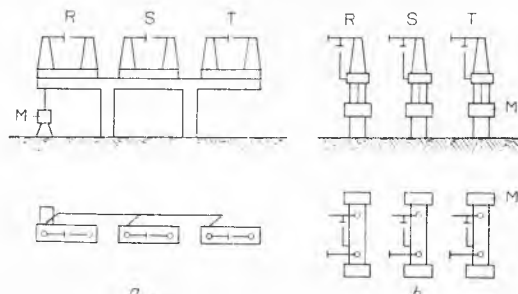
Nekoliko je karakterističnih oblika *višestupnih izvedbi* shematski prikazano u sl. 77, gdje tlocrti pokazuju otvoreni, a nacrti zatvoreni položaj. U izvedbi na sl. 77 a rotiraju ova izolatora, a u izvedbi na sl. 77 b samo se srednji izolator vrti oko svoje osi; u ova slučaja kontakti se noževi kreću u horizontalnoj ravnni. Ako se



Sl. 77. Oblici rastavljača sa 2 i 3 izolatora po fazama. a Dva okretna izolatora, b jedan (srednji) okretni izolator, c dva okretna izolatora postavljena u obliku slova V, d jedan (srednji) klizni izolator

noževi izvedbe sl. 77 a montiraju u kosom položaju, kako je crtano naznačeno, može se smanjiti razmak medu paralelnim fazama. Primjenom aparata s okretnim izolatorima u obliku slova V (izvedba na sl. 77 c) smanjuje se tlocrtna površina, a betonski ili čelični nogari reduciraju se na jedan stup po fazi. U izvedbi na sl. 77 d pomiče se srednji izolator duž postolja, a kontakti pri otvaranju ne izlaze iz ravnine pola, što omogućuje najmanji fazni razmak.

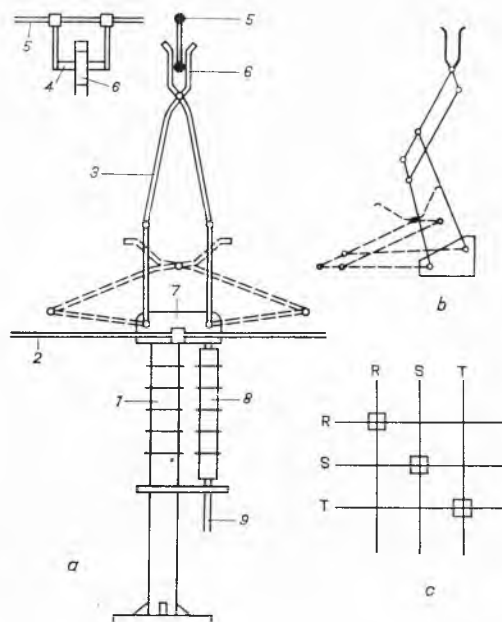
Dok se rastavljači za srednje napone grade kao tropolne jedinice sa zajedničkim okvirom, za visoke napone proizvode se aparati s odvojenim polovima. Prostorni razmještaj polova ovisi o konцепciji postrojenja. Na sl. 78 vide se dva tipična rasporeda: »u brazdi« (sl. 78 a) i »u paraleli« (sl. 78 b). Sl. 78 a prikazuje manji rastavljač bez noževa za uzemljenje, kojemu su pogonske osovine polova povezane polužjem, te se pokreću zajedničkim mehanizmom M.



Sl. 78. Raspored polova: a u brazdi, b u paraleli

U primjeru sl. 78 b, koji se odnosi na veće aparate s noževima za uzemljenje, svaki pol ima dva vlastita mehanizma: jedan pokreće glavni nož, a drugi pokreće nož za uzemljenje.

Od jednostupnih izvedbi našle su široku primjenu konstrukcije pantografskih (sl. 79 a) i semipantografskih rastavljača (sl. 79 b).



Sl. 79. Jednostupni rastavljači. a Pantografski (simetrični), b semipantografski (nesimetrični) rastavljač, c tlocrt tropolnog aparata s dijagonalnim rasporedom polova

Na glavi potpornog izolatora 1 smješten je karter prenosnog mehanizma 7 s pantografskim polužjem 3 i kontaktnim klještim 6, koja u zatvorenom položaju aparata hvataju nepomični kontakt 4 na gornjoj sabirnici 5. Donja sabirnica 2 stegnuta je priključnicom na karteru 7. Pogonski se mehanizam priključuje na osovinu 9 s okretnim izolatorom 8. Nesimetričnim oblikom polužja prema sl. 79 b mogu se smanjiti horizontalne dimenzije aparata u otvorenom položaju. Tlocrt tropolnog aparata (sl. 79 c) prikazuje tipičan raspored polova »u dijagonali«.

Pogon rastavljača. Za sklapanje rastavljača primjenjuje se direktni ručni pogon uklopnom motkom, polužni ručni mehanizam, pneumatski ili hidraulički pogon i elektromotorni pogon. Prvi način dolazi u obzir za male rastavljače prema sl. 74. Njihovi noževi imaju u tu svrhu posebne ušice, u koje se pri sklapanju stavlja kuka na kraju izolacione uklopne motke. Ovaj način treba izbjegavati zbog opasnosti za pogonsko osoblje. Pri drugom se načinu zakretanje ručice, koja ima oblik stremena ili volana, prenosi sistemom polužja na pogonsku osovinu rastavljača. Za veće aparate i za primjenu daljinskog upravljanja dolaze u obzir samo

pneumatski, hidraulički ili elektromotorni pogon, pri čemu se pogonski mehanizam prigrađuje na postolje rastavljača ili montira odvojeno, kao što je označeno u sl. 78.

Visokonaponski osigurači

Visokonaponski osigurači služe za zaštitu naponskih mjernih transformatora i manjih transformatorskih stanica od struja kratkog spoja. Grade se većinom do nazivnog napona 30 kV, rjeđe za više napone. Zbog predužih rastalnih vremena u području manjih struja (do 10-struke nazivne struje I_n za starije izvedbe) treba zaštitu od pogonskih preopterećenja provesti drugim sredstvima (v. sl. 65 b). Upotrebo novih konstrukcija spušta se ova donja granica na 2,5 I_n .

Osigurači s rastalnicom u zraku. Za umjerene napone i struje do nekoliko desetaka ampera susreću se jednostavne izvedbe *zračnih osigurača* s dugačkim rastalnicama, koje se, ako su posrijedi osigurači unutarnje montaže, nalaze u osi vertikalno položenih keramičkih cijevi. Za vanjsku montažu može se rastalnica 1 prema sl. 80 a slobodno razapeti u horizontalnom položaju među rogovima 2 na kojima se luk produljuje i gasi. Ako pregore rastalnice u više faza, može doći do spajanja susjednih lukova i premoštenja faza ispred osigurača.

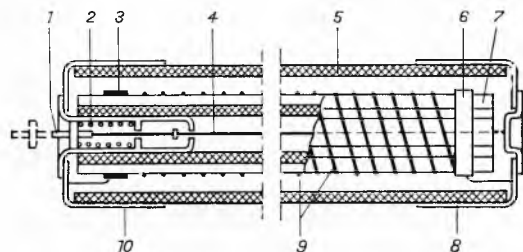
Veće se prekidne moći (~ 3 kA uz napon 20 kV) postižu *ekspulzionim osiguračima* prema sl. 80 b. Tu se kratka rastalnica 1 nalazi u cijevi od plinotvornog materijala 5. Gornjim je krajem spojena na priključnu kapu 3, a donjim na fleksibilnu bakrenu pletenicu 4, koja je galvanski vezana s donjom priključnicom 6. Plinovi koji nastaju djelovanjem luka na cijev izbacuju pletenicu kroz donji otvor i tako prođužuju i gase luk. Prekidanje traje obično nekoliko poluperioda. U instalaciji takvih osigurača treba paziti da im se susjedni dijelovi ne približe preko granice opasne zone u kojoj su ispušni plinovi još vrući i ionizirani. Osigurači s rastalnim žicama u zraku ne mogu se upotrijebiti za više napone jer prejako električno polje na površini vodiča izaziva efekte korone sa stvaranjem ozona, što razara rastalnicu i uzrokuje neželeno prekidanje.

Tekućinski osigurači. Mnogi su nedostaci zračnih i ekspulzionih izvedbi otklonjeni konstrukcijom osigurača u kojima se rastalnica nalazi u tekućini, prema sl. 81.

Staklena cijev 7 napunjena je po-godnim uljem ili tekućim ugljik-te-trakloridom 6. Rastalnica 4, kojoj se radi mehaničkog pojačanja dodaje paralelni vodič 3 od materijala velikog specifičnog otpora, napeta je vlačnom oprugom 2. Rastalni vodiči vezani su gornjim krajem na priključnicu 5, a donjim, preko bakrene pletenice 1, na priključnicu 8. Pošto se rastalnica 4, poteče puna struja kroz paralelni vodič 3, koji se također rastali i time stvara električni luk. Djelovanjem opruge luk se naglo prodiži i ugasi slično kao u uljnom prekidaču koji bi imao vanredno veliku brzinu otvaranja. Efekt gašenja može se pojaćati specijalnim klipom 9 s uskim provrtima. U tom je slučaju cijev napunjena tekućim medijem samo do visine klipa koji prisilnim kretanjem prema dolje kroz svoje provrte ubacuje mlaz tekućine u prostor luka.

Osigurači s rastalnicom u zrnatim tvarima. Naprijed opisani osigurači ipak ne mogu udovoljiti sve strožim zahtjevima suvremene zaštite, od kojih su najvažniji: velika prekidna moć, brzo prekidanje kratkog spoja, precizna vremensko-strujna karakteristika prekidanja u slučaju manjih preopterećenja, mogućnost propuštanja velikih trenutnih preopterećenja, prekidanje bez stvaranja opasnih prepona. Od osigurača se traži da i najveće struje prekida bez vanjskih manifestacija (ispušnih plinova i sl.) u bilo kojem položaju rastalnog uloška (patrone). Takvim zahtjevima odgovaraju jedino osigurači punjeni čvrstim sitnozrnatim mate-

rijalima, među koje ide u prvom redu čisti kremenij pjesak (SiO_2). Poznata je primjena i nekih drugih sirkih materijala (krede, sadre, mramornog brašna, milovke, borne kiseline), ali se ona zbog visoke cijene i nekih tehničkih nedostataka ograničava samo na specijalne izvedbe. Cijevi uložaka izradene su od keramike velike mehaničke čvrstoće ili od vatrostalnog stakla (Pyrex), a rastalnice od jedne ili više srebrenih žica ili traka. U starijim izvedbama nailazi se i na



Sl. 82. Osigurači s kremenim pjeskom. 1 Udarni svornik, 2 tlačna opruga, 3 prsten, 4 pomoćna rastalnica, 5 porculanska cijev, 6 prsten, 7 steatitno tijelo, 8 priključna kapa, 9 glavna rastalnica, 10 priključna kapa

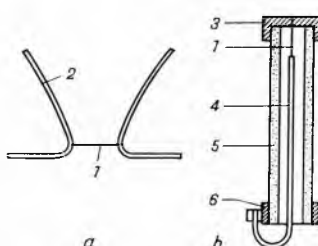
primjenu bakra, olova i cinka. Bakru se zbog znatne oksidacije pri višim temperaturama mijenja vodljivi presjek, a time i karakteristika taljenja. Rastalnice od ostalih spomenutih metala imaju veći specifični otpor i niže talište, a stoga i veći presjek za jednaku nazivnu struju. To otežava prekidanje uslijed veće količine metalnih para u luku. Princip konstrukcije uloška sa zrnatim materijalom vidi se u sl. 82.

U porculanskoj cijevi 5 nalazi se steatitno tijelo 7 poprečnog presjeka u obliku zvjezdice, s aksijalnim cilindričnim provrtom i vanjskim uzdužnim rebrima. Na rebra je spiralno namotana glavna rastalnica 9 od jedne ili više kalibriranih srebrenih žica ili traka. Njeni su krajevi zalemjeni na prstene 3 i 6, galvanski vezane s priključnim kapama 1 i 8. Kroz provrt tijela 7 prolazi pomoćna rastalnica 4 manjeg presjeka, izradena od materijala većeg specifičnog otpora (čelika, volframa). Ona je jednim krajem vezana na kapu 8, a drugim na udarni svornik 1. Pomoćna rastalnica pregara tek nakon taljenja glavne rastalnice, te osloboda udarni svornik, koji pod pritisom tlačne opruge 2 iskoči u crtkano označeni položaj. Njegova je funkcija ili da služi kao indikator stanja osigurača (optička signalizacija) ili da mehanički prenese impuls na okidač drugog aparat. Provrt izolacionog tijela 7 i prostor između njega i vanjske cijevi 5 ispunjeni su kremenim pjeskom velike čistoće i određene granulacije (veličine zrnaca).

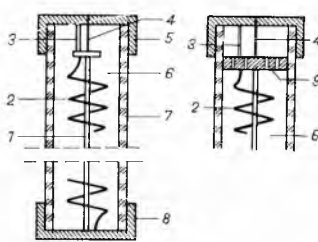
Zbog velike rashladne površine u malom volumenu, dobre toplinske vodljivosti ($1,2 \dots 6,5 \text{ W/Km}$) i znatnog utroška topline za promjenu svog fizikalnog stanja (vitrifikaciju), zrnati SiO_2 osobito je povoljan kao sredstvo za gašenje i brzu deionizaciju luka, koji u njemu gori s velikim gradijentom (do 600 V/cm).

Karakteristike osigurača. Ukupno trajanje prekidanja t_p (od nastanka preopterećenja do gašenja luka) sastoji se od rastalnog vremena t_r , potrebnog za taljenje rastalnice i trajanja luka t_A . Dok struje ne prekoraci određenu granicu, ovi se intervali protežu na nekoliko poluvalova pogonske frekvencije, kako se to vidi iz oscilogramma struje i i pada napona p_A na stezaljkama osigurača, prikazanih u sl. 83. Zbog velikog otpora i napona luka smanjuju se amplitude struje u intervalu t_A . Nakon prekida struje u prirodnoj nultočki javlja se na osiguraču sinusus povratni napon.

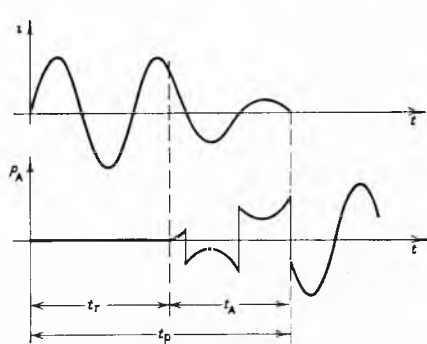
Odrezana struja. Drugačiji je karakter pojava kad osigurač prekida velike struje kratkog spoja. Usljed goleme gustoće struje



Sl. 80. Osigurači male prekidne moći: a zračni, b ekspulzionalni. 1 Rastalnica, 2 rogovi, 3 priključna kapa, 4 bakrena pletenica, 5 cijev od plinotvornog materijala, 6 donja priključnica

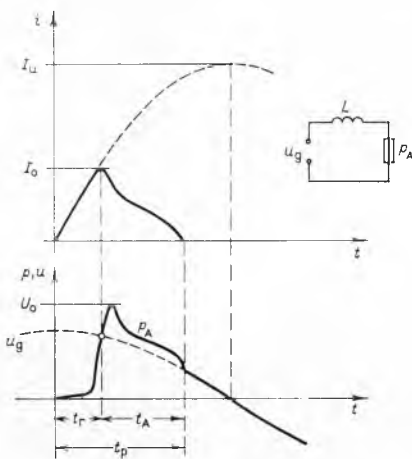


Sl. 81. Tekućinski osigurači. 1 Bakrena pletenica, 2 vlačna opruga, 3 paralelni vodič, 4 rastalnica, 5 priključnica, 6 ulje ili tekući ugljikov traklorid, 7 staklena cijev, 8 priključnica, 9 klip s provrtima



Sl. 83. Prekidanje struje preopterećenja. p_A Pad napona na stezaljkama osigurača, t_p ukupno trajanje prekidanja, t_r rastalno vrijeme, t_A trajanje luka

u rastalnici skraćuje se, kako pokazuje sl. 84, interval taljenja t_r na početni dio prvog poluvala, a zbog energijske deionizacije u zrnatom mediju počinje se struja odmah zatim smanjivati prema nuli. Njena maksimalna propuštena vrijednost I_0 , nazvana određenom strujom, samo je dio tjemene vrijednosti I_u udarne struje kratkog spoja. Nagla promjena gradijenta struje nakon prolaza

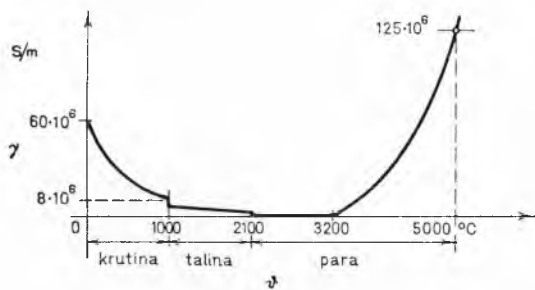


Sl. 84. Prekidanje kratkog spoja, p_A Pad napona na stezaljima osigurača, t_r ukupno trajanje prekidanja, t_p rastalno vrijeme, t_A trajanje luka, I_0 određena struja, I_u tjemena vrijednost prirodne struje, u_g napon izvora

kroz maksimum I_0 uzrokuje porast napona osigurača na iznos U_0 , koji je viši od napona izvora u_g . To proizlazi iz sheme induktivnoga kruga prema sl. 84, kojemu odgovara jednadžba

$$p_A = u_g - L \frac{di}{dt}.$$

Zbog negativne derivacije struje u intervalu luka t_A , drugi je član desne strane pozitivan, te je $p_A > u_g$. Nagli porast napona u intervalu taljenja t_r posljedica je vrlo velikog specifičnog otpora ρ rastaljenog srebra rastalnice. Promjenu električne specifične vodljivosti srebra $\gamma = 1/\rho$ u različitim agregatnim stanjima kao funkciju temperature ϑ prikazuje dijagram u sl. 85. Velike gustoće struje, koje su pri kratkom spoju i veće od 10 kA/mm^2 , dovode do naglog taljenja i isparavanja rastalnice. Ionizirana para srebra difundira u zrnatim medijima, te se vodljivi presjek gotovo trenutno smanji na nulu.



Sl. 85. Specifična vodljivost srebra ($\gamma = 1/\rho$) kao funkcija temperature (θ)

Visina odrežane struje I_0 ovisi o nazivnoj struci osigurača I_{n3} koju on trajno podnosi, i efektivne vrijednosti simetrične komponente struje kratkog spoja I_K , a određuje se iz »karakteristike rezanja« prema sl. 86. Ona je u dvostruko logaritamskom koordinatnom sustavu I_0 , I_K prikazana paralelnim prvcima $I_n = \text{konst}$, koji su s lijeve strane ograničeni prvcima udarne struje (najveće struje koja se pojavljuje u slučaju kratkog spoja) $I_u = n I_K$. Faktor asimetrije n ovisi o trenutku pojave kratkog spoja, te se kreće u granicama $\sqrt{2} \leq n \leq 1,8 \sqrt{2}$. Donja granica (prvac $I_{us} = \sqrt{2} I_K$), vrijedi za slučaj pune simetrije, tj. struju bez istosmjerne komponente, a gornja (prvac $I_{ua} = 1,8 \sqrt{2} I_K$) za najveću moguću

asimetriju. Debelo izvučene linije odgovaraju nekom srednjem slučaju asimetrije (prvac I_u između oba granična pravca) uz nazivnu struju osigurača I_{n3} . Struja kratkog spoja određene efektivne vrijednosti I_{KB} bit će u tom slučaju ograničena na maksimalni iznos I_{0B} (ordinata točke B), dok bi bez osigurača struja postigla amplitudu jednaku ordinati točke A. Lijevo od točke C (tj. za struje $I_K < I_{KC}$) nema više rezanja struje, te osigurač propušta tjemenu vrijednost I_u .

Na osnovi sl. 84 može se početni dio simetrične struje kratkog spoja (nastalog u trenutku kad napon prolazi kroz maksimum) aproksimirati pravcem

$$i = a t, \quad (22)$$

čiji je koeficijent smjera

$$a = \left(\frac{di}{dt} \right)_0 = \frac{d}{dt} (I_u \sin \omega t)_0 = \omega I_u = \frac{I_0}{t_r}. \quad (23)$$

Odatle slijedi rastalno vrijeme

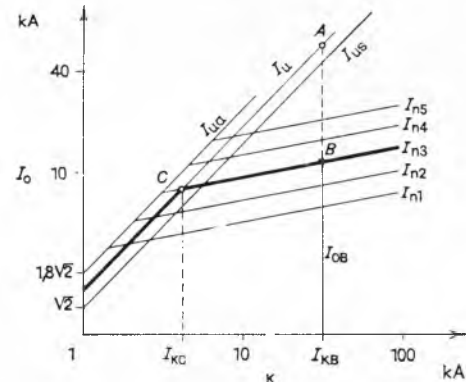
$$t_r = \frac{I_0}{\omega I_u}. \quad (24)$$

Ako se za vrijeme taljenja zanemari prelaz topline na pjesak, imat će Jouleovi gubici u tom intervalu, bez obzira na jakost struje, konstantnu vrijednost

$$W_r = \int_0^{t_r} R i^2 dt,$$

gdje je R srednji otpor rastalnice do trenutka t_r . Odatle se uz pomoć jednadžbi (22) do (24) dobiva relacija

$$W_r = \int_0^{t_r} R (\omega I_u t)^2 dt = \frac{R \omega^3}{3} \cdot I_u^2 t_r^3 = \frac{R \omega^2}{3} \cdot I_u^2 \left(\frac{I_0}{\omega I_u} \right)^3.$$



Sl. 86. Karakteristika rezanja struje, I_0 određena struja, I_u udarna struja, I_n nazivna struja, I_K simetrična struja kratkog spoja

Budući da je u simetričnom kratkom spoju $I_u = \sqrt{2} I_K$, slijedi iz posljednjeg izraza

$$I_0 = \sqrt[3]{\frac{3\omega W_r}{R}} \sqrt{2} I_K = K \sqrt[3]{I_K}, \quad (25)$$

ili

$$\log I_0 = \log K + \frac{1}{3} \log I_K. \quad (26)$$

Konstanta K ovisi o topolini taljenja W_r i otporu R rastalnice, pa se mijenja s nazivnom strujom I_n osigurača. Zato se jednadžba (26) može grafički prikazati familijom pravaca ($I_{n1}, I_{n2}, \dots, I_{ns}$ u sl. 86). Za dvije odabранe točke karakteristike (npr. B i C u sl. 86) daje relacija (25) ovaj omjer odrežanih struja I_0 i pripadnih efektivnih vrijednosti I_K ili amplitudu I_u :

$$\frac{I_{0B}}{I_{0C}} = \sqrt[3]{\frac{I_{KB}}{I_{KC}}} = \sqrt[3]{\frac{I_{uB}}{I_{uC}}}.$$

Iz početnog linearog porasta struje

$$i = \frac{I_0}{t_r} t$$

proizlazi Jouleov integral taljenja osigurača

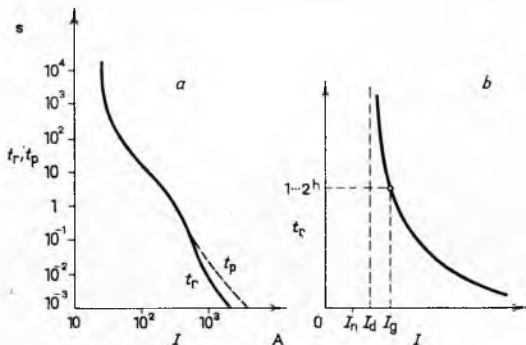
$$(I^2 t)_r = \int_0^{t_r} i^2 dt = \frac{I_0^2}{3} t_r.$$

Analogno se definira i Jouleov integral prekidanja

$$(I^2 t)_p = \int_0^{t_p} i^2 dt,$$

koji se odnosi na ukupno vrijeme $t_p = t_r + t_A$. Sa gledišta štićenog objekta veličina $(I^2 t)_p$ predstavlja specifičnu energiju koja se po jedinici otpora strujnoga kruga pretvara u toplinu. Posebno je važna za izbor ultrabrzih osigurača. (Takvi osigurači na području niskog napona služe za zaštitu osjetljivih poluvodičkih elemenata, npr. silicijevih dioda, kojih se termička izdržljivost takođe definira Jouleovim integralom.)

Ovisnost rastalnog vremena t_r i ukupnog trajanja prekidanja t_p o struci I druga je važna karakteristika osigurača. Dijagram sl. 87 a prikazuje takvu karakteristiku u dvostruko logaritamskom koordinatnom sustavu. Uz linearne mjerila vremena i struje ona poprima oblik kružnog u dijagramu sl. 87 b. U njemu su pored nazivne struje I_n označene još dvije veličine, važne za ispitivanje osigurača: donja (I_d) i gornja (I_g) granična struja. Prva predstavlja najveću struju koja još sigurno ne smije dovesti do taljenja, a struja I_g mora izazvati prekidanje nakon određenog duljeg vremena (npr. 1-2 sata).



Sl. 87. Karakteristike $t(I)$ i granične struje. a) Ovisnost rastalnog vremena t_r i ukupnog trajanja prekidanja t_p o jakosti struje I (u logaritamskom mjerilu); b) ovisnost $t_r(I)$ u linearnom mjerilu; I_d i I_g donja i gornja granična struja, I_n nazivna struja

Treba imati na umu da karakteristike $t(I)$ nisu osobito prikladne za uspoređivanje različitih tipova osigurača u području rezanja struje, jer oblik odrezane struje, a zrog toga i izmjerena vremena, ovise o trenutku uklopa na kratki spoj. Zato je ispravnije da se u spomenute karakteristike umjesto stvarno izmjerenih veličina t_r i t_p uvedu tzv. virtualna trajanja t_{vp} i t_{vp} . Takva bi se vremena taljenja i prekidanja postigla kad bi u intervalu rezanja kroz osigurač prolazila konstantna struja I_K jednaka efektivnoj vrijednosti simetrične komponente struje kratkog spoja. Struja I_K proizvela bi u rastalnici do trenutka taljenja ili prekidanja jednaku energiju u kraćem vremenu koje je definirano omjerom pripadnog Jouleovog integrala i kvadrata struje I_K :

$$t_{vp} = \frac{(I^2 t)_r}{I_K^2}, \quad t_{vp} = \frac{(I^2 t)_p}{I_K^2}.$$

Veća prekidna moć i smanjeno ugrijavanje postižu se rastalnicama s nekoliko suženih mjesta, na kojima će najprije doći do pregaranja. Posljedica toga je serijsko vezanje većeg broja lukova uz znatno viši ukupni napon luka, što olakšava prekidanje i smanjuje odrezanu struju. Kako preostali dijelovi rastalnice imaju veći presjek, bit će u trajnom radu manji ukupni gubici snage, a time i niža pogonska temperatura osigurača. Na rastalnicama od

okrugle srebrene žice jednolikog presjeka formiraju se pri taljenju sama od sebe sužena mjesta, ali u znatno manjoj mjeri. Rastaljeni se metal nastoji razdvojiti na kratke odsječke, koji se pod djelovanjem napetosti površine skupljaju u kapljice na razmacima 1-2 mm. Zbog toga se medju kapljicama smanjuje presjek metala, te se ovaj naglo ispari i zatim kondenzira na hladnom pjesku. Ponovnim isparivanjem tako nastalog sloja stvara se nevodljiva sinterovana smjesa u obliku gusjenice, koja osigurava definitivni prekid struje.

Ako se zanemari odvod topline kroz metalni strujni put i pjesak, može se trajanje taljenja izraziti jednadžbom

$$t_r \approx \frac{W_r}{I_d^2 R} = \frac{W_r}{I_d^2 \varrho l} \frac{S}{l} = \left(\frac{S}{I_d} \right)^2 \frac{W_r}{\varrho l S} = \frac{K_r}{\sigma^2}.$$

Pri tome je W_r potrebna toplina ugrijavanja i taljenja, I_d donja granična struja, R srednji otpor rastalnice u promatranoj intervalu, S presjek suženog mjesta, l duljina suženog mjesta, ϱ srednji specifični otpor rastalnice, σ gustoća struje u smanjenom presjeku. Veličina

$$K_r = \frac{W_r}{\varrho l S} = \sigma^2 t_r,$$

poznata pod imenom Meyerove konstante, ovisi o svojstvima materijala rastalnice (specifičnoj vodljivosti $\gamma = 1/\varrho$ i toplini taljenja po jedinici volumena $W_r/l S$). Njena vrijednost za srebro iznosi otprilike 72 000, za bakar $\sim 100 000 \text{ A}^2 \text{ s/mm}^4$.

Povećana termička tromost zahtijeva se često u području manjih struja, da ne bi dolazio do čestih prekidanja uslijed kratkotrajanog pogonskih preopterećenja. To se postiže tako da se neposredno uz neka od uskih mjesta naleti prikladna legura nižeg tališta (npr. legura kositra i olova). Pri zagrijavanju rastalnice legura difundira u osnovni materijal spomenutih uskih mjesta. Time nastaje lokalno povećanje mase i smanjenje tališta (metallurški efekti). Veća masa pridonosi produljenju rastalnog vremena t_r , ali će se u periodu preopterećenja, zbog nižeg tališta, luk najprije pojavit na tom mjestu. Opisane rastalnice imaju, prema tome, točno definirane zone preopterećenja (uska mjesta s lemom) i zone kratkog spoja (uska mjesta bez lema).

Kompletne osigurači sadrže rastalne uloške (patrone) i pri-padna podnožja, koja se sastoje od postolja i potpornih izolatora s kontaktnim viljuškama i priključnicama za vodove. Patrone se svojim krajnjim metalnim kapama ulažu u viljuške podnožje. Uz nazivni napon (jednak maksimalnom pogonskom naponu mreže) i nazivnu struju, najvažnija im je karakteristika prekidna moć. Ona je definirana najvećom efektivnom vrijednošću simetrične komponente prirodne struje kratkog spoja koju osigurač može prekinuti (bez obzira na to što je stvarna struja u procesu prekidanja ograničena na vrijednost odrezane struje). Izražena kao ekvivalentna troplna snaga, prekidna se moć normalno kreće u granicama do 1000 MVA uz 10 kV, odnosno 1500 MVA uz 30 kV.

Prenapone koje osigurači uzrokuju naglim prekidanjem treba ograniciti prikladnom izvedbom. Najjednostavniji bi način bio skraćenje rastalnice ili povećanje granulacije pjeska, ali se time smanjuje prekidna moć. Dobri se rezultati postižu paralelnim ili serijskim spajanjem više rastalnih vodiča različitog presjeka, koji sukcesivno pregaraju. Na taj se način u strujni krug postepeno uključuje sve veći otpor, odn. sve veća duljina luka.

Odvodnici prenapona

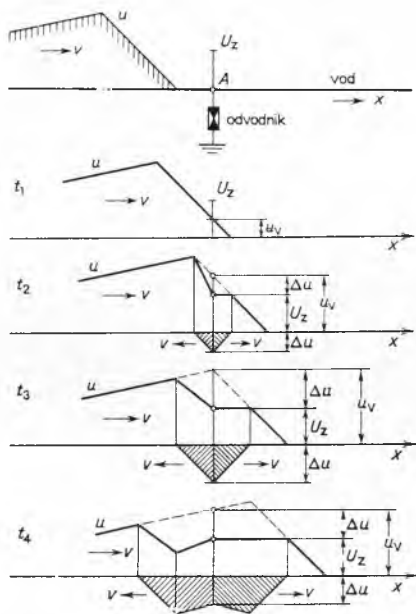
Atmosferska izbjivanja, procesi sklapanja i druge nagle promjene stanja u mrežama mogu biti uzrok visokih prenapona, koji po svom iznosu nadmašuju podnose napone pojedinih elemenata mreže. Takvi bi prenaponi u postrojenju doveli do probroja izolaciije i duljih prekida u dobavi energije. Za zaštitu od spomenutih pojava služe odvodnici prenapona, koji se najčešće priključuju između pojedinog faznog voda i zemlje. Oni ograničuju visinu tranzientnih prenapona time što sa štićenog objekta odvode višak naboja, pri čemu kroz odvodnik prode udarni val odvodne struje. Ujedno ograničuju trajanje (a često i amplitudu) popratne struje, koja nakon prolaza odvodne struje poteče odvodnikom pod djelovanjem pogonskog napona mreže.

Utjecaj odvodnika na prostorno širenje prenapona duž voda može se objasniti slikom 88. U slici se radi jednostavnosti pret-

postavlja »idealno« djelovanje odvodnika kojim se maksimalni napon voda u priključnoj točki A ograničuje na konstantnu vrijednost U_z (v. sl. 89 a). Udarni naponski val u kreće se duž voda u smjeru x brzinom

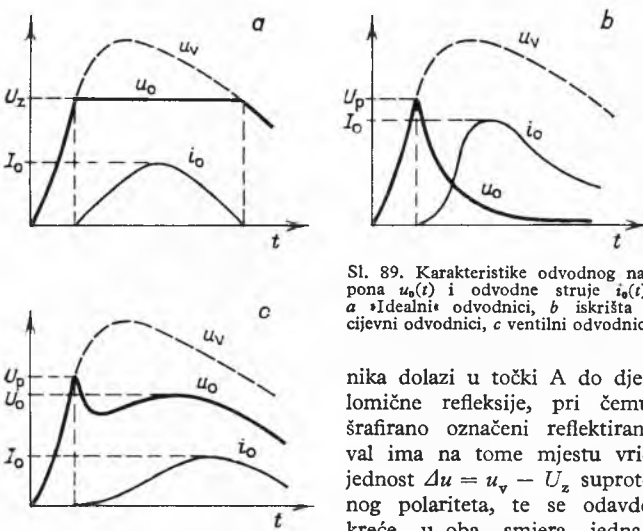
$$v = \frac{1}{\sqrt{L_1 C_1}} \approx 3 \cdot 10^8 \text{ m/s},$$

gdje su L_1 i C_1 induktivitet i kapacitet voda po jedinici duljine.



Sl. 88. Širenje prenapona na vodu koji je zaštićen »idealnim« odvodnikom. U_z zaštitni nivo odvodnika, u_v trenutna vrijednost napona koji bi udarni val u prouzeo u točki A bez djelovanja odvodnika, v brzina širenja putnih valova

Pošto je čelo vala stiglo do točke A, počinje djelovanje odvodnika, ali tek u momentu kada njegova trenutna vrijednost u_v prekorači iznos proradnog napona U_z . Dijagrami $u(x)$ pokazuju prostorno razdiobu napona u četiri različita momenta ($t_1 \dots t_4$). U momentu t_1 još je $u_v < U_z$, te val prelazi nesmetano preko priključnog mjestra. Da nema odvodnika, val bi u trenutku t_2 na mjestu A već imao nedopušteno visoku ordinatu u_v . Djelovanjem odvod-

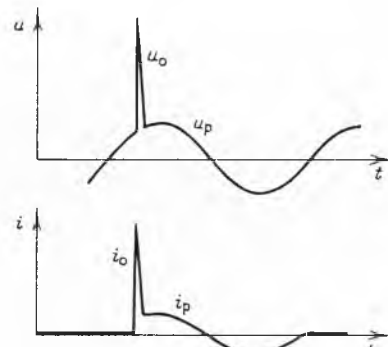


Sl. 89. Karakteristike odvodnog napona $u_0(t)$ i odvodne struje $i_0(t)$. a - Idealni odvodnici, b - iskrišta i c - cijevni odvodnici

nika dolazi u točki A do djelomične refleksije, pri čemu šrafirano označeni reflektirani val ima na tome mjestu vrijednost $\Delta u = u_v - U_z$ suprotog polariteta, te se odavde kreće u oba smjera jednako brzinom v . Razlika ordinata direktnog i reflektiranog

vala, označena debelom linijom, prikazuje rezultantni napon voda. Iz slike razdiobe napona u momentima $t_2 \dots t_4$ može se vidjeti da iza odvodnika (ako se gleda u smjeru kretanja direktnog vala)

prenapon nigdje nije veći od U_z , a ispred odvodnika njegovo se zaštitno djelovanje proteže samo na određeno područje. Stvarne su prilike složenije utoliko što se napon odvodnika $u_0(t)$ u intervalu odvođenja mijenja. U sl. 89 vidi se odstupanje od »idealne« karakteristike (prikazane u sl. 89 a) za različite konstrukcije odvodnika. Dijagram sl. 89 b odgovara otvorenim iskrištima i cijevnim odvodnicima, a dijagram sl. 89 c ventilnim (»katodnim«) odvodnicima. Krivulja u_v predviđa kako bi se mijenjao napon udarnog vala na stezaljkama odvodnika kad ovaj ne bi proradio. Zaštitnim djelovanjem, tj. propuštanjem odvodne struje $i_0(t)$, smanjuje se iznos napona udarnog vala na visinu odvodnog napona $u_0(t)$. U potpunom oscilogramu napona i struje prema sl. 90 prikazani su, osim odvodnog napona u_0 i odvodne struje i_0 (trajanja nekoliko mikrosekundi), također pogonski napon mreže u_p i popratna struja i_p .

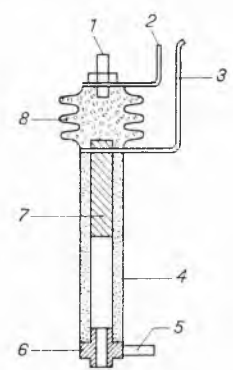


Sl. 90. Potpuni oscilogram napona i struje odvodnika. u_0 Odvodni napon, u_p pogonski napon, i_0 odvodna struja, i_p popratna struja

Iskrišta su najstarija i najjednostavnija sredstva za zaštitu od prenapona. Pružaju samo grubu zaštitu, jer im proradni napon zavisi od oblika i polariteta udarnog vala. Njihovo se zaštitno djelovanje sastoji u tome da lučnim izbijanjem spoje fazu sa zemljom, što znači da naponsko preopterećenje pretvaraju u strujno. Gašenje popratne struje (koja odgovara struji zemljospaja ili kratkog spoja) ovisi o pogonskim prilikama, te se u težim slučajevima mora prepustiti uređajima nadstrujne zaštite. Iskrišta nisu prikladna za zaštitu transformatora, jer kad ona prorade, nastaje strmo odrezanji val (v. sl. 89 b), koji može biti vrlo opasan za izolaciju namota. Iskrišta se većinom izvode sa štapnim elektrodama; one se znatno troše uslijed luka pa im se stoga mijenja proradni napon. Horizontalno smještene elektrode u obliku rogova manje se troše i bolje gase luk.

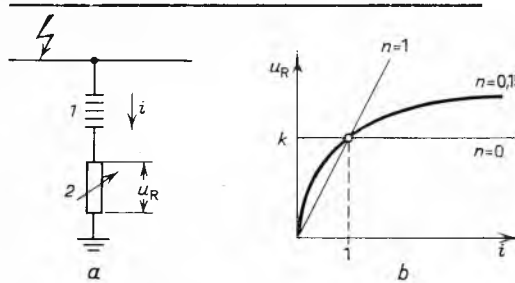
Cijevni odvodnici su zatvorena iskrišta, koja imaju znatnu prekidnu moć. Princip njihova rada može se razabrati iz sl. 91. Odvodnik ima dva u seriju spojena iskrišta: vanjsko (2/3) i unutarnje (7/6). Njihovim se probojem uspostavlja galvanska veza 1–2–luk–3–7–luk–6–5, kojom odvodna struja poteče iz faznog voda u zemlju. Svrha je vanjskog iskrišta spriječiti da izolaciona cijev 4 od plinotvornog materijala bude stalno pod naponom. Unutarnje se iskrišta sastoje od punog štapa 7 i prstenaste elektrode 6. Plin koji se djelovanjem luka oslobada iz stijenke cijevi izlazi velikom brzinom kroz otvor te elektrode. Njegovim se strujanjem luk ugasi u prvom ili drugom poluvalu popratne struje.

Ventilni odvodnici imaju jednostavno ili višestruko iskrište, serijski spojeno s jednim ili više promjenljivih otpornika. Iskrišta služe za udešavanje visine proradnog napona, neovisno o obliku i polaritetu vala, kao i za gašenje luka. Otpornici imaju nelinearnu karakteristiku napon-struja. Uz visoke prenapone djeluju kao otpornici malog otpora, koji lako pro-



Sl. 91. Cijevni odvodnik. 1 - Gornja priključnica, 2-3 - vanjsko iskrište, 4 - plinotvorna cijev, 5 - donja priključnica, 6-7 - unutarnje iskrište, 8 - porculanski izolator

puštaju velike odvodne struje, a pod normalnim pogonskim naponom kao otpornici velikog otpora, koji smanjuju amplitudu popratne struje. Ventilni odvodnik shematski prikazuje sl. 92 a, a karakteristiku nelinearnog otpornika sl. 92 b. Otpornici se izrađuju



Sl. 92. Načelna shema ventilnog odvodnika (a) i karakteristika nelinearnog otpornika (b). 1 Serijska iskrišta, 2 otpornik

od specijalnih keramičkih masa s dodatkom sitnozrnatog siličijum-karbida (karborunda), poznatih pod različitim nazivima (Thyrit, Resorbit, Vilit, Carbosial, Metrosil). Njihove su nelinearne karakteristike uzrokovane pojmom tinjanja i mikroskopskih lukova među vodljivim zrncima. Gradjenje napona nelinearnih otpornika E mijenja se s gustoćom struje i prema relaciji

$$E = a j^n, \quad 0 < n < 1,$$

gdje su a i n konstante. To znači da im specifični otpor ϱ ovisi o spomenutim veličinama po zakonu

$$\varrho = \frac{E}{j} = a j^{n-1} = \sqrt[n]{a} E^{(n-1)/n}.$$

Za otpornik duljine l i presjeka S dobivaju se na taj način, uz $k = al/S^n$, analognе relacije između otpora R , pada napona u_R i struje i :

$$R = \frac{k}{i^{1-n}} = \frac{\sqrt[n]{k}}{u_R^{(1-n)/n}},$$

$$u_R = k i^n. \quad (27)$$

Posljednju jednadžbu ilustrira dijagram u sl. 92 b. Krivulja ($n = 0,15$) odgovara suvremenim nelinearnim otpornicima, kosi pravac ($n = 1$) idealnom linearном, a horizontalni ($n = 0$) idealnom nelinearnom otporniku. Relacija (27) piše se često u obliku

$$i = C u_R^m,$$

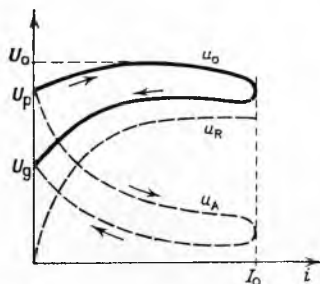
gdje je $C = 1/k^n$, $m = 1/n > 1$.

Oblak krivulje odvodnog napona $u_0(t)$ po proradi ventilnog odvodnika, prikazan u sl. 89 c, dobiva se sumiranjem krivulje napona luka na iskrištu (slične krivulje u_0 u slici 89 b) i krivulje napona na otporniku (slične krivulje u slici 92 b). Analognim se načinom dolazi do strujno-naponske karakteristike odvodnika

$$u_0(i) = u_A + u_R,$$

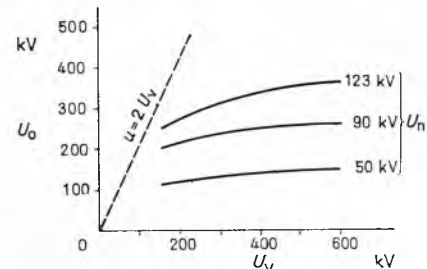
prikazane u sl. 93. Napon iskrišta u_A određen je dinamičkom karakteristikom luka koji se pali uz proradni napon U_p i gasi uz napon gašenja U_g . Njena prekretna točka odgovara udarnoj odvodnoj struci I_0 . Amplituda odvodnog napona U_0 može biti veća ili manja od proradnog napona U_p . Veća od ove dvije vrijednosti određuje zaštitni nivo odvodnika.

Točno uvezvi nije karakteristika otpora $u_R(i)$ jednostruka linija, već i ona čini usku petlju zbog toplinske histerezze.



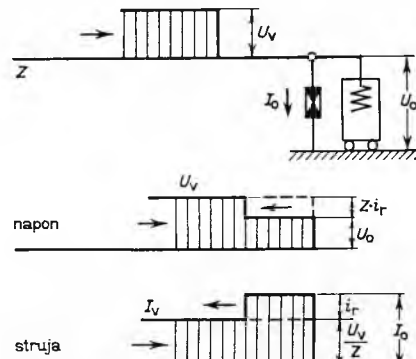
Sl. 93. Strujno-naponska karakteristika ventilnog odvodnika. u_0 Napon odvodnika, u_R napon otpornika, u_A napon iskrišta, U_p amplituda odvodnog napona, U_g proradni napon, U_g napon gašenja, i struja odvodnika, I_0 udarna odvodna struja

Preporuke IEC određuju najvišu dopuštenu vrijednost napona U_0 koja nastaje prolazom udarnog strujnog vala oblika 8/20 (trajanje čela 8 μs, trajanje hrpta 20 μs) i amplitude I_0 jednake nazivnoj odvodnoj struci.



Sl. 94. Zaštitna karakteristika ventilnog odvodnika. U_0 amplituda odvodnog napona, U_v amplituda dolaznog udarnog vala, $u = 2 U_v$ napon koji bi se uslijed refleksije pojavio na nezaštićenoj stanicji; U_n nazivni napon odvodnika

Zaštitna karakteristika ventilnog odvodnika prema sl. 94 određuje amplitudu odvodnog napona U_0 kao funkciju amplitude U_v udarnog vala koji dolazi iz velike udaljenosti. Ona se obično daje za postrojenja na kraju voda određenog valnog otpora $Z = \sqrt{L_1/C_1}$. (Za jednostruku vodiće je $Z \approx 450 \Omega$.) Na stanicama bez odvodnika pojavio bi se napon $u \approx 2 U_v$ (kosi pravac), uzrokovan refleksijom udarnog vala tjemene vrijednosti U_v . Zaštitnim djelovanjem odvodnika prenapon je ograničen na maksimalni iznos U_n , prikazan krivuljama od kojih svaka odgovara odvodniku drugog nazivnog napona U_n . Nazivni je napon odvodnika po definiciji najviša efektivna vrijednost napona pogonske frekvencije koja smije biti trajno priključena na njegove stezaljke. Prelazne pojave struje i napona u krajnjoj stanicama mogu se objasniti na temelju sl. 95. Zajedno s putnim valom napona U_v kreće se prema stanicama val struje amplitude $I_v = U_v/Z$. Kad valovi dodu



Sl. 95. Prelazne pojave u krajnjoj stanicama. U_v i I_v napon i struja dolaznog pravokutnog putnog vala, Z valni otpor voda, $Z i_r$ i i_r napon i struja reflektiranog vala

u stanicu, nastaje refleksija. Dolaznom valu struje superponira se povratni val i_r istog polariteta

$$i_r = I_0 - I_v = I_0 - \frac{U_v}{Z},$$

a dolaznom valu napona superponira se reflektirani val u_r suprotog polariteta

$$u_r = -Z i_r = U_v - Z I_0.$$

Napon na stezaljkama odvodnika iznosi

$$U_0 = U_v + u_r = 2 U_v - Z I_0 = 2 U_v - Z \cdot C U_0^m$$

odakle slijedi

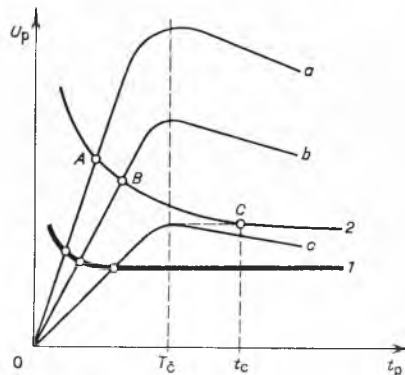
$$U_v = \frac{U_0 + Z C U_0^m}{2}.$$

Ova je relacija grafički predložena krivuljama u sl. 94.

Proradna karakteristika određuje ovisnost proradnog napona U_p o vremenu prorade t_p , kao što je prikazano krivuljom 1 u sl. 96. Ona se snima uz normalne atmosferske udarne napone oblika 1,2/50 (trajanje čela vala $T_c = 1,2 \mu s$, trajanje hrpta vala $T_h = 50 \mu s$). Za odvodnike nazivnog napona preko 100 kV i nazivne odvodne struje $I_0 = 10 \text{ kA}$ snima se proradna karakteristika i uz sklopne prenapone sa tri različita trajanja čela vala u granicama 30...60, 150...300 i 1000...2000 μs . Udarni valovi (a, b, c) različite strmine čela dovode do prorade odvodnika (probija iskršta) u različitim točkama presjeka s krivuljom 1. U dijagramu je krivuljom 2 prikazana i udarna karakteristika štićenog objekta, koja daje najveće momentane vrijednosti udarnog napona do trenutka probroja. Uz $t_p < T_c$ dolazi do probroja na čelu vala (točke A i B), uz $t_p > T_c$ na hrptu (točka C). Ordinata točke C odredena je amplitudom vala c, koji dovodi do probroja u trenutku t_c . Medunarodne preporuke IEC određuju ove ka-

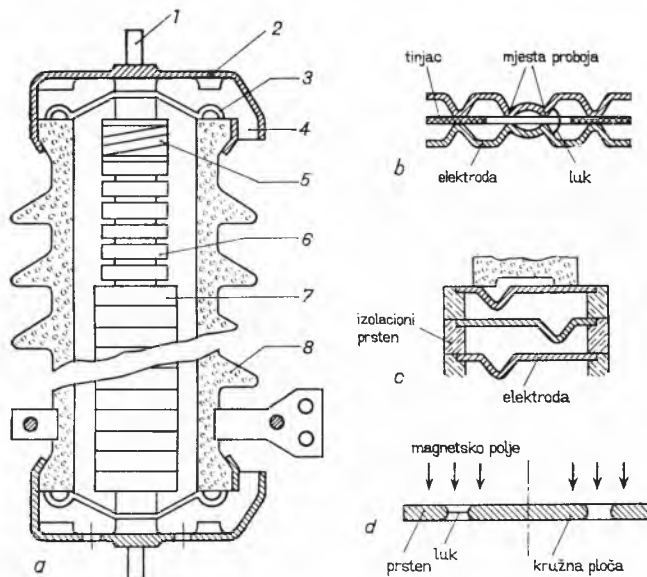
U šupljem porculanskom tijelu 8 smještena su višestruka iskršta 6 u seriji s neelinearnim otpornicima 7, koji se obično sastoje od većeg broja elemenata u obliku kružnih diskova ili prstena. U novije vrijeme rade se i kompaktni prizmatski blokovi kvadratnog presjeka (Siemens). Ovako sastavljen stup stlačen je oprugama 5 i spojen s vanjskim priključnicama 1. Unutrašnjost odvodnika hermetički je zatvorena elastičnim membranama 3, da bi se osjetljivi elementi zaštiti od utjecaja atmosfere. Membrane služe ujedno za ograničenje unutarnjeg tlaka, jer se pri određenom tlaku naglo odignu od čeonih ploha izolatora te kroz ispušne otvore 4 u kapama 2 uspostave vezu s vanjskom atmosferom. Iskršta se sastavljaju od elemenata s malim probojnim razmacima i elektrodama velike površine. Time se postiže malo rasipanje proradnog napona, a vlastiti kapaciteti osigurava jednoliku razdoblju napona na pojedine elemente. Nekoliko tipova iskršta prikazuju slike 97 b, c, d. U izvedbi sl. 97 b umetnut je među posebno formirane elektrode od kružnih limenih ploha tanki prsten od tinjca. Luk se odmah nakon prorade udalji od probojnih izbočina, koje na taj način ostaju neosjećene. Izvedba sl. 97 c predstavlja sličan princip, ali poboljšan izolacionim prstenima koji sadrže sintonizirani silicijum-karbidi, te potpomažu jednoliku raspodjelu napona. U izvedbi sl. 97 d sastoji se elementarno iskršta od dvije koncentrične limene elektrode (ploče i prstena). Luk kruži velikom brzinom u prstenskom rasporu elektroda pod djelovanjem magnetskog polja, proizvedenog permanentnim magnetom ili solenoidom. Time se znatno povećava intenzitet gašenja.

B. Belin



Sl. 96. Odnos proradne karakteristike odvodnika (1) prema udarnoj karakteristici štićenog objekta (2). U_p proradni (probajni) napon, t_p vrijeme prorade (probija), a...c udarni naponi jednakog trajanja čela T_c i različite strmine

rakteristične vrijednosti: a) najmanju amplitudu atmosferskog udarnog napona oblika 1,2/50 koja mora svaki put dovesti do prorade odvodnika i najviši dopušteni proradni napon uz tako definirani val; b) najviši dopušteni proradni napon na čelu



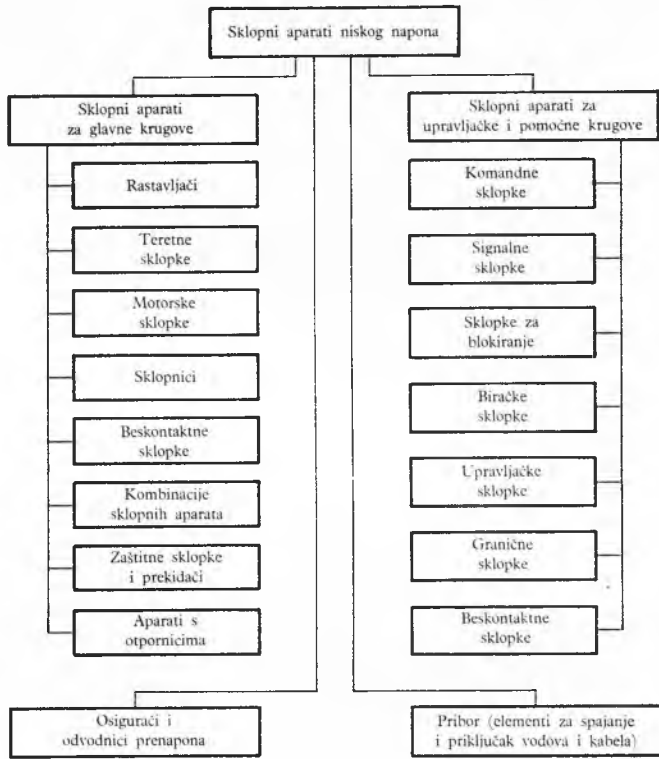
Sl. 97. Princip konstrukcije ventilnog odvodnika. a) Presjek odvodnika; b, c i d različiti tipovi iskršta; 1 priključnica, 2 metalna kapa, 3 elastična membrana za ograničenje pretlaka, 4 ispušni otvor, 5 tlačna opruga, 6 srijsko iskršta, 7 neelinearni otpornik, 8 porculansko tijelo

vala odredene strmine s, koja se za nazivne napone odvodnika $U_n \leq 123 \text{ kV}$ može aproksimirati izrazom $s \approx 100 U_n / 12$ (s je izraženo u $\text{kV}/\mu\text{s}$, U_n u kV).

Načeli uvid u konstrukciju ventilnog odvodnika daje sl. 97 a.

SKLOPNI APARATI NISKOG NAPONA

Sklopni aparati niskog napona služe za sklapanje glavnih, upravljačkih i pomoćnih krugova, a primjenjuju se uglavnom u niskonaponskim distribucionim i industrijskim postrojenjima i uređajima. Oni se prema svojoj namjeni mogu podijeliti na sklopne aparate za glavne krugove, sklopne aparate za upravljačke i pomoćne krugove, niskonaponske odvodnike, osigurače i pribor koji obuhvaća različite elemente za spajanje i priključak vodova i kabela.



Sl. 98. Podjela sklopnih aparata niskog napona

Pojedine grupe niskonaponskih sklopnih aparata mogu se i dalje podijeliti na više načina, npr. prema načinu rada, prema vrsti pogona, prema sklopnoj moći, prema načinu gašenja luka i prema namjeni.

U ovom je članku za opis i obradu sklopnih aparata niskog napona prihvaćena osnovna namjenska podjela prikazana na slici 98.

Sklopni aparati koji se upotrebljavaju u električnim instalacijama obrađeni su i opisani u članku *Električne instalacije*, str. 6...8.

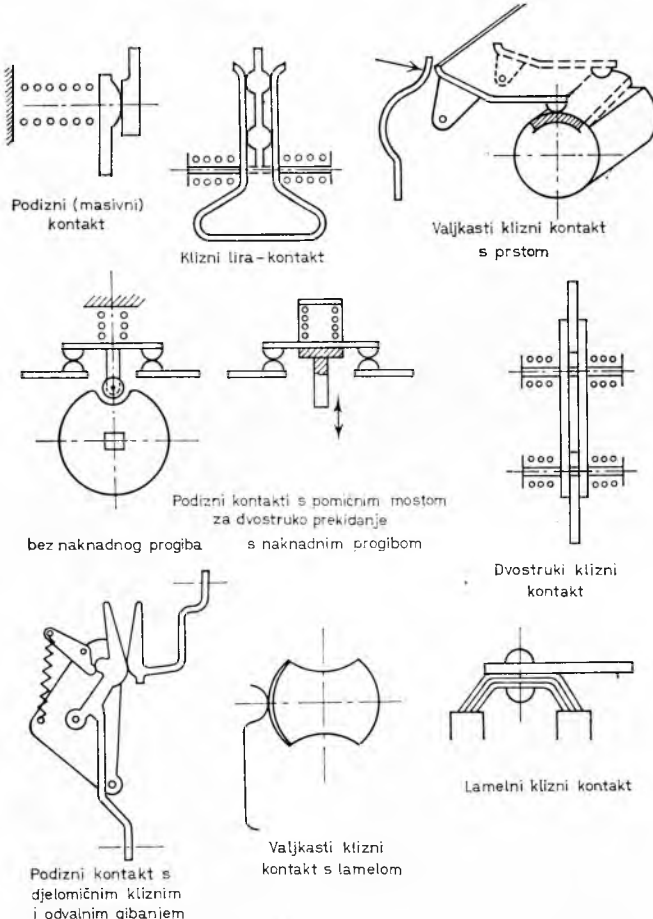
U vezi s opisom niskonaponskih sklopnih aparata upotrijebljeni su različiti pojmovi koji se odnose na njihove karakteristike. Neki od njih spomenuti su već ranije. Među te pojmove idu: prekidna snaga, prekidna moć, uklopna moć (v. str. 121), sklopni

ciklus (jedno uklapanje i isklapanje), mehanička trajnost (ukupni broj sklopnih ciklusa koji aparat izdrži u neopterećenom stanju), učestalost sklapanja (broj sklopnih ciklusa u jednom satu), i trajnost kontakata.

Zaštita sklopnih aparata niskog napona. Prema svom smještaju na električnim uređajima i postrojenjima aparati niskog napona mogu biti posve otvoreni (nezaštićeni) ili zaštićeni svojim kućištem. Primjenjuju se ove glavne vrste zaštite: zaštita od dodira dijelova pod naponom; zaštita od štetnih utjecaja okoline (stranih tijela, prašine, vode, plinova, para i mehaničkih udaraca); zaštita od eksplozije okoline u kojoj se nalaze aparati, a koju mogu oni prouzročiti zapaljenjem eksplozivnih plinova i para iskrom, lukom, ili dijelovima ugrijanima na visoku temperaturu.

Prema preporukama IEC mehanička zaštita sklopnih aparata podijeljena je na dvije vrste: na zaštitu od dodira s dijelovima pod naponom, koja je ujedno i zaštita od prodora čvrstih tijela, i na zaštitu od prodora tekućina. Svaka od ovih dviju vrsta zaštite podijeljena je prema efikasnosti na nekoliko stupnjeva koji se označuju brojevima, a ispred kojih se stavlja oznaka IP.

Kontakti. U sklopnim se aparatima primjenjuju kontakti različitih oblika kao npr. u obliku noža, podizni kontakti, klizni kontakti, itd. Sl. 99 daje shematski pregled najvažnijih vrsta kontakata koji se primjenjuju u ovim aparatima. To su, kako se vidi, različiti klizni i podizni kontakti; kontakti drugih vrsta upotrebljavaju se manje.



Sl. 99. Shematski prikaz najvažnijih vrsta kontakata niskonaponskih sklopnih aparata

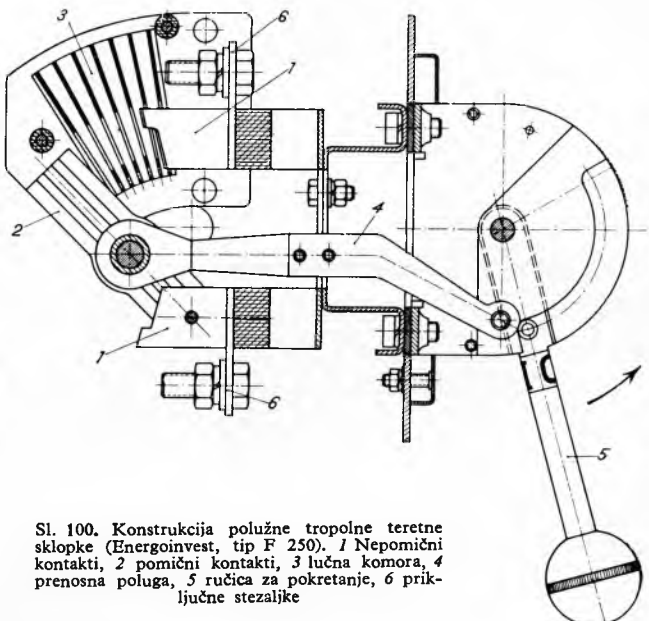
Za aparatе niskog napona koji ne prekidaju struje kratkog spoja (sklopke, sklopnike) dolaze najčešće u obzir kontakti s dvostrukim prekidanjem, na kojima se energija luka podijeli na dva prekidna mesta. Kontakti koji služe i za prekidanje struja kratkog spoja imaju veći kontaktni tlak, pa po pravilu rade s jednostrukim prekidanjem.

Sklopni aparati niskog napona za glavne strujne krugove

Rastavljači su mehanički sklopni aparati koji u principu otvaraju kontakte bez strujnog opterećenja. U otvorenom položaju moraju imati minimalni propisni razmak među kontaktima, a u zatvorenom položaju treba da izdrže struje u normalnim pogonskim uvjetima, odnosno, kroz kratko vrijeme (do reagiranja zaštite), struje kratkog spoja. Izvana mora biti dobro uočljivo da li je rastavljač uklopljen ili isklopljen. Rastavljači se grade obično kao polužne sklopke s kontaktima u obliku noža ili s podiznim kontaktima. Njihov je glavni zadatak prekidanje vodova radi zaštite poslužilaca koji rade na vodovima ili uređajima.

Rastavljači nemaju lučnu komoru. S obzirom na to da su namijenjeni rijedem sklapanju uz malu učestalost, od njih se ne zahtijeva veća mehanička trajnost.

Teretne sklopke po konstrukciji su slične rastavljačima, ali su opremljene još i lučnom komorom. One mogu po pravilu



Sl. 100. Konstrukcija polužne tropolne teretne sklopke (Energoinvest, tip F 250). 1 Nepomični kontakti, 2 pomični kontakti, 3 lučna komora, 4 prenosna poluga, 5 ručica za pokretanje, 6 priključne stezaljke

uklapati i prekidati struje do nazivne vrijednosti ($1 \dots 3 I_n$) u slabo induktivnim krugovima (sa $\cos \varphi = 0,65$ i vremenskom konstantom $T = L/R = 2,5 \text{ ms}$). Ovi sklopni aparati također nisu predviđeni za veću učestalost sklapanja. Oni se najviše upotrebljavaju u razvodnim uređajima i postrojenjima, gdje se ugradjuju u razvodne ploče, ormare i pultove.

Primjer konstrukcije polužne tropolne teretne sklopke nazivne struje 250 A prikazan je na sl. 100. Na nepomične kontakte 1 nasjeda sa svake strane pomični kontakt 2. Lučna komora 3 izvedena je na principu deion (v. str. 130). Pomični se kontakti pokreću s pomoću ručice 5 preko polužnog sistema 4. Vodovi se priključuju na stezaljke 6.

Motorske sklopke služe za uklapanje i isklapanje elektromotora pod različitim pogonskim uvjetima. Njima se sklapaju svi vodiči napojnog voda. Trajnost kontakata i mehanička trajnost suvremenih izvedbi motorskih sklopki vrlo je visoka.

Motorske sklopke sa dva ili više položaja mirovanja pokreću se obično ručno, a sklopke veće izvedbe mogu imati također pneumatski ili motorski pogon.

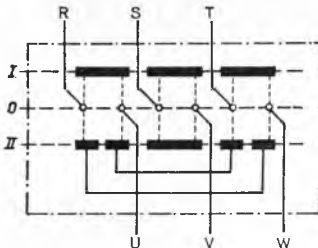
Motorske sklopke za asinhronne kavezne motore moraju biti kadre da uklape i isklape zakočeni motor kome je potezna struja višestruko veća od nazivne, a $\cos \varphi$ nepovoljan. Ti su uvjeti mnogo teži nego u pogonu nakon zleta motora. Motorske sklopke za kavezne motore proizvode se za direktno pokretanje, za promjenu smjera vrtnje (reverziranje), za pokretanje u spoju svijezdrotukut i za promjenu brzine prespajanjem broja polova (Dahlanderov spoj, motori s više brzina, v. Električni strojevi, str. 192).

Po konstrukciji mogu se motorske sklopke uglavnom podijeliti na valjkaste i grebenaste sklopke.

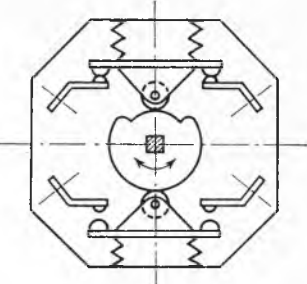
Valjkaste sklopke su po konstrukciji starije, pa se danas više mnogo ne upotrebljavaju. Sastoje se od pokretnog valjka od izolacionog materijala, opremljenog kontaktima oblozima koji kližu po nepomičnim kontaktima i u pojedinim položajima ostvaruju određene spojeve. Sheme spajanja valjkastih sklopki prikazuju se radi bolje preglednosti na razvijenom plaštu valjka. Primjer razvijene sheme valjkaste sklopke za reverziranje asinhronih motora zamjenom dviju faza vidi se na sl. 101. Položaj 0 je iskljenjen, a položaji I i II odnose se na oba smjera vrtnje.

Grebenaste sklopke (sl. 102) imaju na osovinu kolute s grebenima ili utorima koji služe za pokretanje pomičnih kontaktne dijelova. Suvremene se izvedbe ističu velikom mehaničkom trajnošću i malim dimenzijama, koje se postižu zbijenom konstrukcijom. Variranjem duljine grebena ili utora i njihova rasporeda na obodu koluta ostvaruje se redoslijed i trajanje ukljenjene i iskljenjene stanje kontakata. Na sl. 102 dva kontakta sa stezalkama nalaze se na zajedničkoj izolacionoj ploči. Za realizaciju neke sheme sklapanja potrebno je obično više takvih ploča s kontaktima, koje se nanižu na zajedničku osovinu u tzv. »paket«, pa se grebenaste sklopke ove konstrukcije zovu i *paketne sklopke*.

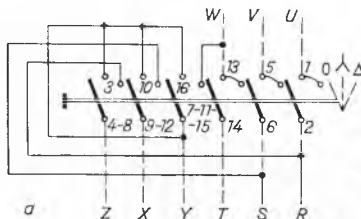
S prednje strane grebenastih sklopki nalazi se na istoj osovini razdjelnji mehanizam koji služi za zaustavljanje i držanje sklopke u svakom predvidenom položaju.



Sl. 101. Razvijena shema valjkaste sklopke za reverziranje trofaznih asinhronih motora. O osnovni položaj, I i II položaji za dva smjera vrtnje



Sl. 102. Shematski prikaz kontakata grebenaste sklopke sa dvostrukim prekidanjem



Sl. 103. Shema spoja (a) i raspored kontakata (b) grebenaste sklopke zvijezd-trokat

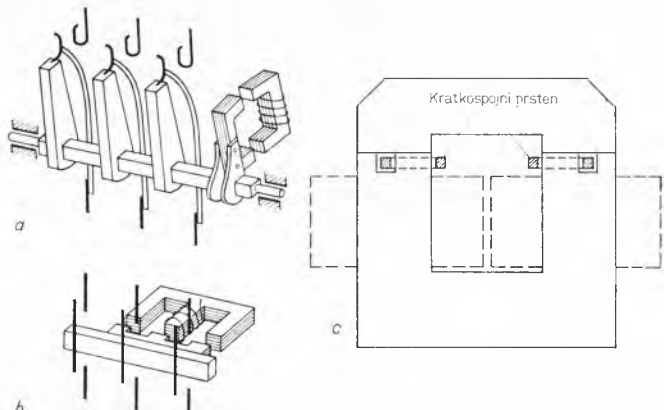
Na sl. 103 prikazan je primjer sheme spoja i rasporeda kontakata grebenaste sklopke za preklapanje motora iz zvijezde u trokat s elementima iz sl. 102.

Sklopnik ili kontaktor je daljinsko upravljeni sklopni aparat bez zapornog mehanizma, koji se prilikom isklapanja sam vraća u svoj osnovni (otvoreni) položaj. Za uklapanje i držanje u ukljenjenom položaju mora postojati neki vanjski (elektromagnetski ili pneumatski) pogonski uređaj.

Svaki se sklopnik, načelno, sastoji od pogonskog mehanizma za daljinsko pokretanje, od organa za mehanički prijenos gibanja od pogonskog mehanizma na kontakte i od kontaktne sistema.

Pogon sklopnika najčešće je elektromagnetski, a rijetko pneumatski. Za uzbudu elektromagneta može se primijeniti izmjenična ili istosmjerna struja. Jezgre elektromagneta imaju obično oblik slova U ili E (sl. 104 a, b). Jezgre oblika U izvode se s jednim ili dva svitka (na oba kraka), a jezgre oblika E s jednim svitkom na srednjem kraku. Elektromagneti napajani jednofaznom izmjeničnom strujom brude uslijed pulziranja privlačne sile dok su uzbudeni. Radi sprečavanja tog bruhanja postavljaju se u polove jezgre kratkospojni prstenovi koji obuhvaćaju samo dio pola (sl. 104 c). Magnetski tok što ga uzrokuje struja koja se po-

javljuje u kratkospojnom prstenu nije u fazi s tokom što ga provodi uzbudni svitak. Prema tome rezultirajući tok i ukupna



Sl. 104. Različite jezgre sklopnika. a Jezgra u obliku slova U, b jezgra u obliku slova E, c jezgra s kratkospojnim prstenom

privlačna sila elektromagneta nikad nije jednaka nuli jer se nultočke tokova kroz prsten i izvan prstena vremenski ne podudaraju. Rezultirajuća privlačna sila može se odrediti iz izraza

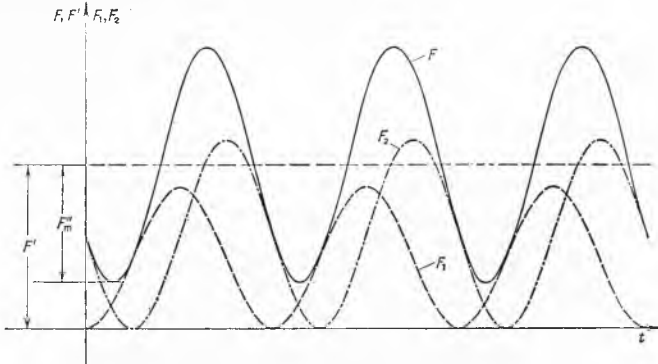
$$F = \frac{1}{2} \frac{B^2}{\mu_0} S = \frac{1}{2} \frac{\Phi_{vm}^2}{(1-a)S} \sin^2 \omega t + \frac{\Phi_{um}^2}{aS} \sin^2(\omega t - \varphi) = F_1 + F_2,$$

u kojem je F_1 sila na dijelu pola izvan prstena, F_2 sila na dijelu pola obuhvaćenom prstenom, B magnetska indukcija, μ_0 permeabilitet vakuuma ($= 4\pi \cdot 10^{-7}$ H/m), S ukupna površina pola, a dio površine pola obuhvaćen kratkospojnim prstenom, Φ_{vm} amplituda toka kroz dio pola izvan prstena, Φ_{um} amplituda toka kroz prsten, ω kružna frekvencija, t vrijeme, φ fazni pomak između tokova Φ_v i Φ_u . Relacija se može transformirati u oblik

$$F = F' + F'' = \frac{1}{4\mu_0} \left[\frac{\Phi_{vm}^2}{(1-a)S} + \frac{\Phi_{um}^2}{aS} \right] - \frac{1}{4\mu_0} \sqrt{\frac{\Phi_{vm}^4}{(1-a)^2 S^2} + \frac{\Phi_{um}^4}{a^2 S^2} + \frac{2\Phi_{vm}^2 \Phi_{um}^2 \cos 2\varphi}{(1-a)aS^2}} \cos(2\omega t - \psi),$$

$$\text{gdje je } \tan \psi = \frac{(1-a)\Phi_{um}^2 \sin 2\varphi}{a\Phi_{vm}^2 + (1-a)\Phi_{um}^2 \cos 2\varphi}.$$

Gornji izraz pokazuje da se ukupna sila F sastoji od neke konstantne sile F' i promjenjive sile F'' koja oscilira s frekvencijom dvostruko većom od frekvencije u svitku (sl. 105). Bruhanje ne nastupa ako je ispunjen uvjet $F' > F''_m$, gdje je F''_m amplituda sile F'' .



Sl. 105. Pulziranje privlačne sile jednofaznih elektromagneta s kratkospojnim prstenom. F_1 sila na dijelu pola izvan prstena, F_2 sila na dijelu pola obuhvaćenom prstenom, F' konstantna komponenta rezultirajuće sile čitavog pola, F rezultirajuća sila cijelog pola

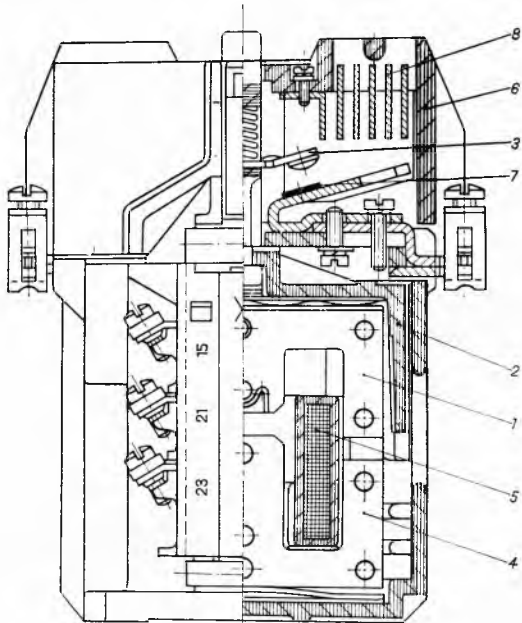
Elektromagneti s istosmjernom uzbudom privlače »mekanije« od izmjeničnih, pa se odlikuju tihim radom (primjena za liftove).

ELEKTRIČNI SKLOPNI APARATI

Ako postoji mogućnost priključka na pneumatski vod, veliki sklopniči često imaju pneumatski pogon, jer su za njih potrebni glomazni i teški elektromagneti. Pneumatski pogon sklopnika sastoji se od cilindra sa stropom koji je mehanički povezan s pomičnim kontaktima. Tlak u cilindru mora djelovati čitavo vrijeme dok je sklopnik uklapljen.

Mehanički prijenos od pogonskog organa može se izvesti s različitim elementima, o čemu bitno ovisi koncepcija konstrukcije sklopnika.

Kontaktni se sistem sklopnika sastoji od kontaktnih dijelova, opruga za kontaktni tlak i po potrebi od lučne komore.



Sl. 106. Tropolni zračni sklopnik (Iskra, tip K 4/8). 1 Kotva elektromagneta, 2 nosač pomičnih kontaktata, 3 pomični kontakt, 4 jezgra elektromagneta, 5 uzbudni svitak, 6 lučna komora, 7 nepomični kontakt, 8 limovi za gašenje luka

Većinom se primjenjuje dvostruko prekidanje. Materijal glavnih kontaktata je najčešće od sinterovane legure Ag-CdO. Lučne su komore većih sklopnika izvedene s čeličnim pločicama (princip deion, v. str. 130). Kontaktni se sistem većine sklopnika nalazi u zraku. Samo sklopniči koji su predviđeni za rad pod posebnim uvjetima (u prašnastoj ili agresivnoj atmosferi) uronjeni su u ulje.

Primjer tropolnog zračnog sklopnika nazivne termičke struje 63 A prikazuje sl. 106. Na kotvu 1 elektromagneta pričvršćen je nosač 2 pomičnih kontaktata 3. U jezgru 4 elektromagneta uložen je uzbudni svitak 5. Lučna komora 6 izvedena je na principu deion s limovima za gašenje 8.

Mehanička trajnost sklopnika i trajnost njihovih kontaktata redovno su vrlo velike, njihova uklopna i prekidna moć odgovara, pak, pogonskim uvjetima rada elektromotora, odnosno drugih

trošila. Prema preporukama IEC karakteristike sklopnika svrstane su u kategorije prema težini pogonskih uvjeta (kategorije AC 1...AC 4 za izmjeničnu i DC 1...DC 5 za istosmjernu struju). Sklopniči za najteže pogonske uvjete (kategorija AC 4), koji se odnose na učestalo pokretanje i reverziranje kaveznih motora, mogu uklapati 10...12-struku nazivnu struju motora, a isklapati 8...10-struku motorsku struju. Sklopnik na sl. 106 može u kategoriji AC 3 uklapati i isklapati motor snage 30 kW pri naponu 380 V.

Trajnost kontakata ovisi o opterećenju, tj. o struci, naponu, pogonskim uvjetima i konstantama strujnog kruga. Dijagram na sl. 107 prikazuje za neki sklopnik trajnost kontakata, izraženu brojem sklopnih ciklusa u ovisnosti o iskllopnoj struci.

Sklopniči se upotrebljavaju za daljinsko upravljanje elektromotorima i daljinsko sklapanje različnih drugih trošila. Kombinacijom dvaju ili više sklopnika može se preklapati motor iz zvijezde u trokut, promjeniti motoru smjer vrtnje (reverzirati) ili promjeniti broj uključenih polova.

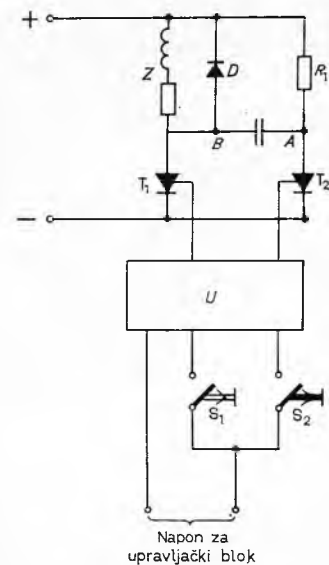
Beskontaktni sklopni aparati s poluvodičkim elementima.

U novije se vrijeme izvode sklopni aparati u kojima se primjenjuju poluvodički elementi umjesto mehaničkih kontaktata. Prednosti su beskontaktnih ili statickih aparata: što im je učestalost i trajnost velika i rad potpuno tih; što ne zahtijevaju održavanje i što se mogu ukloniti ili iskloniti u točno određenom trenutku. Kao nedostaci mogu se navesti: zasad još visoka cijena, osjetljivosti prema strujama preopterećenja i kratkog spoja, veći volumen i kod mnogih aparata potreba pomoćnih izvora struje.

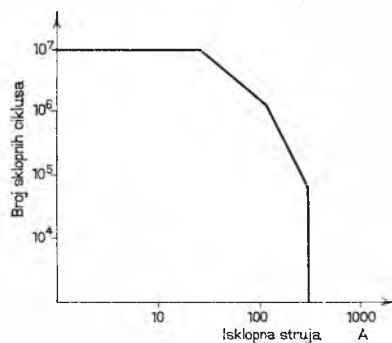
Uklapanje i isklapanje beskontaktnih aparata počiva na djelovanju upravljenih poluvodičkih ventila (v. Elektronika) koji propuštaju ili blokiraju struju pod određenim električnim uvjetima. Za to se upotrebljavaju u glavnim krugovima većinom tiristori, a u upravljačkim i pomoćnim krugovima tranzistori. Za upravljanje tiristorima potrebni su uređaji koji šalju impulse na upravljačku elektrodu tiristora.

Na sl. 108 prikazan je princip beskontaktnih sklopaka za istosmjernu struju.

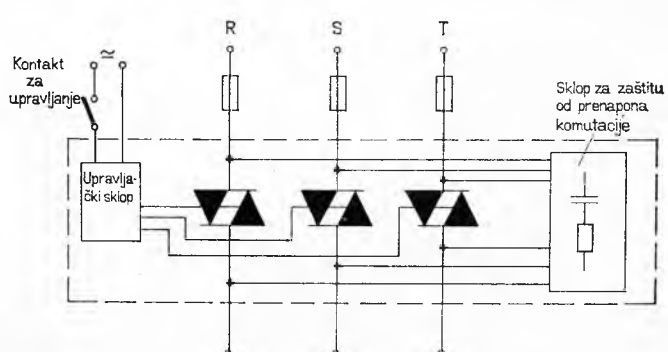
Pomoću kontakta za uklapanje S, upravljački uredaj U deblokira tiristor T_1 i struja prolazi kroz teret Z. Tiristor T_2 ostaje blokiran, pa se kondenzator C nabije tako da mu je strana A pozitivno, a strana B negativno nabijena. Zatvaranjem kontakta S_1 deblokira se tiristor T_2 , kondenzator C se izbjegne preko tiristora T_1 i promjeni polaritet tiristora T_1 . Time se tiristor T_1 blokira i struja kroz teret prekine. Dioda D služi za zaštitu od prenapona u slučajevima induktivnih tereta. Otpor R_1 ogranicava struju kroz tiristor T_2 na vrijednosti ispod struje prihvatanja, pa se tiristor T_2 blokira odmah nakon izbijanja kondenzatora C.



Sl. 108. Tiristorска sklopka za istosmjernu struju. Z impendancija tereta, D dioda, R_1 otpor otprornika za ograničenje struje, C kapacitet kondenzatora, T_1 tiristor za uklapanje, T_2 tiristor za isklapanje, U upravljački blok, S_1 kontakt za uklapanje, S_2 kontakt za isklapanje



Sl. 107. Dijagram trajnosti kontaktata sklopnika: ovisnost broja sklopnih ciklusa o jačnosti iskllopne struje



Sl. 109. Tropolni beskontaktni sklopnik s triac-komponentama (C. Maier Co, Schaffhausen).

Beskontaktnе sklopke za izmjeničnu struju imaju u svakom polju koji prekida struju po dva tiristora u antiparalelnom spoju, ili simetrični tiristor poznat također pod nazivima simistor ili »triac«, koji je ekvivalentan navedenom spoju dvaju tiristora. Upravljanje tiristorima može biti ili pomoći posebnog uređaja ili automatsko, korištenjem izmjeničnog napona mreže. Princip beskontaktnog tropolnog sklopnika za izmjeničnu struju s »triackomponentama i s uređajem za upravljanje prikazuje sl. 109. Aktiviranjem kontakta za upravljanje deblokiraju se poluvodički elementi i omogućuje prolaz struje.

Zbog osjetljivosti poluvodiča prema strujama preopterećenja i kratkog spoja treba za zaštitu upotrijebiti ultrabrzne osigurače.

Princip beskontaktnih sklopaka za izmjeničnu struju s automatskim upravljanjem tiristora u antiparalelnom spoju vidi se na sl. 110. U svakoj poluperiodi jedan ili drugi tiristor deblokira se naponskim impulsom direktno iz mreže preko zaštitnog otpora. U ovom slučaju nije potreban posebni pomoći izvor struje.

Postoje i tzv. *hibridni aparati*, tj. kombinacije kontaktnih i beskontaktnih elemenata. U njima se povećanje trajnosti kontakata može postići time što se paralelno s kontaktom spoje tiristori i elementi za upravljanje koji samo u trenutku uklapanja i isklapanja deblokiraju tiristore, tako da se za to vrijeme električki rastereti mehanički kontakt. Zbog vrlo kratkotrajnog rada tiristora mogu se upotrijebiti jeftiniji poluvodički elementi.

Zaštitni uređaji sklopki i prekidača. Zaštitne sklopke i prekidači su sklopni aparati kojima je zadaća da zaštite električne uređaje i vodove od struja nedozvoljene jakosti ili naponu nedozvoljene visine. Sklopke, kojima je po definiciji ograničena prekidna moć do struje pogonskih preopterećenja, moraju za automatsko djelovanje imati ugradene ili priključene posebne mehaničke ili električne organe. Pojam prekidača, naprotiv, uključuje postojanje takvih organa, jer svi prekidači prvenstveno štite od struje kratkog spoja.

U zaštitne sklopke i prekidače ugraduju se radi automatskog djelovanja zaporni i okidni mehanizmi. Zaštitne se sklopke i prekidači aktiviraju automatski čim nastupi potreba jedne od zaštita za koju su predviđeni. One se dijele na generatorske, motorske i transformatorske zaštitne sklopke, odn. prekidače.

Zaporni mehanizam povezuje pogon aparata s kontaktima. On omogućuje automatsko isklapanje kad proradi jedan od okidača. Pri uklapanju napinje se iskllopna opruga koju zaporni mehanizam blokira u uklopnom položaju, a osloboda je pri pokretanju pogonske ručice u smislu isklapanja ili kad proradi okidač. Zaporni mehanizam dozvoljava još i tzv. slobodno okidanje. Ono se sastoji u tome da se u slučaju aktiviranja okidača ne može sprječiti isklapanje zadržavanjem ručice u uklopnom položaju.

Okidači su naprave koje pri prekoračenju dozvoljene granice struje ili napona, primjenom male snage, mehanički okinu zaporni mehanizam zaštitne sklopke ili prekidača i time ga vraćaju u njegov osnovni (otvoreni) položaj. Okidači se dijele s obzirom

na princip rada na elektromagnetske i topilinske. Elektromagnetski okidači mogu biti brzi i usporeni (sa zatezanjem ili bez njega).

Elektromagnetski okidači služe za zaštitu od kratkog spoja i preopterećenja. Oni djeluju kad struja u okidaču premaši dozvoljenu vrijednost. Magnetski krug okidača (sl. 111) sastoji se od jezgre 1 i kotve 2 koje obuhvataju vodič 3. Čim je polje dovoljno jako da privuče kotvu, mehanički se aktivira zaporni mehanizam. Zatezanje elektromagnetskih okidača postiže se npr. pomoću satnog mehanizma (sl. 112), priljubljenim pločama u ulju i prolazom tekućine ili zraka kroz uske rasپore.

Kao *termički okidači i releji* najviše dolaze u obzir izvedbe s bimetallima (v. *Elektrotehnički materijali*). (Aparati na principu vruće žice ili rastalnog lema primjenjuju se rijetko.) Funkciranje aparata s bimetallima temelji se na ugrijavanju trake od dva sljubljena metala različitih koeficijenata toplinskog rastezanja, pri čemu traka ili membrana savijajući se na jednu stranu djeluje bilo na kontakti sistema (releji) bilo na napeti zaporni mehanizam, oslobođajući time mehaničku energiju akumuliranu u oprugama aparata (okidači). Budući da je za zagrijavanje bimetala potrebno izvjesno vrijeme ovisno o opterećenju, nadstrujni termički releji i okidači djeluju s vremenskim zatezanjem prema karakteristici na sl. 113. Karakteristika prikazuje ovisnost proradnog vremena t_p o struci i , tj. o višekratniku nazine struje I_n . Proradna vremena za neke točke karakteristike određena su propisima.

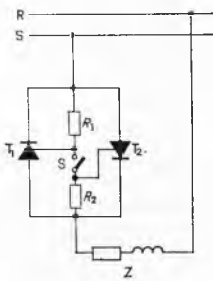
Bimetallnim se reljima i okidačima mogu štititi motori od preopterećenja samo do ograničene učestalosti sklapanja (15...25 sklapanja na sat). Bolja, i o učestalosti sklapanja neovisna, je zaštita elektromotora pomoću poluvodičkih sondi (termistora, kojima se otpor mijenja s temperaturom) koje se stavljaju direktno u namot motora. Promjenu temperature namota slijedi promjena otpora poluvodičkog elementa, što se koristi za upravljanje relejnim uređajem za zaštitu motora.

Releji za okidanje upotrebljavaju se i za aktiviranje sklopnika ako oni služe i kao zaštitna sklopka. U tom slučaju oni pomoći svojih kontaktata prekinu strujni krug elektromagneta. Relejima mogu se aktivirati i neki okidači pa preko njih i prekidači.

Releji koji služe za okidanje prekidača i za automatsko isklapanje sklopnika najčešće su termički ili elektromagnetski. Princip konstrukcije ovih releja isti je kao za okidače, jedino što umjesto mehaničkog elementa za okidanje imaju kontakt (v. članak *Releji*).

U novije se vrijeme pojavljuju tendencije da se umjesto bimetallnih i elektromagnetskih nadstrujnih okidača primijene *elektronički nadstrujni okidači*. Takvi aparati imaju na ulaznoj strani strujni transformator na čiji je sekundarni namot priključen otpornik. Pad napona na njegovom omskom otporu djeluje preko više elektroničkih sklopova na elektromagnet za okidanje koji je priključen na izlaz uređaja i koji mehanički djeli na zaporne organe prekidača. Elektronički sklopovi aktiviraju taj elektromagnet pri preopterećenju i kratkom spoju, a služe i za regulaciju vremenskog zatezanja u širokim granicama. Postoji također mogućnost ponovnog uklapanja u kratkom vremenskom intervalu. Ovakvi okidači imaju mogućnost široke regulacije nazine struje, proradne struje za zonu kratkog spoja i proradnog vremena za zonu preopterećenja. Za selektivnu zaštitu može im se regulirati vrijeme zatezanja u zoni kratkog spoja. Njihove se karakteristike mijenjaju relativno malo i pri znatnjim promjenama temperature okoline.

Direktni pokretači ili starteri najvažnija su vrsta zaštitnih sklopki. Oni služe za direktno uklapanje motora, a opremljeni su zaštitom od preopterećenja; oni priključuju motor na



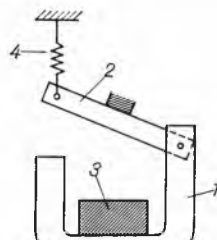
Sl. 110. Tiristorska sklopka s automatskim upravljanjem. T_1 i T_2 tiristori, R_1 i R_2 otpornici djeleči napona, S upravljački kontakt, Z teret, Z teret, trošilo

Zaštitni uređaji sklopki i prekidača. Zaštitne sklopke i prekidači su sklopni aparati kojima je zadaća da zaštite električne uređaje i vodove od struja nedozvoljene jakosti ili naponu nedozvoljene visine. Sklopke, kojima je po definiciji ograničena prekidna moć do struje pogonskih preopterećenja, moraju za automatsko djelovanje imati ugradene ili priključene posebne mehaničke ili električne organe. Pojam prekidača, naprotiv, uključuje postojanje takvih organa, jer svi prekidači prvenstveno štite od struje kratkog spoja.

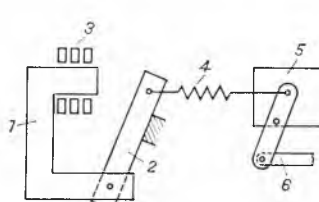
U zaštitne sklopke i prekidače ugraduju se radi automatskog djelovanja zaporni i okidni mehanizmi. Zaštitne se sklopke i prekidači aktiviraju automatski čim nastupi potreba jedne od zaštita za koju su predviđeni. One se dijele na generatorske, motorske i transformatorske zaštitne sklopke, odn. prekidače.

Zaporni mehanizam povezuje pogon aparata s kontaktima. On omogućuje automatsko isklapanje kad proradi jedan od okidača. Pri uklapanju napinje se iskllopna opruga koju zaporni mehanizam blokira u uklopnom položaju, a osloboda je pri pokretanju pogonske ručice u smislu isklapanja ili kad proradi okidač. Zaporni mehanizam dozvoljava još i tzv. slobodno okidanje. Ono se sastoji u tome da se u slučaju aktiviranja okidača ne može sprječiti isklapanje zadržavanjem ručice u uklopnom položaju.

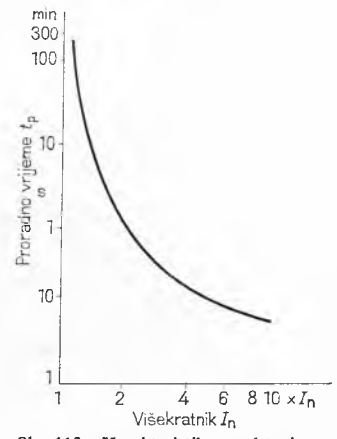
Okidači su naprave koje pri prekoračenju dozvoljene granice struje ili napona, primjenom male snage, mehanički okinu zaporni mehanizam zaštitne sklopke ili prekidača i time ga vraćaju u njegov osnovni (otvoreni) položaj. Okidači se dijele s obzirom



Sl. 111. Princip elektromagnetskog okidača sa zatezanjem s pomoći satnog mehanizma. 1 Jezgra, 2 kotva, 3 namot vodič, 4 opruga, 5 satni mehanizam, 6 poluga za okidanje



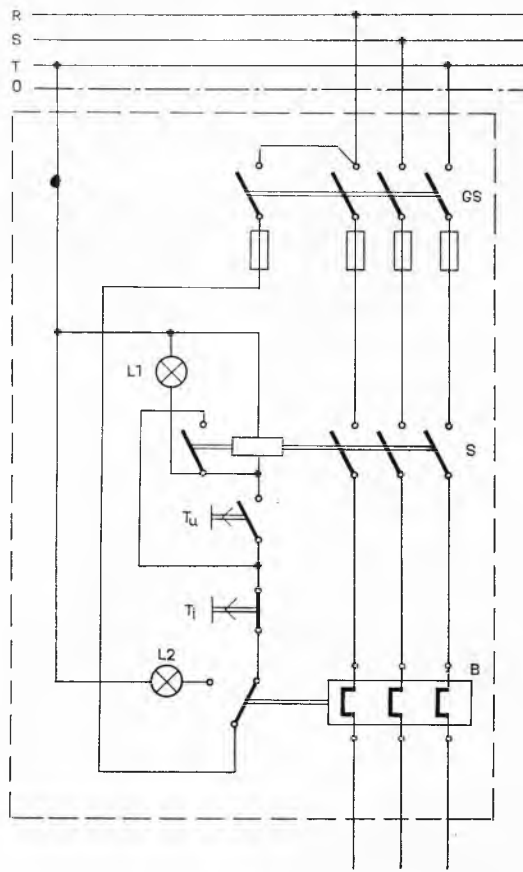
Sl. 112. Princip elektromagnetskog okidača sa zatezanjem s pomoći satnog mehanizma. 1 Jezgra, 2 kotva, 3 namot vodič, 4 opruga, 5 satni mehanizam, 6 poluga za okidanje



Sl. 113. Karakteristika nadstrujnog termičkog releja ili okidača

ELEKTRIČNI SKLOPNI APARATI

puni napon mreže jednom promjenom sklopog položaja. Prema tome osnovna je razlika između direktnih pokretača i običnih motorskih sklopki, odn. sklopnika, što direktni pokretači moraju imati ugrađene ili prigađene elemente za zaštitu od preopterećenja pomoću kojih se vrši automatsko isklapanje. Tako se npr.



Sl. 114. Primjer sheme spoja direktnog pokretača (startera). GS glavna sklopka, S sklopnik, B bimetalni relaj, T_u uklopno tipkalno, T_1 isklupno tipkalno, L_1 signalna žarulja za pokazivanje normalnog pogona, L_2 signalna žarulja za pokazivanje smetnji

sklopnicima dodaju nadstrujni termički releji, prema shemi na sl. 114. Kad nastupi nedozvoljeno preopterećenje, kontakt bimetalnog relaja B isklopi sklopnik S. Pokretač se uklapa tipkalom T_u , a isklapa tipkalom T_1 . Za zaštitu od kratkog spoja, koja nije obuhvaćena funkcijom startera, obično se dodaju osigurači. Osigurači i bimetalni relaj otpadaju ako se umjesto glavne sklopke upotrijebi prekidač s ugrađenim okidačima za zaštitu od kratkog spoja i preopterećenja.

Niskonaponski prekidači su automatski sklopni aparati koji prvenstveno služe za zaštitu električnih uređaja i vodova od kratkog spoja; većinom su opremljeni i nadstrujnim termičkim okidačima za zaštitu od preopterećenja. Oni mogu osim toga imati i dodatne uređaje koji ih aktiviraju pri preniskom naponu i pri nestanku napona. Prekidači zamjenjuju, prema tome, na važnijim mjestima u mreži i instalaciji sklopke i osigurače. Oni se aktiviraju sami čim nastupi potreba jedne od zaštite za koje su predviđeni. Oni se dijele na prekidače za opću primjenu i brze prekidače.

Prekidači se sastoje od kontaktog sistema, zapornog mehanizma s ručnim ili eventualno s energetskim pogonom, okidača i kućišta.

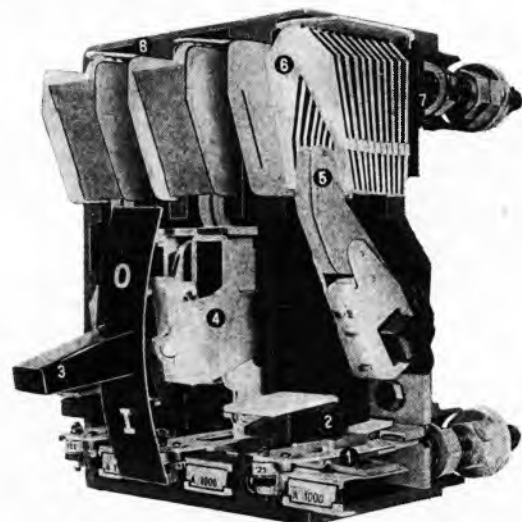
Kontaktni sistem niskonaponskih prekidača. Prekidanje struje kratkog spoja uzrokuje znatno nagaranje kontakata. Stoga imaju prekidači za veće nazine struje dvostrukе kontakte: jedan za prekidanje i drugi za vođenje struje. Kontakti za prekidanje (lučni kontakti) zatvaraju nešto prije i otvaraju nešto poslije (glavnih) kontaktata za vođenje struje i time preuzimaju na sebe čitavo opterećenje od luka. Za lučne se kontakte upotrebljavaju materi-

jali otporni prema luku, kao što su sinterovane legure bakra ili srebra s volframom, a za glavne kontakte dobro vodljivi kontakti materijal, npr. čisto ili legirano srebro.

Kontakti se nalaze u lučnim komorama koje djelotvorno gase luk i sprečavaju njegovo širenje izvan kontaktog sistema. Općenito se primjenjuju komore na principu deion s čeličnim pločicama u kojima se luk podijeli na mnogo manjih lukova, a također se upotrebljavaju i lučne komore s poprečnim klinovima ili s uskim rasporom, koje intenzivno odvode toplinu luka. Kao izolacioni materijal lučnih komora dolazi u obzir keramika, azbest-cement, fiber i melamin s anorganskim punilom.

Uklapanje i isklapanje niskonaponskog prekidača vrši se obično ručno. Za veće uređaje može se dodati elektromotorni, pneumatski ili, rijedko, elektromagnetski pogon. Za okidanje zapornog mehanizma potrebna je samo mala sila okidača.

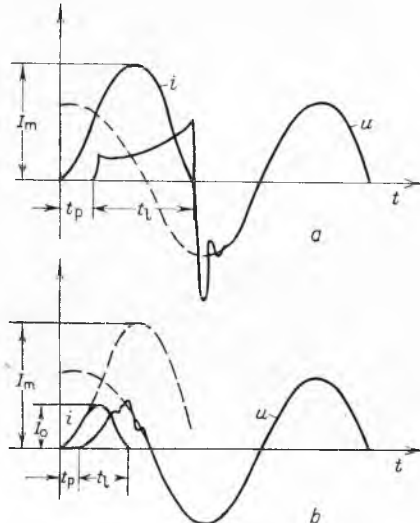
U prekidač ugrađuju se okidači koji aktiviraju zaporni mehanizam u slučaju kratkog spoja, preopterećenja, prevelike struje, preniskog napona ili nestanka napona. Za aktiviranje prekidača u slučaju kratkog spoja služe elektromagnetski okidači. Većinom se dodaju još i nadstrujni termički okidači za preopterećenje i podnaponski ili nulnaponski okidač s vremenskim zatezanjem ili bez njega. Podnaponski okidači djeluju kad napon padne ispod određene vrijednosti (35...70% nazivnog napona), a nulnaponski okidači kad napon padne do blizu nule (10...35% nazivnog napona). Na mjestu predviđenom za podnaponski okidač može se ugraditi okidač za daljinsko isklapanje. Postoje također izvedbe koje imaju umjesto okidača za zaštitu od preopterećenja nadstrujni relaj koji djeluje preko podnaponskog okidača. Ponekad se izvodi vremensko zatezanje elektromagnetskih okidača pločama u ulju, ili prolazom tekućine ili zraka kroz uske raspore. Prekidači imaju najširu primjenu u zaštiti generatora, transformatora, vodova i elektromotora. Proizvode se za široko područje nazivnih struja od 6 pa do iznad 10 000 A. Njihova prekidna moć obično ovisi o nazivnoj struci. Posve mali prekidači do ~ 25 A imaju kod 500 V prekidnu moć $2\cdots 5$ kA, srednji $10\cdots 25$ kA, a veći $25\cdots 100$ kA. Na sl. 115 prikazan je tropolni prekidač struje 160 A, 500 V, kompaktne izvedbe u izolacionom kućištu. Za gašenje luka primijenjen je princip deion s čeličnim limovima 6. Na osovinu za okidanje 2 djele nadstrujni termički okidač 1 i elektromagnetski okidač.



Sl. 115. Prekidač 500 V, 160 A (Rade Končar, tip AS 160).
1 Nadstrujni bimetalni okidač, 2 osovina za okidanje, 3 ručica za sklapanje, 4 zaporni mehanizam, 5 pomični kontakti, 6 limovi za gašenje luka na principu deion, 7 nepomični kontakti, 8 izolaciono kućište

Brzi prekidači. Osim prekidača s normalnim trajanjem prekidanja upotrebljavaju se i tzv. brzi prekidači, koji veće struje prekidaju još u porastu. Razlike između djelovanja normalnog i brzog prekidača objašnjene su na sl. 116. Dok normalni prekidač prekida struju pri prvom ili drugom prolazu kroz nulu i propušta punu amplitudu I_m , brzi prekidač veće struje kratkog spoja

još u porastu ograničava na neku vrijednost $I_0 < I_m$ (odrezana ili propuštena struja). Trajanje prekidanja brzih prekidača kreće se u granicama 4...6 ms. Ograničavanje porasta kratkospojne struje na vrijednost znatno ispod amplitude bitno smanjuje djelovanje elektrodinamičkih sila koje bi mogle proizvesti mehanička oštećenja u električnim postrojenjima. Ograničavanje struje kratkog spoja posebno je važno za ispravljačke uređaje, jer živini ili poluvodički ventili ne mogu ni kratko vrijeme podnijeti veće strujne udare.



Sl. 116. Prekidanje struje kratkog spoja u normalnom (a) i brzom prekidaču (b)

Naglo otvaranje brzih prekidača za ograničenje struje osniva se na principu direktnog djelovanja jakih elektrodinamičkih sila ili magnetskog polja, nastalih uslijed strmog porasta velikih kratkospojnih struja, na otvaranje pomicnih kontakata. Kod većih struja primjenjuje se i autorepulzioni princip koji za brzo djelovanje iskorištava odbojne sile među kontaktima.

Sklopni aparati s otpornicima služe za sklapanje strujnih krugova električnih strojeva, za pokretanje, za regulaciju brzine vrtnje, za kočenje motora, za regulaciju napona generatora, za terećenje i sl. U ovu grupu dakle idu: pokrećni s otpornicima, aparati za kočenje elektromotora i regulatori uzbude.

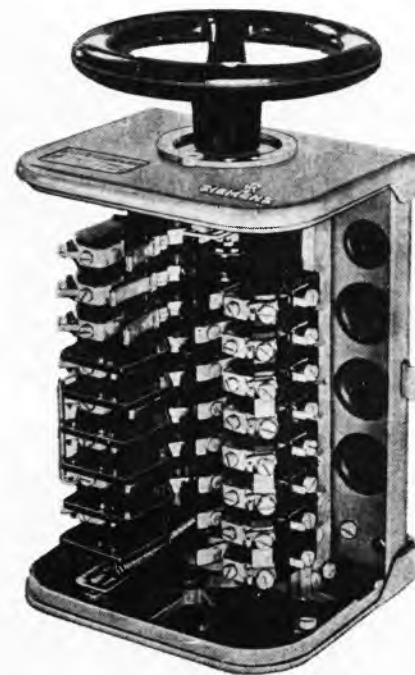
Aparati s otpornicima sastoje se od sklopke ili niza sklopnikâ i otpornikâ. U manjim su aparatima sklopke i otpornici povezani u konstrukcionu cjelinu, a u većim jedinicama mogu biti posve odvojeni.

Sklopke za otpornike imaju više položaja u kojima uključuju, odnosno isključuju, pojedine stupnjeve otpora u krugu. Za manju učestalost i lakše pogonske uvjete upotrebljavaju se stepenaste sklopke, a za teže uvjete kontroleri ili niz sklopnika.

Stepenaste sklopke sastoje se obično od ravne ploče od izolacionog materijala na kojoj su oko osovine raspoređeni nepomični kontakti dijelovi, spojeni s parcijalnim otpornicima, što pripadaju pojedinim sklopnim položajima. Po nepomičnim kontaktima klize pomicni kontakti i spajaju otpornike prema određenoj shemi. Stepenaste sklopke mogu imati kontakte smještene na obodu izolacionog valjka umjesto na ploči. **Kontroleri** su u principu velike valjkaste ili grebenaste sklopke, robustne izvedbe, za teže pogonske uvjete. Grebenasti su kontroleri u električnom i mehaničkom pogledu izdržljiviji od valjkastih, a mogu se opremiti i većim brojem kontakata. Primjer grebenastog kontrolera vidi se na sl. 117.

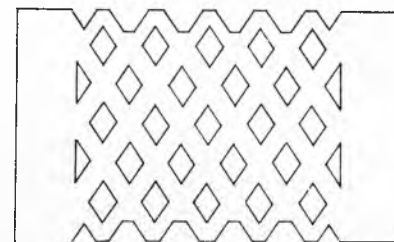
Sklopnići, koji sve više zamjenjuju stepenaste sklopke u aparatima s otporima, aktiviraju se malim kontrolerima u upravljačkom krugu, koji su također poznati pod nazivom upravljačke sklopke ili indirektni kontroleri.

Otpornici se prema svojoj konstrukciji dijele na žičane, vrpčaste, limene, lijevane i tekućinske. Žičani otpornici se sastoje od otporne žice namotane na keramički cilindar ili okvir s izolacionim podlogama, ili kod debljih žica u slobodnu spiralu. Kao

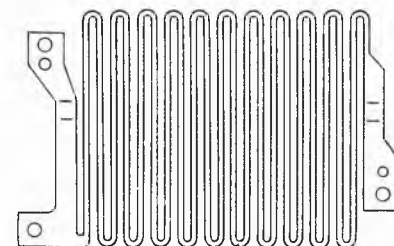


Sl. 117. Grebenasti kontroler (Siemens tip K 7431—11)

materijal za otpornike dolazi u obzir konstantan, krom-nikal i Kantal. Otporna vrpca ima veću rashladnu površinu nego žica. Za veće struje upotrebljavaju se limeni ili lijevani otpornici. Na sl. 118 prikazan je element limenog otpornika, a na sl. 119 lijevanog. Limeni se otpornici izrađuju od nerđajućeg čelika (legure željeza, kroma i nikla). Za lijevane se otpornike upotrebljava gvožđe s dodatkom silicija. Limeni su otpornici neosjetljivi prema vibracijama i udarcima i lakši su od lijevanih; ovi se opet, zbog veće mase mogu kratkotrajno više opteretiti. Elementi



Sl. 118. Element limenog otpornika



Sl. 119. Element lijevanog otpornika

prema sl. 118 ili 119 slažu se u bateriju ili slog otpornika. Kao otpor tekućinskih otpornika služi obično otopina natrijum-karbonata (Na_2CO_3) u vodi. Ugrijavanjem otopine njezin se otpor jako smanjuje.

Pokrećni, regulacioni pokrećni i regulatori uzbude slične su konstrukcije. Stepenaste sklopke ugrađene su iznad ili ispred otpornika. Kontakti i otpornici određeni za rad u prašnoj ili agresivnoj atmosferi stavlju se u ulje. Otpornici pokrećača za

motore veće snage često se stavljuju u ulje, koje toplinu odvodi brže nego zrak.

Postoje i izvedbe tekućinskih pokretača kojima se mijenja otpor ustanjanjem ploča u otopinu Na_2CO_3 , ili koji rade na principu naglog početnog isparavanja tekućine (maksimalni otpor) koja se postepeno opet kondenzira i time smanjuje otpor na kočniju minimalnu vrijednost.

Pokretači s otpornicima smanjuju udar struje pri uklapanju elektromotora, a kod asinhronih se motora postiže istodobno i povećanje potezognog momenta. Za vrijeme pokretanja smanjuje se stupnjevit otpor pokretača. Promjene struje tokom pokretanja variraju između neke maksimalne i neke minimalne vrijednosti. Maksimalna vrijednost zove se *vršna struja* I_2 , a minimalna, *sklopna struja* I_1 . Sklopna je struja pri pokretanju uz nazivni ili veći moment motora obično nešto veća od nazivne struje motora I_n . Srednja struja pokretanja I_s jednaka je

$$I_s = \frac{I_1 + I_2}{2}.$$

Za proračun pokretača važne su još ove veličine: trajanje pokretanja, broj uzastopnih pokretanja, učestalost pokretanja (u jednom satu) i težina pokretanja, definirana omjerom I_s/I_n .

Shemu spoja pokretača *istosmjernog porednog motora* prikazuje sl. 120. Otpori pokretača mogu se odrediti iz osnovne relacije za poredne motore (v. *Električni strojevi*, str. 181).

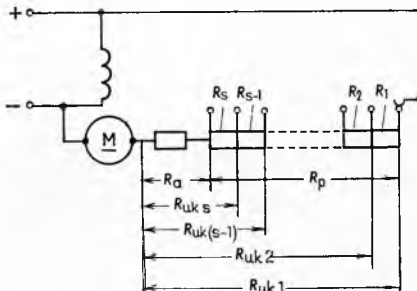
$$U - IR_{\text{uk}} = E = k\Phi n, \quad (28)$$

gdje je U napon mreže, I struja kroz otpornike i armaturu, R_{uk} ukupni otpor armature i uključenih otpornika, E inducirana protuelektromotorna sila, Φ uzbudni tok, n brzina vrtnje i k konstanta.

Iz sl. 120 slijedi da je na početku pokretanja ukupni otpor pokretača R_p

$$R_p = R_{\text{uk}1} - R_a, \quad (29)$$

gdje R_a znači otpor armature.



Sl. 120. Shema spoja pokretača istosmjernog porednog motora. R_a otpor armature, R_{uk} ukupni otpor armature i uključenih otpornika, R_p ukupni otpor pokretača, $R_1 \dots R_s$ parcialni otpori

Za proračun pokretača redovno se zadaje omjer

$$\lambda = \frac{I_2}{I_1} \approx \frac{I_2}{I_n}. \quad (30)$$

Budući da je na početku pokretanja brzina vrtnje $n = 0$, dobiva se iz jedn. (28) i (29)

$$R_p = \frac{U}{I_2} - R_a = \frac{U}{I_n}.$$

Parcialni otpori pokretača istosmjernog porednog motora mogu se naći grafičkom metodom prema sl. 121.

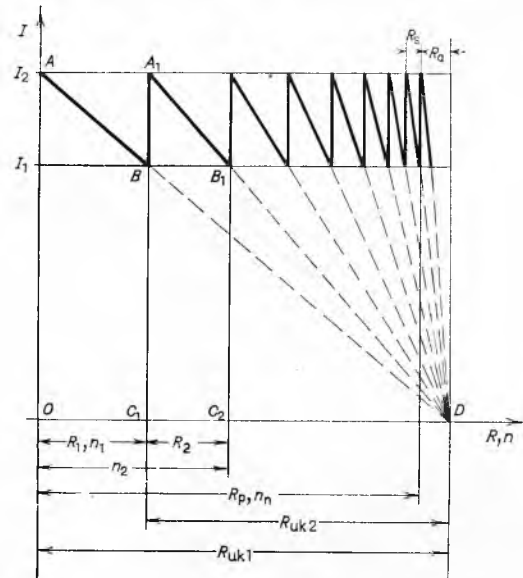
Na os ordinata nanesu se zadane vrijednosti struja I_1 i I_2 , a na os apsida relativne vrijednosti otpora i brzine vrtnje, učinivši $OD = 1$. Pri tome dužina OD predstavlja u nekom mjerilu ukupni otpor $R_{\text{uk}1} = R_p + R_a$ i idealnu brzinu vrtnje n_i koju bi motor teoretski postigao uz $R_a = 0$.

Iz jedn. (28) slijedi da se za vrijeme pokretanja uz sav uključeni otpor $R_{\text{uk}1}$ mijenja struja od I_2 do I_1 po pravcu ABD :

$$I = \frac{k\Phi(n_i - n)}{R_{\text{uk}1}}. \quad (31)$$

Kad struja padne do vrijednosti I_1 a brzina naraste na n_i (točka B), treba isključiti prvi stupanj s otporom R_1 , pa će struja skočiti opet na I_2 (točka A_1) i zatim padati po pravcu A_1D do točke B_1 . Na osnovu izraza (31) i sl. 121 može se pisati

$$\frac{I_2}{k\Phi} = \frac{n_i}{R_{\text{uk}1}} = \frac{n_i - n_1}{R_{\text{uk}2}} = \dots = \frac{n_i - n_n}{R_a} = \text{konst.} \quad (32)$$



Sl. 121. Grafičko određivanje otpora pokretača istosmjernog porednog motora

Prema relaciji (32) odresci C_1D , C_2D itd. prikazuju u mjerilu ukupne otpore pokretača i armature uključene na pojedinom stupnju, a dužine OC_1 , C_1C_2 , ... parcijalne otpore R_1 , R_2 , ... pojedinih stupnjeva pokretača.

Parcijalni otpor x -toga stupnja R_x i broj stupnjeva pokretača m može se odrediti i računski iz ovih formula:

$$R_x = R_a(\lambda - 1)\lambda^{m-x}, \quad (33)$$

$$m = \frac{\log \frac{R_a + R_p}{R_a}}{\log \lambda} = \frac{\log \frac{U}{I_n \lambda R_a}}{\log \lambda}. \quad (34)$$

Regulacioni pokretači istosmjernih porednih motora služe za pokretanje i regulaciju brzine vrtnje. U principu su jednaki pokretačima, jedino je dio otpornika koji služi za regulaciju jače dimenzioniran, jer su opterećeni dulje vrijeme nego otpornici za pokretanje.

Otpor za regulaciju R_r do brzine n_{\min} može se izračunati uz primjenu izraza (28) i (31):

$$R_r = \frac{U}{I} \left(1 - \frac{n_{\min}}{n_i} \right) - R_a. \quad (35)$$

Relacija (35) vrijedi za konstantni moment vrtnje kad brzina ovisi samo o uključenom otporu.

Pokretači istosmjernih serijskih motora ne mogu se tako jednostavno proračunati kao pokretači porednih motora, jer uzbudni tok Φ nije konstantan, već je funkcija struje, koja je određena teretom. Stoga je za proračun potrebno poznavati karakteristike koje prikazuju ovisnost brzine vrtnje n o momentu motora M .

Pokretači asinhronih kolutnih motora uključuju otpornike u rotorski krug motora prema sl. 122. Ako se zanemari induktivni otpor rotora, struja I_2 u rotoru proporcionalna je klizanju s , odnosno brzini vrtnje n :

Sl. 122. Shema spoja pokretača trofaznog kolutnog motora

$$I_2 \approx \frac{U_{20}}{R_f \sqrt{3}} s.$$

Uz $s = 1 - \frac{n}{n_s}$, gdje je n_s sinhrona brzina vrtnje, slijedi

$$I_2 \approx \frac{U_{20}}{R_f \sqrt{3}} \left(1 - \frac{n}{n_s}\right). \quad (36)$$

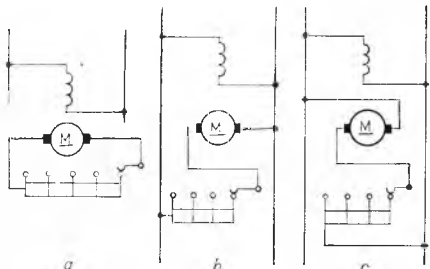
Relacija (36) analogna je izrazu (31) za istosmjerne poredne motore. Ako se, dakle, u formule (30), (33) i (34) umjesto R_a uvrsti otpor faze rotora R_f , a umjesto napona U fazni napon rotora $U_{20}/\sqrt{3}$, dobiju se približne relacije za ukupni otpor R_p , parcijalni otpor x -tog stupnja R_x i broj stupnjeva m pokretača asinhronih kolutnih motorâ:

$$R_p = \frac{U_{20}}{I_2 \sqrt{3}} - R_f,$$

$$R_x = R_f (\lambda - 1) \lambda^{m-x},$$

$$\log \frac{R_f + R_p}{R_f} \\ m = \frac{\log \frac{R_f + R_p}{R_f}}{\log \lambda}.$$

Aparati za kočenje elektromotora s pomoću otpornika razlikuju se prema vrsti motora. Nezavisno uzbudeni i poredni motori koče se s pomoću otpornika u tri spoja: kratkim spajanjem armature otpornicima (sl. 123 a), protustrujnim kočenjem (sl. 123 b, c) i generatorskim kočenjem (v. *Elektromotorni pogoni*).



Sl. 123. Kočenje otpornicima istosmjernog porednog motora. a) Kratkospojno kočenje, b) i c) protustrujno kočenje

U slučaju *kratkospojnog ili elektrodinamičkog kočenja* motor se u vrtnji odvoji od mreže i spoji na otpornike aparata. Njihov otpor za kočenje iznosi približno:

$$R_{kk} = \frac{k \Phi n}{I_a} - R_a, \quad (37)$$

gdje je $k \Phi n$ inducirana EMS pri brzini vrtnje n , I_a struja armature, R_a otpor armature.

Ako je ukupni otpor u krugu motora prije kočenja iznosio R_a pri nazivnoj struci $I_a = I_n$ (isključeni otpornici), tada se uz primjenu izraza (28) i (37) dobije

$$R_{kk} = \frac{U_n}{I_n} - 2 R_a.$$

Za ovaj se način kočenja obično iskorištavaju stupnjevi otpora pokretača.

Pri *protustrujnom kočenju* naglo se promijeni smjer struje u armaturi, tako da nastane moment vrtnje smjera suprotnog smjeru u kojem se motor vrti uslijed svoje kinetičke ili potencijalne energije. Inducirana EMS u armaturi pribraja se naponu stezaljki U , pa se ukupni otpor za kočenje R_{kp} računa prema izrazu

$$R_{kp} = \frac{2 U}{I_n} - R_a.$$

Generatorsko kočenje dolazi u obzir samo kad motor prije idealni broj okretaja n_1 (npr. pri spuštanju tereta). Tada motor postaje generator i šalje struju u mrežu.

Za kočenje serijskih motora pomoću otpornika primjenjuje se protustrujni ili kratkospojni spoj.

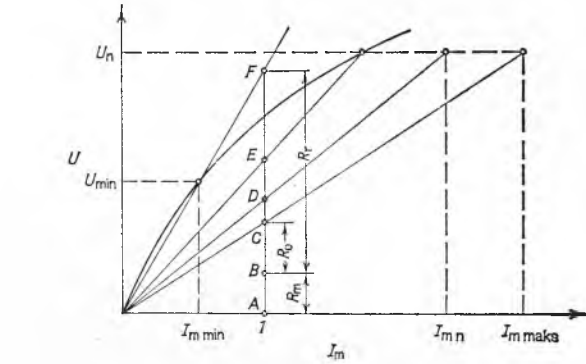
Kočenje trofaznih asinhronih kolutnih motora izvodi se pomoću raznovrsnih spojeva. U kranskim se pogonima primjenjuje nadinhrono (generatorsko) i podsinhrono kočenje. Pri većim brzinama podsinhronog kočenja (brzina manja od sinhronie) upotrebljavaju se specijalni spojevi, a za manje brzine protustrujno kočenje.

Regulatori uzbude služe za regulaciju napona samouzbuđnih i strano uzbudjenih istosmernih generatora i sinhronih generatora. Istosmernim se motorima pomoću njih regulira brzina vrtnje (redovno iznad nazivne vrijednosti). Shema spoja regulatora uzbude istosmernog porednog generatora prikazana je na sl. 124. Prijе prekidanja uzbudnog kruga treba namot magneta kratko spojiti, da ne dode do nedozvoljenih prenapona. Za određivanje otpora regulacije treba poznavati karakteristiku praznog hoda. Još se moraju navesti vrijednosti uzbudne struje za nazivno opterećenje I_{mn} i za 25% preopterećenja $I_{m \text{ maks}}$ pri nazivnom naponu U_n . Ukupni otpor regulatora R_r jednak je

$$R_r = \frac{U_{m \text{ min}}}{I_{m \text{ min}}} - R_m,$$

gdje su $U_{m \text{ min}}$ i $I_{m \text{ min}}$ minimalni napon regulacije (npr. 0,5 U_n) i pripadna uzbudna struja.

R_m je otpor magnetskog namota, a R_0 predotpri koji ostaje uključen kod struje $I_{m \text{ maks}}$. Svi parcijalni otpori mogu se odrediti grafički prema sl. 125. Treba kroz točku A ($I_m = 1$) povući pravac



Sl. 125. Određivanje otpora za regulaciju uzbude istosmjernog porednog generatora s pomoću karakteristike praznog hoda

paralelan s osi ordinata. Odresci AB, AC, ..., AF predstavljaju tada ukupne vrijednosti otpora u dotičnoj točki regulacije. Dužina od točke E do točke D, koja prikazuje područje fine regulacije, razdijeli se na 20...100 jednakih dijelova (ovisno o snazi stroja), kao grafički prikaz stupnjeva otpora.

Aparati za upravljačke i pomoćne krugove

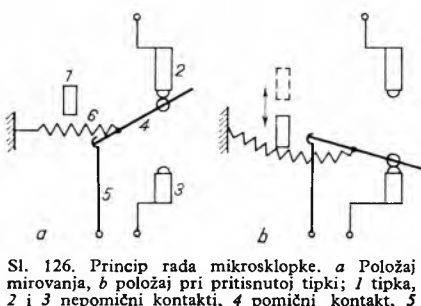
Ovi aparati mogu se podijeliti na komandne, signalne, biračke, upravljačke, granične sklopke i sklopke za blokiranje. Komandne sklopke služe za sklapanje komandnih strujnih krugova, signalne sklapaju krugove signalizacije, biračkima odabire se jedan od više strujnih putova, upravljačke indirektno upravljaju električnim uređajima, a granične kontroliraju neku fizikalnu veličinu ili pogonsko stanje te isklapaju strujne krugove pri prekoračenju gornje ili donje granice. Po svojim karakteristikama sve su to većinom sklopke za male nazivne struje (do 10 A).

Komandne sklopke. U ovu grupu idu releji (v. članak *Releji*), pomoćni sklopniči, tipkala, mikrosklopke i višestruke sklopke.

Pomoći sklopni slični su po konstrukciji malim sklopnicima za glavne krugove. Oni se razlikuju od releja većom nazivnom strujom, većim brojem kontakata (4...10) i većom uklopnom i prekidnom moći. Njihova je izvedba robustnija od izvedbe releja.

Tipkala su komandne sklopke koje se pokreću pritiskom ruke, ili općenito pritiskom nekog dijela ljudskog tijela. Sastoje se od rozete s tipkom i od jednog ili više kontaktnih elemenata. Postoje i tzv. svijetleća tipkala, koja imaju ispod prozirne tipke u boji signalnu žaruljicu. Otvori za smještaj rozete su standar-dizirani.

Mikrosklopke su minijaturne sklopke s brzim preklapanjem iz jednog položaja u drugi. Imaju veliku mehaničku trajnost i učestalost. Princip djelovanja prikazuje sl. 126. Sklopka se pokreće malom tipkom, koja pritisne oprugu za preklapanje kontakta. Otpuštanjem tipke pomični se kontakt naglo vrati u položaj mirovanja. Primjenjuju se izvedbe i sa 2 položaja mirovanja.



Sl. 126. Princip rada mikrosklopke. a) Položaj mirovanja, b) položaj pri pritisnutoj tipki; 1 tipka, 2 i 3 nepomični kontakti, 4 pomični kontakt, 5 držac pomičnog kontakta, 6 opruga

Višestruke sklopke upotrebljavaju se za sklapanje komandnih, signalnih i mjernih krugova. Njima se mogu ostvariti raznovrsni spojevi, pogotovo u slučajevima istodobnog sklapanja većeg broja neovisnih strujnih krugova s više sklopnih položaja. Po svojoj konstrukciji spadaju u paketne sklopke, jer se obično sastoje od niza kontaktnih elemenata.

Signalne sklopke sklapaju signalne uređaje npr. za dojavu položaja prekidača, rastavljača, ventila i sl.

Upravljačke sklopke dijele se na indirektnе kontrolere i programske sklopke. Indirektni kontroleri su vrsta valjkastih ili grebenastih kontrolera što služe za upravljanje sklopnicima i drugim aparatom u uredajima ponajviše u valjaoničkim pogonima, dizaličnim i transportnim postrojenjima i električnim vozilima. Programske sklopke upravljaju nekim uredajem po unaprijed određenom stalnom programu.

Granične sklopke dijele se na krajne sklopke, tlačne sklopke, kontrolnike temperature i vodostaja i sklopke za ograničenje brzine. Graničnim se sklopama sklapaju često i glavni strujni krugovi.

Krajne sklopke služe većinom za zaustavljanje kranova, dizalica, različitih strojeva i sl. kad stignu na kraj svog puta, odnosno na granicu gibanja. Krajne sklopke s linearnim gibanjem slične su tipkalima, samo umjesto tipke imaju prikladan element (nos, kotačić) na koji djeluje uredaj na kraju gibanja. Vretenaste krajne sklopke imaju rotaciono gibanje, a isklapaju nakon određenog broja okretaja vretena s navojem.

Beskontaktni sklopni aparati primjenjuju se i u upravljačkim i pomoćnim krugovima a rade s pomoću poluvodičkih elemenata. To mogu biti manji tiristori, tranzistori i drugi. Tako se npr. primjenjuju poluvodički elementi kojima je otpor promjenljiv pod utjecajem magnetskog polja (galvanomagnetski efekt). Približavanjem ili odmicanjem permanentnog magneta u tim se elementima promijeni otpor i taj se efekt u vezi s tranzistorskim pojačalom upotrebljava za upravljanje, signalizaciju i sl. Na tom principu rade različite beskontaktnе krajne sklopke i tipkala. Poznate su također izvedbe elektronskih sklopki s oscilatornim krugom koji se priguši približavanjem metalnih predmeta i na taj način blokira izlazni signal.

Niskonaponski osigurači

Niskonaponski osigurači služe za zaštitu od kratkog spoja i nedozvoljenih preopterećenja vodova, kabela, sklopnih postrojenja i različitih trošila. Oni se mogu podijeliti na instalacione osigurače (v. članak *Električne instalacije*, str. 6) i osigurače velike prekidne moći (iznad 50 kA). Kao sredstvo za gašenje luka upo-

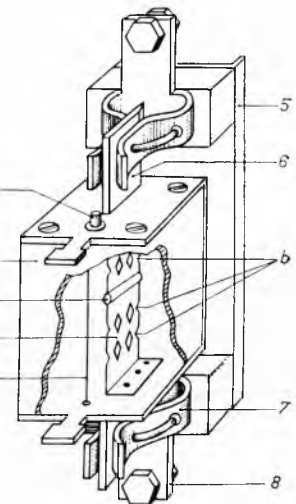
trebljava se u ulošcima tih osigurača čisti kremenij pjesak određene granulacije. Rastalnice uložaka velike prekidne moći obično su izvedene od kalibrirane bakrene ili srebrenе trake, a rjede od žice.

Sve što je rečeno o procesu prekidanja struje i o osnovnim karakteristikama visokonaponskih osigurača (v. str. 138), vrijedi i za niskonaponske osigurače. S obzirom na njihovu karakteristiku, to jest s obzirom na ovisnost rastalnog vremena o struci, $t_r = f(i)$, osigurači velike prekidne moći mogu imati tromo, brzo, tromo-brzo ili ultrabrz djejanje. Najčešće se nalaze izvedbe koje u području preopterećenja djeluju tromo, a u području kratkog spoja brzo (tromo-brzi ulošci). Tromo djelovanje uložaka potrebno je pri pokretanju asinhronih kaveznih motora da ne dođe do pregaranja osigurača za kratkog trajanja većih struja zaleta. Stoga valja za zaštitu motora osiguračima upotrijebiti trome uloške. Njihovu nazivnu struju treba odabrati $\sim 60\%$ veću od nazivne struje motora. Tako dimenzionirani osigurači moguštiti motore samo od većih struja (većih od približno osmerostruke do deseterostruke nazivne struje), a vodove i kable štite u čitavom području struja koje po veličini i trajanju prelaze dozvoljene granice. Za zaštitu elektromotora od nedozvoljenih preopterećenja, na koja ne reagiraju osigurači, primjenjuju se najčešće nadstrijuni termički releji ili okidači.

Ultrabrz ulošci upotrebljavaju se za zaštitu poluvodičkih elemenata (dioda, tiristora) i živinih ispravljača, koji ne mogu podnijeti veća preopterećenja.

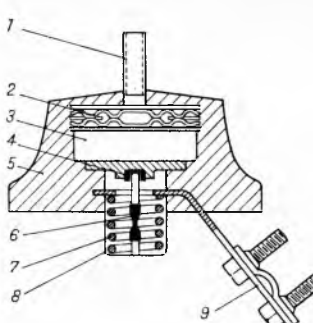
Sl. 127 prikazuje uložak velike prekidne moći s podnožjem.

Rastalica 3 ima zonu preopterećenja a s dodanim lemom niskog talija i zone b sa suženim mjestima za kratki spoj. Valjičić indikatora 1 malo iskoči kad pregori indikatorska žica 4 što pridržava valjičić. Kućište uložka 2 (obično od stekla) ispunjeno je kremenijem pjeskom. Po stavljanju uložka u podnožje kontaktni noževi 6 spojeni su s elastičnim lira-kontaktima 7 podnožja. Stezaljke 8 s lira-kontaktima pričvršćene su na ploču 5 podnožja.



Niskonaponski odvodnici

Za zaštitu niskonaponskih mreža, postrojenja i uređaja od nedozvoljenih prenapona primjenjuju se odvodnici prenapona koji djeluju analogno visokonaponskim. Većinom se upotrebljavaju *ventilni odvodnici prenapona* s iskrštem i otpornikom nelinearne karakteristike. Sl. 128 prikazuje, kao primjer, Siemensov ventilni odvodnik za niskonaponske vodove. Odvodnici za zaštitu mreža imaju uredaj koji prekine spoj između voda i dozemnog priključka



Sl. 128. Niskonaponski odvodnik prenapona (Siemens). 1 Priklučak na vod, 2 iskršte, 3 otpornik s nelinearnom karakteristikom, 4 lemom, 5 kućište, 6 otpornik za zaštitu od eksplozije, 7 tlačna opruga, 8 kapa, 9 priključak za uzemljenje

ako određena popratna struja dulje vrijeme teče kroz odvodnik (5 A kroz 1 min). Uredaj se obično sastoji od dva kontakta spojena lemom koji se rastali pod spomenutim okolnostima i prekine spoj. Neke su izvedbe odvodnika također zaštićene od eksplozije koja može nastati pri odvođenju velikih struja. Odvodnik prikazan na sl. 128 ima radi takve zaštite otpornik 6 sa suženim presjekom. Taj se otpornik naglo rastali pri prolazu većih struja. Kad se spoj prekine, tlačna opruga 7 odbacuje kapi 8 i tako daje optički signal da odvodnik treba za-

mijeniti. Starije konstrukcije odvodnika imaju stakleno kućište napunjeno inertnim plinom, npr. dušikom. U novijim se odvodnicima primjenjuje specijalna epoksidna masa otporna prema utjecajima vanjske atmosfere; njome se zalije unutrašnjost odvodnika. Postoje izvedbe odvodnika za istosmernu struju u kojima je iskrište smješteno u polju permanentnog magneta. Polje magneta produljuje luk i tako olakšava njegovo gašenje.

Osim ventilnih odvodnika prenapona upotrebljavaju se i *odvodnici sa izbjijanjem u plinu*. Obično se sastoje od iskrišta u staklenoj cjevčici napunjenoj plemenitim plinom. Paralelno s unutarnjim iskrištem spojeno je izvan cijevi vanjsko iskrište, koje djeluje pri većim prenaponima.

Utikači i pribor

Utikačke naprave i pribor za priključak vodova i kabela opisani su u članku *Električne instalacije*, str. 9.

V. Jurjević

LIT.: F. Kesseling, Theoretische Grundlagen zur Berechnung der Schaltgeräte, Berlin 1943. — A. Я. Бабиков, Основы электропаралогстроения, Москва 1946. — J. Saint Germain, Les appareils électriques connecteurs et déconnecteurs, Paris 1949. — H. W. Baxter, Electrical fuses. London 1950. — R. Rüdenberg, Elektrische Schaltvorgänge in geschlossenen Kreisen von Starkstromanlagen, Berlin-Göttingen-Heidelberg 1953. — M. A. Babikov, Wichtige Bauteile elektrischer Apparate, Teil I (Theoretische Einführung), Berlin 1954. — W. Burstyn, Elektrische Kontakte und Schaltvorgänge, Berlin-Göttingen-Heidelberg 1956. — E. M. Цайров, Воздушные выключатели высокого напряжения, Москва - Ленинград 1957. — R. Holm, Electric contacts handbook, Berlin - Göttingen - Heidelberg 1958. — H. Franken, Schütze und Schützensteuerungen, Berlin - Göttingen 1959. — A. Mauduit, Installations électriques à haute et basse tension, tome II, Paris 1959. — R. Voigt, Elektrische Widerstände, Berlin 1959. — A. Keil, Werkstoffe für elektrische Kontakte, Berlin 1960. — Г. А. Кукков, Проектирование выключателей переменного тока высокого напряжения, Москва 1961. — H. Schulze, Technik der Wechselstrom-Hochspannungsschalter, Berlin 1961. — S. Dzierzbićki, Wysokonapięciowe aparaty łączeniowe, Warszawa 1962. — H. Franken, Motorschutz, Berlin 1962. — M. A. Бабиков, Электрические аппараты, част третья, Москва - Ленинград 1963. — А. М. Залесский, Электрическая дуга отключения, Москва - Ленинград 1963. — E. Slamecka, Prüfung von Hochspannungs - Leistungsschaltern, Berlin - Heidelberg - New York 1966. — Г. В. Буткевич, Дуговые процессы при коммутации электрических цепей, Москва 1967. — G. Hortopan, Aparate electrice, Bucureşti 1967. — T. Lipski, Bezpieczeństni niskonapięciowe, Warszawa 1968. — W. Kussy, Elektrische Niederspannungsschaltgeräte und Antriebe, Berlin 1969. — H. Franken, Niederspannungs-Leistungsschalter, Berlin 1970. — А. И. Голубев, Быстро действующие автоматические выключатели, Москва 1970. — Р. С. Кузнецов, Аппараты распределения электрической энергии на напряжение до 1000 в, Москва 1970.

B. Belin V. Jurjević

ELEKTRIČNI STROJEVI, naprave za pretvaranje energije jednog oblika u energiju drugog oblika posredovanjem mehaničkog (najčešće rotacionog) gibanja, pri čemu je bar jedan od oblika električna energija. Pretvaranje energije nije savršeno jer se sva energija koja se stroju dovodi ne može pretvoriti u drugi željeni oblik, ili se ne može sva iskoristiti za određenu svrhu. Korisna je energija ona koju stroj daje u želenom obliku. Razlika između dovedene i korisne energije jesu gubici. Redovito se gubici pojavljuju kao toplinska energija koja se predaje okolini i koja je prema tome izgubljena za dalje iskorишćenje.

Najčešće vrste pretvorbe energije iz jednog oblika u drugi navedene su u ovoj tablici, zajedno s vrstama električnih strojeva s pomoću kojih se izvode:

Oblik dovedene energije	Oblik predane energije	Vrsta električnog stroja
električna	mehanička	električni motori
mehanička	električna	električni generatori
električna	električna	električni pretvarači

Osim toga pripadaju električnim strojevima električni reduktori i spojke; energija se i njima dovodi i od njih uzima u obliku mehaničke energije, ali se u njima najprije mehanička energija pretvara u električnu, a zatim ova opet u mehaničku energiju.

Uredaji za pretvorbu energije bez posredovanja mehaničkog gibanja ne ubraju se među električne strojeve u užem smislu, unatoč tome što se pri pretvorbi s jedne i/ili druge strane javlja električna energija. Među takve naprave idu npr. transformatori, usmjerivači, akumulatori i baterije, uređaji za direktnu konverziju energije, itd. Postoji, međutim, čitav niz malih električnih naprava kojima nije svrha pretvaranje energije, već prenošenje podataka, analiza podataka, mjerjenje ili sl., a ipak se ubraju u električne strojeve jer su po izvedbi i načinu rada analogni električnim strojevima za pretvorbu energije.

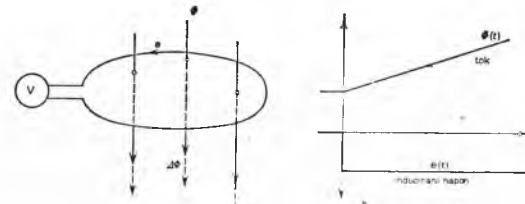
OSNOVE ELEKTRIČNIH STROJEVA

Osnovno djelovanje svih električnih strojeva svodi se na vezu između mehaničkog gibanja i mehaničkih sila, s jedne strane, i električnog napona i struja, s druge strane. Posrednik je pretvorbe u svim slučajevima magnetsko polje, bilo da je stvoreno električnim strujama bilo da je posrijedi polje permanentnog magneta.

Osnovni zakoni

Funkcioniranje električnih strojeva u najrazličitijim varijantama njihovih izvedbi osniva se na tri temeljna zakona elektrotehnike. To su: opći zakon indukcije, zakon elektromagnetskog protjecanja i zakon sile u magnetskom polju.

Opći zakon indukcije kazuje da se u zatvorenoj petljici koja obuhvaća magnetski tok Φ inducira električni napon e jednak

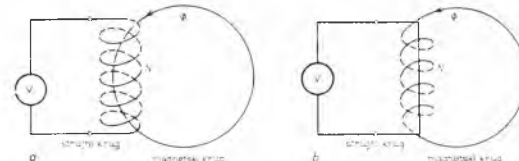


Sl. 1. Opći zakon indukcije, a) Promjena magnetskog toka inducira napon u petlji koja ga obuhvaća, b) inducirani napon jednak je brzini promjene toka

brzini promjene toka u petlji, a smjera takvog da bi proizveo struje koje se protive promjeni toka (sl. 1):

$$e = - \frac{d\Phi}{dt}.$$

Ako petlja N puta obuhvaća isti tok (sl. 2 a) ili ako tok N puta prode kroz istu petlju (sl. 2 b), kroz plohu koju zatvara petlja



Sl. 2. Ulančeni tok, a) Namot s više (N) svojih zavoja (petlja) obuhvaća isti tok, b) isti zavoj (petlja) više (N) puta obuhvaća magnetski krug

prolazi tzv. *ulančeni tok* $\Psi = N\Phi$, koji je općenito definiran izrazom

$$\Psi = \int B dS,$$

gdje je B magnetska indukcija, tj. gustoća silnice magnetskog toka, a integral se proteže na čitavu površinu S plohe omedene promatranoj petljom. Općenito dakle vrijedi

$$e_N = - \frac{d\Psi}{dt}.$$

Za induciranje napona potrebna je promjena toka. Ta promjena može se izazvati na dva načina: a) tako da dio stroja u kojemu se stvara magnetski tok i petlja u kojoj se inducira napon miruju jedan u odnosu prema drugom, a mijenja se iznos toka; to se postiže tako da se mijenja bilo struja koja tok uzbudjuje bilo otpor magnetskog kruga; b) tako da se iznos toka ne mijenja, ali se mehaničkim gibanjem mijenja dio toka obuhvaćen petljom. U slučaju a) govori se o *naponu transformacije*, u slučaju b) o *naponu rotacije*. Javlja se i kombinacija napona transformacije i napona rotacije.

Cesto je napon rotacije lakše računati na osnovi predodžbe prema sl. 3, tj. polazeći od činjenice da je inducirani napon u vodiku proporcionalan brzini kojom vodič siječe silnicu magnetskog toka. Ako je magnetska indukcija jednaka B , duljina vodiča jednaka L , a njegova brzina v , i ako se vodič kreće kroz magnetsko polje u smjeru koji je okomit na smjer njegova protezanja, a smjer silnice polja okomit je na ravninu koju čine vodič i smjer njegova